

|  |    |
|--|----|
| Tabel 5.11. Tingakat pelayanan evaluasi kinerja simpang dengan waktu siklus aktual di lapangan .....                             | 63 |
| Tabel 5.12. Tingakat pelayanan hasil optimasi waktu siklus berdasarkan jarak kendaraan datang – berangkat ke titik konflik ..... | 63 |
| Tabel 5.13. Tingakat pelayanan hasil optimasi waktu silus skenario I .....   | 63 |
| Tabel 5.14. Tingakat pelayanan hasil optimasi waktu silus skenario II .....  | 64 |

## **DAFTAR GAMBAR**

|   |    |
|---|----|
| Gambar 2.1. Titik konflik persimpangan arus kendaraan dan pejalan kaki ...                          | 7  |
| Gambar 3.1. Geometri simpang .....  | 14 |
| Gambar 3.2. Model dasar untuk arus jenuh (akcelik) .....  | 17 |
| Gambar 3.3. Bagan alir analisis simpang bersinyal .....   | 27 |
| Gambar 3.4. Titik konflik kritis dan jarak untuk keberangkatan<br>dan kedatangan .....              | 33 |
| Gambar 3.5. Pendekat dengan dan tanpa pulau lalu lintas .....                                       | 36 |
| Gambar 3.6. Faktor penyesuaian untuk kelandaian (FG) .....  | 38 |
| Gambar 3.7. Faktor penyesuaian untuk pengaruh parkir dan lajur belok<br>kiri yang pendek (Fp) ..... | 39 |
| Gambar 3.8. Penetapan waktu siklus sebelum penyesuaian .....  | 42 |
| Gambar 3.8. Perhitungan jumlah antrian smp (Nqmax) .....  | 45 |
| Gambar 3.10. Penentuan tundaan lalu lintas rata-rata (DT) .....                                     | 47 |
| Gambar 4.1. Bagan alir penelitian .....   | 52 |

## **DAFTAR LAMPIRAN**

- Lampiran 1. Denah simpang empat MM UGM
- Lampiran 2. Data traffic counting
- Lampiran 3. Data traffic counting dalam smp
- Lampiran 4. Volume jam puncak simpang dalam smp
- Lampiran 5. Data traffic caounting jam puncak
- Lampiran 6. Data kependudukan kotamadya Yogyakarta 2002
- Lampiran 7. Hambatan samping
- Lampiran 8. Evaluasi kinerja simpang dengan pemakaian waktu aktual  
dilapangan.
- Lampiran 9. Optimasi waktu siklus skenario II
- Lampiran 10. Optimasi skenario III
- Lampiran 11. Optimasi skenario IV

## DAFTAR ISTILAH

| <b>Notasi</b> | <b>Istilah</b>             | <b>Definisi</b>   |
|---------------|----------------------------|---|
| emp           | EKIVALENSI MOBIL PENUMPANG | Faktor konversi berbagai jenis kendaraan dibandingkan dengan mobil penumpang atau kendaraan ringan lainnya sehubungan dengan dampaknya pada perilaku lalu lintas. |
| smp           | SATUAN MOBIL PENUMPANG     | Satuan arus lalu lintas dari berbagai tipe kendaraan yang diubah menjadi kendaraan ringan termasuk mobil penumpang) dengan menggunakan faktor emp.                |
| Type 0        | ARUS BERANGKAT TERLAWAN    | Keberangkatan dengan konflik antara gerak belok kanan dan gerak lurus/belok kiri dari bagian pendekat dengan lampu hijau pada fase yang sama.                     |
| Type P        | ARUS BERANGKAT TERLINDUNG  | Keberangkatan tanpa konflik antara gerakan lalu lintas belok kanan dan lurus.   |
| LT            | BELOK KIRI                 | Indeks untuk lalu lintas yang belok kiri.   |
| LTOR          | BELOK KIRI LANGSUNG        | Indeks untuk lalu lintas belok kiri yang diijinkan lewat pada saat sinyal merah.  |
| ST            | LURUS                      | Indeks untuk lalu lintas yang lurus.  |
| RT            | BELOK KANAN                | Indeks untuk lalu lintas yang belok ke kanan.   |
| T             | PEMBELOKAN                 | Indeks untuk lalu lintas yang berbelok.   |
| PRT           | RASIO BELOK KANAN          | Jumlah unsur lalu lintas yang belok ke kanan.   |
| Q             | ARUS LALU LINTAS           | Jumlah unsur lalu lintas yang melalui titik tak terganggu di hulu, pendekat per satuan waktu.   |
| Qo            | ARUS MELAWAN               | Arus lalu lintas dalam pendekat yang berlawanan, yang berangkat dalam fase hijau yang sama.   |
| QRTO          | ARUS MELAWAN, BELOK KANAN  | Arus dari lalu lintas belok kanan dari pendekat yang berlawanan (kend/jam; smp/jam)   |
| LV            | KENDARAAN RINGAN           | Kendaraan bermotor yang ber as 2 dengan 4 roda dan dengan jarak as 2,0-3,0 m (meliputi mobil penumpang, oplet, mikrobis, pic-up dan truk kecil).                  |
| HV            | KENDARAAN BERAT            | Kendaraan bermotor dengan lebih dari 4 roda ( meliputi bis, truk 2 as truk 3 as, dan truk kombinasi.  |

*Daftar istilah lanjutan*

| Notasi | Istilah                  | Definisi   |
|--------|--------------------------|--|
| MC     | SEPEDA MOTOR             | Kendaraan bermotor dengan 2 atau 3 roda (sepeda motor dan kendaraan roda 3 )   |
| JM     | KENDARAAN TAK BERMOTOR   | Kendaraan yang digerakkan oleh orang atau hewan (meliputi sepeda, becak, kereta kuda, dan kereta dorong)               |
| S      | ARUS JENUH               | Besarnya keberangkatan antrian didalam suatu pendekat selama kondisi yang ditentukan (smp/jam hijau).                  |
| So     | ARUS JENUH DASAR         | Besarnya keberangkatan antrian di dalam pendekatan selama kondisi ideal (smp/jam hijau)                                |
| DS     | DERAJAT KEJENUHAN        | Rasio dari arus lalu lintas terhadap kapasitas untuk suatu pendekat.   |
| FR     | RASIO ARUS               | Rasio arus terhadap arus jenuh ( $Q/S$ ) dari suatu pendekat.  |
| IFR    | RASIO ARUS SIMPANG       | Jumlah dari rasio arus kritis (= tertinggi) untuk semua fase sinyal yang berurutan dalam suatu siklus.                 |
| PR     | RASIO FASE               | Rasio arus kritis dibagi dengan rasio arus simpang ( $PR = FR/IFR$ ).  |
| C      | KAPASITAS                | Arus lalu lintas maksimum yang dapat dipertahankan ( $C=Sxg/c$ ).  |
| F      | FAKTOR PENYESUAIAN       | Faktor koreksi untuk penyesuaian dari nilai ideal ke nilai sebenarnya dari suatu variabel.                             |
| D      | TUNDAAN                  | Waktu tempuh tambahan yang diperlukan untuk melalui simpang apabila dibandingkan lintasan tanpa melalui suatu simpang. |
| QL     | PANJANG ANTRIAN          | Panjang antrian kendaraan dalam suatu pendekat (m).  |
| NQ     | ANTRIAN                  | Jumlah kendaraan yang antri dalam suatu pendekat (smp).  |
| NS     | ANGKA HENTI.             | Jumlah rata-rata berhenti per kendaraan (termasuk berhenti berulang-ulang dalam antrian).                              |
| Psv    | RASIO KENDARAAN TERHENTI | Rasio dari arus lalu lintas yang terpaksa berhenti sebelum melewati garis henti akibat pengendalian sinyal.            |

*Daftar istilah lanjutan*

| Notasi   | Istilah          | Definisi  |
|----------|------------------|---|
|          | PENDEKAT         | Daerah dari suatu lengan persimpangan jalan untuk kendaraan mengantri sebelum keluar melewati garis henti.  |
| WA       | LEBAR PENDEKAT   | Lebar dari bagian pendekat yang diperkeras, diukur di bagian ter sempit disebelah hulu (m).   |
| Wmasuk   | LEBAR MASUK      | Lebar dari bagian pendekat yang diperkeras, diukur pada garis henti (m).  |
| W keluar | LEBAR KELUAR     | Lebar dari bagian pendekat yang diperkeras, yang dipergunakan oleh lalu lintas buangan setelah melewati persimpangan jalan (m).   |
| We       | LEBAR EFEKTIF    | Lebar dari bagian pendekat yang diperkeras, yang digunakan untuk menghitung kapasitas (yaitu dengan pertimpangan terhadap Wa, Wmasuk dan W keluar dan gerakan lalu lintas membelok, m). |
| L        | J A R A K        | Panjang dari segmen jalan (m).  |
| GRAD     | LANDAI JALAN     | Kemiringan dari suatu segmen jalan dalam arah Perjalanan (+ / %)  |
| COM      | KOMERSIAL        | Tata guna lahan komersial dengan jalan masuk langsung bagi pejalan kaki dan kendaraan.  |
| RES      | PEMUKIMAN        | Tata guna lahan tempat tinggal dengan jalan masuk langsung bagi pejalan kaki dan kendaraan.   |
| RA       | AKSES TERBATAS   | Jalan masuk langsung terbatas atau tidak ada sama sekali (sebagai contoh karena adanya hambatan fisik, jalan samping dsb).  |
| CS       | UKURAN KOTA      | Jumlah penduduk dalam suatu daerah perkotaan.   |
| SF       | HAMBATAN SAMPING | Interaksi antara arus lalu lintas dan kegiatan disamping jalan yang menyebabkan pengurangan terhadap arus jenuh di dalam pendekat.  |

*Dafiar istilah lanjutan*

| Notasi | Istilah              | Definisi   |
|--------|----------------------|--|
| i      | FASE                 | Bagian dari siklus-sinyal dengan lampu hijau disediakan bagi kombinasi tertentu dari gerakan lalu lintas ( i = indeks untuk nomor fase)                    |
| g      | WAKTU HIJAU          | Waktu nyala hijau dalam suatu pendekat (det)   |
| c      | WAKTU SIKLUS         | Waktu untuk urutan lengkap dari indikasi sinyal ( sebagai contoh, diantara dua saat permulaan hijau yang berurutan di dalam pendekatan yang sama ; detik). |
| g max  | WAKTU HIJAU MAKSIMUM | Waktu hijau maksimum yang diijinkan dalam suatu fase untuk kendali lalu lintas aktuasi kendaraan (det).  |

**OPTIMASI WAKTU SIKLUS SIMPANG BERSINYAL MENURUT  
MANUAL KAPASITAS JALAN INDONESIA (MKJI) 1997  
(Studi Kasus Simpang Empat Bersinyal MM UGM Yogyakarta)**

**INTISARI**

*Tingginya volume lalu lintas yang melewati simpang empat bersinyal MM UGM menyebabkan terjadi antrian yang panjang, tundaan (delay) yang lama, angka henti dan rasio kendaraan terhenti yang tinggi, khususnya lengan Utara dan lengan Timur. Adanya permasalahan ini menunjukkan bahwa kondisi simpang tersebut tidak bisa memberikan pelayanan yang sesuai terutama pada jam-jam sibuk. Untuk itu, perlu dilakukan evaluasi terhadap tingkat kinerja dari simpang. Penelitian yang dilakukan pada simpang empat bersinyal MM UGM Yogyakarta ini bertujuan untuk mengevaluasi karakteristik dan kinerja simpang yang terjadi pada kondisi sekarang serta merencanakan perhitungan optimasi waktu siklus simpang empat bersinyal MM UGM Yogyakarta dengan memakai beberapa alternatif skenario.*

*Metode yang digunakan untuk perhitungan evaluasi dan optimasi adalah metode MKJI 1997 dengan data masukan pertama adalah data primer berupa data geometri simpang, sinyal, waktu siklus total, arus lalu lintas, dan arus kendaraan tak bermotor. Data masukan kedua adalah data sekunder berupa jumlah penduduk dari badan Pusat Statistik D.I. Yogyakarta.*

*Hasil analisis evaluasi perilaku dan kinerja pada simpang empat bersinyal MM UGM Yogyakarta dengan pemakaian waktu siklus 162 dtk pagi hari dan 157 dtk pada siang hari didapatkan tingkat pelayanan menurut HCM 1985 adalah F(>60 dtk/smp). Untuk itu, dilakukan perhitungan optimasi waktu siklus dengan beberapa alternatif skenario. Dari beberapa alternatif skenario yang telah dilakukan diambil alternatif skenario III sebagai alternatif waktu siklus untuk diterapkan di lapangan yaitu dengan meniadakan LTOR pada semua lengan, penyesuaian nilai all red, dan menambah lebar geometri simpang sebesar 1 m pada lengan Utara – Selatan dan 2 m untuk lengan Timur – Barat pada kedua sisinya. Hasil optimasi waktu siklus skenario III diperoleh waktu siklus 73 dtk untuk jam puncak Minggu pagi, 90 dtk untuk jam puncak Minggu siang, 176 dtk untuk jam puncak Senin pagi, dan 155 dtk untuk jam puncak Senin siang. Pemakaian alternatif skenario III ini dapat memberikan kapasitas simpang lebih besar, derajat kejemuhan lebih rendah, dan tingkat pelayanan simpang yaitu D (34,10 dtk/smp) pada Minggu pagi, E (42,89 dtk/smp) pada Minggu siang, F (76,10, dtk/smp) pada Senin pagi, dan F (73,32 dtk/smp) pada Senin siang.*

## **BAB I**

### **PENDAHULUAN**

#### **1.1. Latar Balakang**

Transportasi merupakan kebutuhan yang urgent dalam rangka pemenuhan kebutuhan manusia. Proses transportasi akan lebih baik jika tersedia jaringan transportasi yang baik pula. Dalam rangka menciptakan jaringan transportasi yang baik dibutuhkan sarana dan prasarana, ketersediaan kendaraan sebagai alat transportasi dan jalan yang menghubungkan zona-zona yang berbeda merupakan prasarana yang mutlak bagi terbentuknya transportasi darat.

Permasalahan transportasi merupakan masalah yang paling kritis dan utama yang sulit dipecahkan di kota-kota besar, termasuk kota Yogyakarta. Hal tersebut disebabkan oleh bertambahnya kepemilikan suatu jenis kendaraan, terbatasnya sumberdaya untuk pembangunan jalan raya dan pertumbuhan aktifitas lalu lintas yang padat.

Perencanaan simpang merupakan bagian dari perencanaan jalan raya yang amat penting. Pada persimpangan ini terjadi konflik antara kendaraan yang berbeda kepentingan, asal maupun tujuan. Berkaitan dengan hal tersebut,

perencanaan simpang harus direncanakan secara cermat sehingga tidak menimbulkan ekses yang lebih buruk misalnya kemacetan lalu lintas. Kemacetan lalu lintas menimbulkan kerugian yang lebih besar yaitu biaya yang makin tinggi akibat pemborosan bahan bakar, polusi udara, kebisingan dan keterlambatan arus barang dan jasa.

Simpang Empat MM. UGM Yogyakarta merupakan simpang empat bersinyal yang merupakan pertemuan lalu lintas menuju kota dan jalur ke luar kota, jalur bus kota, dan berada disekitar lingkungan pertokoan (komersial ) dan kampus UGM yang banyak dilewati oleh mahasiswa dan pengguna jalan lainnya. Tingginya volume lalu lintas yang melewati simpang ini menyebabkan terjadi antrian yang panjang, tundaan (*delay*) yang lama, angka henti dan rasio kendaraan terhenti yang tinggi, khususnya lengan Utara dan lengan Timur. Adanya permasalahan ini menunjukkan bahwa kondisi simpang tersebut tidak bisa memberikan pelayanan yang sesuai terutama pada jam-jam sibuk. Untuk itu, perlu dilakukan evaluasi terhadap tingkat kinerja dari simpang.

Dari serangkaian uraian tersebut diatas yang menjadikan dasar penulis untuk memilih tugas akhir dengan judul “Optimasi Waktu Siklus Simpang Bersinyal Menurut Manual Kapasitas Jalan Indonesia (MKJI) 1997. (Studi Kasus Simpang Empat MM UGM Yogyakarta)”.

## I.2. Tujuan Penelitian

Tujuan dari penelitian ini adalah

1. Mengevaluasi karakteristik dan kinerja simpang yang terjadi pada simpang empat MM UGM Yogyakarta pada kondisi sekarang.

2. Menghitung optimasi waktu siklus simpang empat MM UGM dengan menggunakan metode Manual Kapasitas Jalan Indonesia (MKJI) 1997.

### **I.3. Manfaat Penelitian**

Dari penelitian tugas akhir ini diharapkan akan dapat memberikan manfaat bagi penyusun dan pembaca secara jelas tentang bagaimana cara mengevaluasi kinerja simpang bersinyal dan perhitungan optimasi waktu siklus dengan menggunakan metode Manual Kapasitas Jalan Indonesia ( MKJI ) 1997.

Diharapkan dari hasil penelitian ini akan memberikan masukan pada Dinas Pekerjaan Umum Direktorat Lalu Lintas Angkutan Jalan Raya ( DLLAJR ) D.I.Yogyakarta untuk dipertimbangkan dan diaplikasikan guna kelancaran arus lalu lintas, meningkatnya keamanan dan kenyamanan pemakai jalan, memperpendek waktu perjalanan yang berarti menghemat biaya operasi kendaraan, dan memberikan pelayanan yang lebih baik terhadap pemakai jalan dalam arti aman, nyaman, dan ekonomis untuk masa mendatang.

### **I.4. Batasan Masalah**

Batasan masalah pada penelitian ini meliputi :

1. Data kendaraan yang melewati Gg. Selokan Mataram dilakukan penyederhanaan yaitu untuk kendaraan yang masuk dari barat dianggap kendaraan dari Barat menuju Timur, kendaraan yang berasal dari Selatan dianggap kendaraan dari Selatan menuju Timur, kendaraan dari Timur dianggap dari Timur menuju Utara, kendaraan dari Utara dianggap kendaraan dari Utara menuju Timur. Kendaraan yang keluar dari Gg. Selokan Mataram menuju Barat dianggap kendaraan dari Timur menuju

barat, kendaraan menuju selatan dianggap kendaraan dari timur menuju selatan, kendaraan menuju timur dianggap kendaraan dari utara menuju timur, dan kendaraan yang menuju utara dianggap kendaraan dari timur menuju utara.

2. Karakteristik dan kinerja ditinjau berdasarkan kapasitas, derajat kejemuhan, panjang antrian, delay, dan tingkat pelayanan.
3. Penentuan tingkat pelayanan yang digunakan menggunakan metode *Highway capacity manual ( HCM) 1985.*

## **BAB 11**

### **TINJAUAN PUSTAKA**

#### **2.1. Sistem Lampu Lalu Lintas**

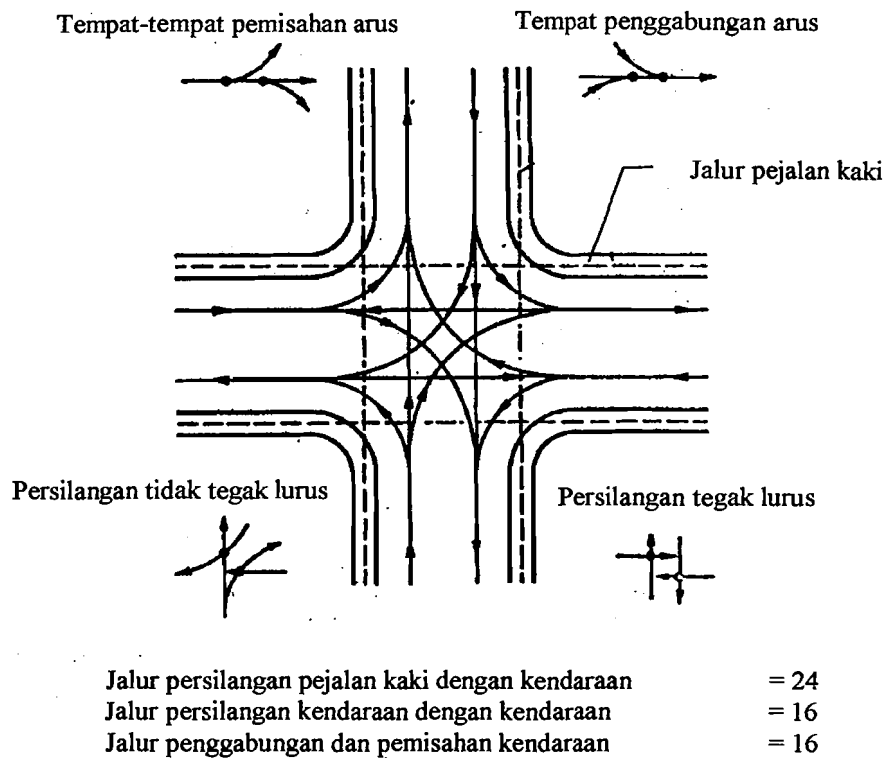
Menurut Oglesby. C.H. & Hicks R.G.(1994), lampu lalu lintas didefinisikan sebagai semua peralatan pengatur lampu lalu lintas yang menggunakan tenaga listrik kecuali lampu kedip (*flasher*), rambu dan marka jalan. Setiap pemasangan lampu lalu lintas bertujuan untuk memenuhi satu atau lebih fungsi-fungsi sebagai berikut :

1. mendapat gerakan lalu lintas yang teratur.
2. meningkatkan kapasitas lalu lintas pada persimpangan jalan.
3. mengurangi frekuensi kecelakaan.
4. mengkoordinasikan lalu lintas pada kondisi jarak sinyal yang cukup baik, sehingga aliran lalu lintas tetap berjalan menerus pada kecepatan tertentu.
5. memutuskan arus lalu lintas tinggi agar memungkinkan adanya penyeberangan kendaraan lain atau pejalan kaki.
6. pengatur penggunaan jalur lalu lintas.
7. sebagai pengendali pertemuan jalan pada jalan masuk jalan bebas hambatan

8. memutus arus lalu lintas bagi lewatnya kendaraan darurat (*ambulance*)

## 2.2. Konflik

Menurut Hobbs, F.D. (1997) suatu pertemuan jalan (*junction*) yang umum dengan jalur tunggal dan jalur keluar terdapat titik konflik berupa *merging*, *diverging* dan *crossing* yang berpotensi terjadinya konflik dan tabrakan kendaraan. Jumlah konflik terjadi setiap jamnya pada masing-masing pertemuan jalan dapat diketahui dengan cara mengukur volume aliran untuk seluruh gerakan kendaraan. Masing-masing titik berkemungkinan menjadi tempat terjadinya kecelakaan dan tingkat kaparahan kecelakaannya berkaitan dengan kecepatan relatif suatu kendaraan. Apabila ada pejalan kaki yang menyeberang jalan pada pertemuan jalan tersebut, konflik langsung kendaraan dan pejalan kaki dan arah aliran kendaraan dan pejalan kaki. Pada saat pejalan kaki menyeberang jalur pendekatan, 24 titik konflik kendaraan/pejalan kaki terjadi pada pertemuan jalan tersebut, dengan mengabaikan gerakan diagonal yang dilakukan oleh pejalan kaki. Adapun tempat persilangan aliran pejalan kaki dan kendaraan pada arus persilangan jalan dapat dilihat pada gambar 2.1 berikut.



Gambar 2.1. Titik konflik persimpangan arus kendaraan dan pejalan kaki

Sumber : Hobbs, F.D, 1997

Suatu operasi yang paling sederhana ialah hanya melibatkan suatu manuver penggabungan, pemisahan atau penyilangan dan memang hal ini diinginkan sepanjang mungkin, untuk menghindari gerakan yang banyak dan berkombinasi yang kesemuanya ini agar diperoleh pengoperasian yang sederhana. Biasanya terdapat batas pemisah dari aliran yang paling disenangi (prioritas) dan kemungkinan gerakan yang terkontrol dibuat terhadap dan sebuah aliran sekunder. Keputusan untuk menerima atau menolak sebuah *gap* disarankan kepada pengemudi dari aliran yang bukan prioritas.

### **2.3. Optimasi Waktu Siklus**

Menurut MKJ1 1997, waktu siklus adalah waktu urutan lengkap dari indikasi sinyal dalam suatu pendekat. Besarnya waktu siklus yang disarankan adalah sebagai berikut:

Tabel 2.1. Waktu siklus yang disarankan

| <b>Tipe Pengaturan</b> | <b>Waktu siklus yang layak (detik)</b> |
|------------------------|--|
| Penggunaan dua-fase    | 40-80 detik                            |
| Penggunaan tiga-fase   | 50-100 detik                           |
| Penggunaan empat-fase  | 80-130 detik                           |

Sumber : MKJ1, 1997

Nilai-nilai yang lebih rendah yang dipakai untuk simpang dengan lebar < 10 m, nilai-nilai yang lebih tinggi untuk jalan yang lebih lebar. Waktu siklus yang lebih rendah dari yang disarankan akan menyebabkan kesulitan bagi pejalan kaki untuk menyeberang jalan. Waktu siklus yang lebih besar dari 130 detik harus dihindari kecuali untuk kasus yang sangat khusus ( simpang sangat besar ), karena hal ini akan menyebabkan kerugian dalam kapasitas keseluruhan.

Jika perhitungan menghasilkan waktu siklus yang jauh lebih tinggi dari batas yang disarankan, maka hal ini menandakan bahwa kapasitas dari daerah simpang tersebut tidak mencukupi.

### **2.4. Penelitian yang pernah dilakukan.**

Beberapa penelitian yang berkaitan dengan dengan kinerja simpang bersinyal yang pernah dilakukan adalah sebagai berikut.

1. A. Roedy Pratiko (2002), dalam tugas akhir yang berjudul “Evaluasi Penanganan Simpang Ring Road Gamping Pada Pertigaan Jalan Wates –

Jalan Gamping Daerah Istimewa Yogyakarta) “, mendapatkan hasil analisis pada jam puncak menunjukkan bahwa fasilitas lalu lintas segmen jalan masih memadai dengan nilai derajat kejenuhan (DS) tertinggi sebesar 0,190 pada ruas jalan gamping sebelah timur. Hasil analisi pada jam puncak untuk fasilitas lalu lintas simpang bagian timur menunjukkan terjadi tundaan (*delay*) selama 43,07 detik/smp dan tingkat pelayanan berada pada tingkat E. Dengan pengaturan ulang lama waktu hijau untuk setiap pendekat, tingkat pelayanan dapat dinaikkan menjadi D dengan lama waktu tundaan sebesar 38,09 detik/smp. Untuk simpang bagian barat, menunjukkan bahwa terjadi tundaan (*delay*) selama 27,45 detik/smp dan tingkat pelayanan berada pada tingkat D, dengan pengaturan ulang lama waktu hijau untuk setiap pendekat, tingkat pelayanan dapat dinaikkan menjadi C dengan lama tundaan sebesar 24,87 detik/smp.

2. Ivan Haristyawan dan Wiwik permadi (2003), dalam tugas akhir yang berjudul “ Analisis Tingkat Pelayanan Lalu lintas Pada Persimpangan Jokteng Kulon – Gading – Jokteng Wetan Yogyakarta”. Mendapatkan hasil bahwa kategori tingkat pelayanan menurut HCM 1994 pada ketiga simpang tersebut adalah F dan kondisi lampu lalu lintas tidak memberikan koordinasi yang baik. Lama penundaan pada simpang Jokteng Kulon adalah 280,9814 detik per kendaraan, simpang Gading adalah 1091,2572 detik per kendaraan , dan pada simpang Jokteng Wetan 1475,8064 detik. Pemecahannya dengan menyamakan waktu siklus pada ketiga simpang tersebut menjadi 78 detik. Hal ini menyebabkan tingkat pelayanan pada ketiga simpang tersebut

menjadi naik sebesar 44,8046 detik pada persimpangan Jokteng Kulon, 436,9107 detik per kendaraan pada persimpangan Gading, dan 741,3756 detik per kendaraan pada persimpangan Jokteng Wetan.

---

## BAB III

### LANDASAN TEORI

#### 3.1. Penentuan fase dan waktu sinyal

Menurut MKJI 1997, fase sinyal adalah bagian dari siklus sinyal dengan lampu lalu lintas disediakan bagi kombinasi tertentu dari gerakan lalu lintas. Jika jumlah dan jenis fase sinyal tidak diketahui, maka pengaturan dengan dua fase sebaiknya digunakan sebagai kasus dasar. Pemisahan gerakan-gerakan belok kanan biasanya hanya dapat dipertimbangkan kalau gerakan membelok melebihi 200 smp/jam. Hubungan antara penentuan fase dengan waktu hijau dapat dilihat pada tabel 3.1.

Tabel 3.1 Tabel penentuan fase dan waktu hijau

| Ukuran Simpang | Lebar Jalan Rata-rata | Nilai Normal waktu antar |
|----------------|-----------------------|--------------------------|
| Kecil          | 6-9 m                 | 4 det per fase           |
| Sedang         | 10-14 m               | 5 det per fase           |
| Besar          | $\geq 15$ m           | $\geq 6$ det per fase    |

Sumber : MKJI, 1997

Untuk menentukan waktu sinyal dalam keadaan dengan kendali waktu tetap dilakukan berdasarkan metode Webster (1971) untuk meminimumkan tundaan total pada simpang. Pertama ditentukan waktu siklus (c), selanjutnya

waktu hijau (g) pada masing-masing fase (i).

### 3.1.1. Waktu siklus

Waktu siklus adalah waktu untuk urutan lengkap dari indikasi sinyal dalam suatu pendekat. Waktu siklus dihitung dengan menggunakan persamaan (3.1) berikut.

$$c = (1,5 \times LTI + 5) / (1 - \sum FR_{crit}) \quad (3.1)$$

dengan:

c = Waktu siklus sinyal (detik)

LTI = Jumlah waktu hilang per siklus (detik)

$FR_{crit}$  = Arus dibagi dengan arus jenuh (Q/S)

$\sum (FR_{crit})$  = Rasio simpang = jumlah  $FR_{crit}$  dari semua fase siklus tersebut.

Jika waktu siklus tersebut lebih kecil daripada nilai ini, maka ada risiko serius akan terjadinya lewat jenuh pada simpang tersebut. Waktu siklus yang terlalu panjang akan menyebabkan meningkatnya tundaan rata-rata. Jika nilai  $\sum (FR_{crit})$  mendekati atau lebih dari 1 (satu), maka simpang tersebut akan menghasilkan nilai waktu siklus yang sangat tinggi dan negatif.

### 3.1.2. Waktu hijau

Menurut MKJ1 1997 waktu hijau adalah nyala dalam suatu pendekat dengan satuan detik. Waktu hijau dihitung dengan menggunakan persamaan (3.2) berikut.

$$g_i = (c - LTI) \times FR_{crit} / \sum (FR_{crit}) \quad (3.2)$$

dengan:

$g_i$  = tampilan waktu hijau pada fase i (detik).

Kinerja suatu simpang bersinyal pada umumnya lebih peka terhadap kesalahan-kesalahan dalam pembagian waktu hijau daripada terhadap terlalu panjangnya waktu siklus. Penyimpangan kecil dari rasio hijau ( $g/c$ ) dari persamaan diatas menghasilkan bertambah tingginya tundaan rata-rata pada simpang tersebut.

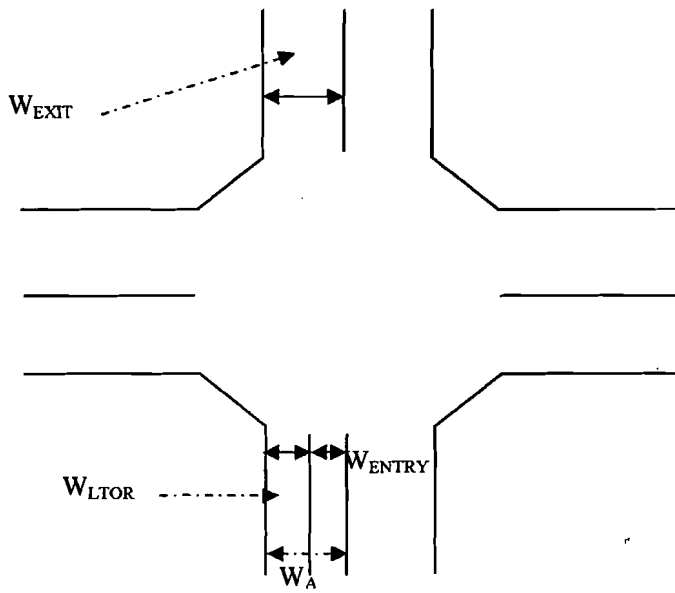
### 3.2. Kondisi Geometri dan Lingkungan

Kondisi geometri digambarkan dalam bentuk gambar sketsa yang memberikan informasi lebar jalan, batas sisi jalan, lebar bahu dan lebar median serta petunjuk arah untuk tiap lengan persimpangan. Lebar *Approach* (WA) untuk tiap lengan diukur kurang lebih sepuluh meter dari garis henti. Kondisi lain menggambarkan tipe lingkungan jalan yang dibagi menjadi tipe yaitu : tipe komersial, pemukiman dan akses terbatas.

Menurut MKJI 1997 kondisi dan geometri jalan meliputi:

1. Pendekat adalah daerah dari suatu lengan persimpangan jalan untuk kendaraan mengantri sebelum keluar melewati garis henti. (Bila arus lalu lintas ke kiri atau ke kanan dipisahkan dengan pulau lalu lintas, sebuah lengan persimpangan jalan dapat mempunyai dua pendekat)
2. Lebar pendekat ( $W_A$ ) adalah lebar dari bagian pendekat yang diperkeras, diukur bagian ter sempit di sebelah hulu (m)
3. Lebar masuk ( $W_{ENTRY}$ ) adalah lebar dari bagian pendekat yang diperkeras, diukur pada garis henti (m).

4. Lebar keluar ( $W_{EXIT}$ ) adalah lebar dari bagian pendekat yang diperkeras, yang digunakan untuk lalu lintas buangan setelah melewati persimpangan jalan (m).
5. Lebar efektif ( $W_E$ ) adalah lebar dari bagian pendekat yang diperkeras, yang digunakan dalam menghitung kapasitas (yaitu dengan pertimbangan terhadap  $W_A$ ,  $W_{ENTRY}$  dan  $W_{EXIT}$  dan gerakan lalu lintas memblok (m)).
6. Jarak ( L ) adalah jarak segmen jalan.
7. Landai jalan (*gradien*) adalah kemiringan di suatu segmen jalan dalam arah perjalanan ( % )



Gambar 3.1 Geometri simpang

Sumber: MKJI, 1997

Mengenai kondisi dan karakteristik lingkungan meliputi :

1. Komersial adalah tata guna lahan komersial (sebagai contoh : toko, restoran, kantor) dengan jalan masuk langsung bagi pejalan kaki dan kendaraan.

2. Pemukiman adalah tata guna lahan tempat tinggal dengan jalan masuk langsung bagi pejalan kaki dan kendaraan.
3. Akses terbatas adalah jalan masuk langsung terbatas atau tidak ada sama sekali (sebagai contoh : karena hambatan fisik, jalan simpang).
4. Hambatan samping adalah interaksi antara arus lalu lintas dan kegiatan disamping jalan yang menyebabkan pengurangan terhadap arus jenuh di dalam pendekat.
5. Ukuran kota adalah jumlah penduduk dalam suatu daerah perkotaan.

### **3.3. Kapasitas**

Menurut MKJI 1997, kapasitas ( C ) dari suatu pendekat simpang bersinyal dapat dinyatakan sebagai berikut:

$$C = S \times g/c \quad (3.3)$$

dengan:

C = Kapasitas (smp/jam).

S = Arus jenuh, yaitu arus berangkat rata-rata dari antrian dalam pendekat selama sinyal hijau (smp/jam hijau – smp per-jam hijau).

c = Waktu siklus, yaitu selang waktu untuk urutan perubahan sinyal yang lengkap (yaitu antara dua awal hijau yang berurutan pada fase yang sama).

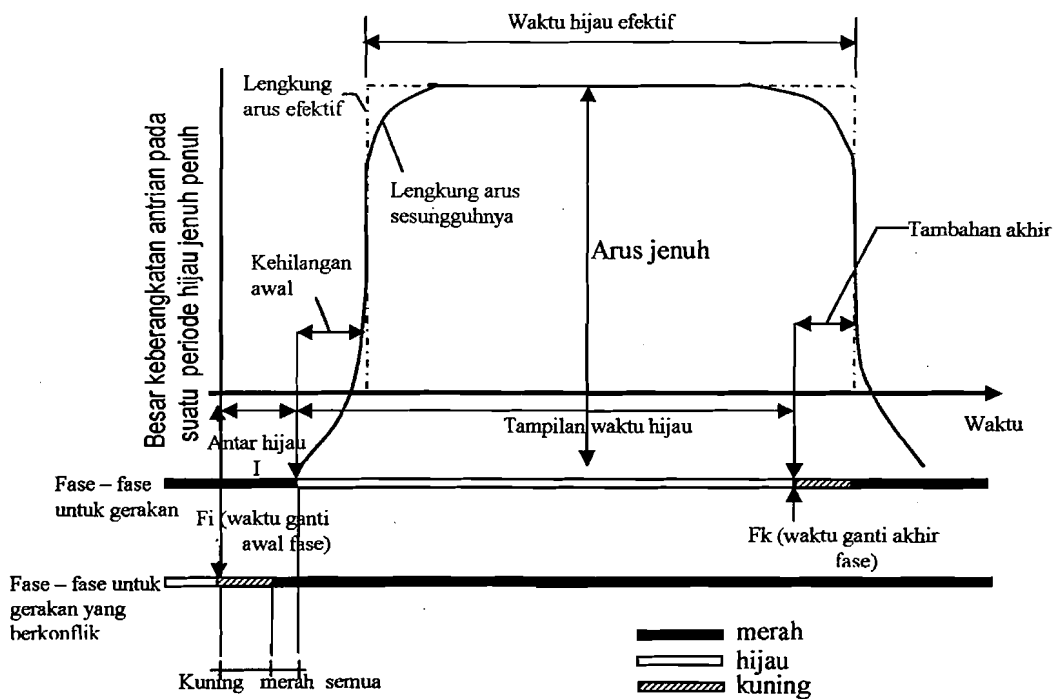
g = Waktu hijau (detik).

Oleh karena itu, perlu diketahui atau ditentukan waktu simpang dari sinyal agar dapat dihitung kapasitas dan ukuran-ukuran kinerja lainnya.

Pada persamaan diatas arus jenuh ( $S$ ) dianggap tetap sama selama waktu hijau. Meskipun demikian dalam kenyataannya, arus berangkat mulai dari 0 pada awal hijau dan mencapai puncaknya setelah 10 - 15 detik. Nilai ini akan menurun sedikit sampai arus berangkat terus berlangsung selama waktu kuning dan merah, semua hingga turun menjadi 0, yang biasanya terjadi 5 - 10 detik setelah awal sinyal merah.

Permulaan arus berangkat menyebabkan terjadinya apa yang disebut kehilangan awal dari waktu hijau efektif. Arus berangkat setelah akhir waktu hijau dilihat pada gambar 3.2, sehingga besarnya waktu hijau efektif, yaitu lamanya waktu hijau dimana arus berangkat terjadi dengan besaran tetap sebesar  $S$ , dapat dihitung sebagai berikut.

Waktu hijau efektif = Tampilan waktu hijau - Kehilangan awal + Tambahan akhir.



Gambar 3.2 Model dasar untuk arus jenuh (Akcelik) dalam MKJI 1997.

Sumber : MKJI, 1997

Rata-rata besarnya kehilangan awal dan tambahan akhir, keduanya mempunyai nilai sekitar 4,8 detik. Sedangkan persamaan dengan waktu hijau dan besar standar, besarnya waktu hijau efektif menjadi sama dengan waktu hijau dan besar arus jenuh puncak yang diamati di lapangan untuk masing-masing lokasi, digunakan persamaan kapasitas di atas, untuk menghitung kapasitas pendekat tanpa penyesuaian dengan kehilangan awal dan tambahan awal dan tambahan akhir.

Arus jenuh ( $S$ ) dapat dinyatakan sebagai hasil perkalian dari arus jenuh dasar ( $S_0$ ) untuk keadaan standar, dengan faktor penyesuaian ( $F$ ) untuk penyimpangan dari kondisi sebenarnya, dari suatu kumpulan kondisi-kondisi ideal yang telah ditetapkan sebelumnya. Arus jenuh dinyatakan dalam persamaan

(3.4) berikut.

$$S = SO \times F1 \times F2 \times F3 \times F4 \times \dots \times Fn \quad (3.4)$$

dengan :

$S$  = Arus jenuh (smp/jam)

$SO$  = Arus jenuh dasar (smp/jam)

$Fn$  = Faktor penyesuaian, untuk penyimpangan dari kondisi sebenarnya.

Untuk pendekat terlindung, arus jenuh dasar  $SO$  ditentukan sebagai fungsi dari lebar efektif pendekat ( $We$ )

$$SO = 600 \times We \quad (3.5)$$

dengan :

$SO$  = Arus jenuh dasar (smp / jam hijau)

$We$  = Lebar pendekat efektif (m)

Penyesuaian kemudian dilakukan untuk kondisi-kondisi sebagai berikut:

- a. Ukuran kota CS, jutaan penduduk.
- b. Hambatan samping SF, kelas hambatan samping dari lingkungan
- c. jalan dan kendaraan tidak bermotor.
- d. Kelandaian G, % naik (+) turun (-)
- e. Parkir P, jarak garis henti - kendaraan parkir pertama.
- f. Gerakan membelok RT, % belok kanan dan LT, % belok kiri.

Untuk pendekat terlawan, keberangkatan dari antrian sangat dipengaruhi oleh kenyataan, bahwa sopir-sopir di Indonesia tidak menghormati aturan hak jalan dari sebelah kiri yaitu, kendaraan-kendaraan belok kanan memaksa menerobos lalu lintas lurus yang berlawan. Model-

model dari negara barat tentang keberangkatan ini, yang didasarkan pada teori penerimaan celah *gap acceptance*, tidak dapat diterapkan. Suatu model penjelasan yang didasarkan pada pengamatan perilaku pengemudi telah dikembangkan dan diterapkan dalam MKJI 1997. Apabila terdapat gerakan belok kanan dengan rasio tinggi, umumnya menghasilkan kapasitas-kapasitas yang telah rendah jika dibandingkan dengan model barat yang sesuai. Nilai-nilai smp yang berbeda untuk pendekat terlawan juga digunakan seperti diuraikan di atas.

Arus jenuh dasar ( $S_0$ ) ditentukan sebagai dari lebar efektif pendekat ( $W_e$ ) dan arus lalu lintas belok kanan pada pendekat tersebut dan juga pada pendekat yang berlawanan, karena pengaruh dari faktor-faktor tersebut tidak linier. Kemudian dilakukan penyesuaian untuk kondisi sebenarnya sehubungan dengan ukuran kota. Hambatan samping, kelandaian dan parkir sebagaimana terdapat dalam persamaan waktu hijau efektif.

#### **3.4. Perilaku Lalu lintas**

Menurut MKJI (1997), berbagai ukuran perilaku lalu lintas dapat ditentukan berdasarkan pada arus lalu lintas ( $Q$ ), derajat kejemuhan (DS) dan waktu sinyal ( $c$  dan  $g$ ) sebagai mana diuraikan pada persamaan (3.6) berikut.

$$DS = Q/C = (Q \times e)/(S \times g) \quad (3.6)$$

dengan :

DS = Derajat kejemuhan

$Q$  = Arus lalu lintas (smp/jam)

$C$  = Kapasitas (smp/jam)

c = Waktu siklus (det)

S = Arus jenuh (smp/jam hijau)

g = Waktu hijau (det)

### 3.4.1. Panjang antrian

Jumlah rata-rata antrian smp pada awal sinyal hijau ( $NQ$ ) dihitung sebagai jumlah smp yang tersisa dari fase hijau sebelumnya ( $NQ_1$ ) ditambah jumlah smp yang datang selama fase merah ( $NQ_2$ ).

$$Nq = NQ_1 + NQ_2 \quad (3.7)$$

dengan:

$$NQ_1 = 0,25 \times C \times (DS - 1) + \sqrt{(Ds - 1)^2 + \frac{(DS - 0,5)}{C}} \quad (3.8)$$

Jika  $DS > 0,5$ ; selain dari itu  $NQ_1 = 0$

$$NQ_2 = c \times \frac{1 - GR}{1 - GR \times DS} \times \frac{Q}{3600} \quad (3.9)$$

dengan:

$NQ_1$  = Jumlah smp yang tertinggal dari fase hijau sebelum

$NQ_2$  = Jumlah smp yang datang selama fase merah.  $DS$  = Derajat kejenuhan

$GR$  = Rasio hijau

c = Waktu siklus (det)

C = Kapasitas (smp/jam) = arus jenuh kali rasio hijau ( $S \times GR$ )

Q = Arus lalu lintas pada pendekat tersebut (smp/det)

Panjang antrian ( $QL$ ) diperoleh dari perkalian ( $NQ$ ) dengan luas rata-rata yang dipergunakan per smp ( $20 \text{ m}^2$ ) dan pembagian dengan lebar masuk.

$$QL = NQ_{max} \times \frac{20}{W_{masuk}} \quad (3.10)$$

### 3.4.2 Angka henti

Angka henti (NS), yaitu jumlah berhenti rata-rata per-kendaraan (termasuk berhenti terulang dalam antrian) sebelum melawati suatu simpang dihitung dengan menggunakan persaman (3.11) berikut.

$$NS = 0,9 \times \frac{NQ}{Q \times c} \times 3600 \quad (3.11)$$

dengan :

c = Waktu siklus (det)

Q = Arus lalu-lintas (smp/jam) dari pendekat yang ditinjau.

### 3.4.3. Rasio kendaraan terhenti

Rasio kendaraan terhenti (Psv), yaitu rasio kendaraan yang harus berhenti akibat sinyal merah sebelum melewati suatu simpang, i dihitung sebagai:

$$Psv = \min(NS, i)$$

dengan :

NS = Angka henti dari suatu pendekat.

### 3.4.4. Tundaan

Tundaan pada suatu simpang dapat terjadi karena dua hal :

1. Tundaan lalu lintas (DT) karena interaksi lalu lintas dengan gerakan lainnya pada suatu simpang.

2. Tundaan geometri (DG) karena perlambatan dan percepatan saat membelok pada suatu simpang dan atau terhenti karena lampu merah. Tundaan rata-rata untuk suatu pendekat j dihitung dengan menggunakan persamaan (3.12) berikut.

$$Dj = DTj + DGj \quad (3.12)$$

dengan :

Dj = tundaan rata-rata untuk pendekat j (detik/smp)

DTj = tundaan lalu lintas rata-rata untuk pendekat j (detik/smp)

DGj = tundaan geometri rata-rata untuk pendekat j (detik/smp)

Berdasarkan Akcelik 1988 tundaan lalu lintas rata-rata pada suatu pendekat j dapat ditentukan dengan menggunakan persamaan (3.13) berikut.:

$$DT = c \times \frac{0,5x(1 - GR)^2}{(1 - GR \times DS)} + \frac{NQ1 \times 3600}{C} \quad (3.13)$$

dengan:

DTj = Tundaan lalu lintas rata-rata pada pendekat j (detik/smp)

GR = Rasio hijau (g/c)

DS = Derajat kejenuhan

C = Kapasitas (smp/jam)

NQ1 = Jumlah smp yang tertinggal dari fase hijau sebelumnya.

Hasil perhitungan tidak berlaku jika kapasitas dipengaruhi oleh faktor-faktor luar seperti terhalangnya jalan keluar akibat kemacetan pada bagian hilir, pengaturan oleh posisi secara manual dan sebagainya.

Tundaan geometri rata-rata pada suatu pendekat j dapat diperkirakan dengan menggunakan persamaan (3.14) berikut.

$$DG_j = (I - P_{sv}) \times PT \times 6 + (P_{sv} \times 4) \quad (3.14)$$

dengan :

$DG_j$  = tundaan geometri rata-rata pada pendekat j (detik/smp)

$P_{sv}$  = rasio kendaraan terhenti pada suatu waktu pendekat

$PT$  = rasio kendaraan membelok pada suatu pendekat

### 3.5. Tingkat Pelayanan

Menurut HCM (1985), tingkat pelayanan pada persimpangan yang menggunakan lampu pengatur lalu lintas dihubungkan dengan lama waktu penundaan (*delay*). *Delay* merupakan ukuran dari kegelisahan pengemudi, tingkat frustasi pengemudi, kebutuhan bahan bakar kendaraan dan waktu perjalanan yang hilang. Kriteria tingkat pelayanan ditetapkan dalam bentuk rata-rata waktu berhenti (*average stopped delay*) tiap kendaraan dalam periode analisis selama 15 menit. Dalam hal ini, HCM (1985), menjelaskan hubungan antara tingkat pelayanan dan waktu tertunda dapat digolongkan dalam beberapa tingkat pelayanan seperti berikut:

#### 1. Tingkat Pelayanan A

Menggambarkan pengoperasian penundaan sangat rendah kurang dari 0,5 detik tiap kendaraan. Hal ini terjadi jika gerak maju kendaraan sangat menguntungkan dan kebanyakan kendaraan yang datang pada fase hijau serta tidak berhenti sama sekali. Panjang putaran yang terjadi juga dapat mengurangi waktu penundaan.

#### 2. Tingkat Pelayanan B

Menggambarkan pengoperasian penundaan sangat rendah dalam interval

5,1 - 15 detik tiap kendaraan . Hal ini terjadi dengan adanya gerak maju kendaraan yang baik atau waktu putar yang pendek dan kendaraan yang berhenti lebih banyak dari tingkat pelayanan A yang menyebabkan tingkat penundaan rata-rata lebih tinggi.

### 3. Tingkat Pelayanan C

Menggambarkan pengoperasian penundaan yang lebih tinggi dalam interval 15,1 - 25 detik tiap kendaraan. Hal ini disebabkan oleh gerak maju kendaraan yang sedang saja dan panjang putaran yang lama.

### 4. Tingkat Pelayanan D

Menggambarkan pengoperasian dengan penundaan waktu 25,1 - 40 detik tiap kendaraan . Pengaruh kemacetan sudah terlihat jelas. Penundaan lebih lama, mungkin disebabkan oleh kombinasi dari gerak maju yang tidak menguntungkan, waktu putaran yang lama atau perbandingan V/C yang tinggi. Banyak kendaraan yang berhenti dan sebagian kendaraan yang tidak berhenti jumlahnya menurun serta kegagalan individu mulai terlihat.

### 5. Tingkat Pelayanan E

Menggambarkan pengoperasian dengan penundaan kisaran 40,1 - 60 detik tiap kendaraan dan dianggap sebagai batas penundaan yang dapat diterima. Nilai tersebut menunjukkan gerak maju tiap kendaraan yang tidak baik, waktu putaran yang panjang dan perbandingan V/C yang tinggi serta kemacetan individual terjadi.

### 6. Tingkat Pelayanan F

Menggambarkan tingkat pengoperasian dengan penundaan lebih dari 60

detik tiap kendaraan. Ini dianggap sebagai penundaan yang tidak dapat diterima oleh pengemudi. Kondisi tersebut sering terjadi bersamaan dengan keadaan terlalu jenuh, yaitu pada saat angka arus kedatangan melebihi kapasitas persimpangan jalan. Hal ini terjadi pada perbandingan V/C yang lebih dari 1 dengan beberapa kemacetan individual. Gerak maju kendaraan yang tersendat dan waktu putaran yang panjang adalah penyebab utama dari tingkat penundaan yang demikian.

Tabel 3.2. Kriteria Tingkat Pelayanan Pertemuan Jalan Berlampa lalu lintas

| <b>Tingkat Pelayanan</b> | <b>Waktu Tunggu per Kendaraan<br/>(detik )</b> |
|--------------------------|--|
| A                        | < 5.0  |
| B                        | 05.1-15.0                                      |
| C                        | 15.1-25.0                                      |
| D                        | 25.1 -40.0                                     |
| E                        | 40.1-60.0                                      |
| F                        | > 60.0   |

Sumber : HCM, 1985

### 3.6. Satuan Mobil Penumpang

Transportasi pada jalan raya umumnya terdiri dari berbagai jenis kendaraan yang melewatkannya. Keanekaragaman jenis kendaraan dengan karakteristik yang berbeda tersebut memberikan dampak terhadap jalan dan pola arus lalu lintas yang berbeda pula. Untuk mengatasi hal tersebut, diperlukan suatu nilai konversi ke satuan tertentu untuk keperluan analisis.

Satuan mobil penumpang atau *passanger car unit (pcu)* adalah merupakan nilai konversi dari aliran arus lalu lintas yang tercampur *mix traffic* yang berguna untuk mengetahui volume lalu lintas yang aktual dengan cara mengalikan nilai tersebut dengan volume lalu lintas yang ada.

Perhitungan dilakukan persatuan jam untuk satu atau lebih periode, misalnya didasarkan pada kondisi arus lalu lintas rencana jam puncak pagi, siang dan sore. Arus lalu lintas ( $Q$ ) untuk tiap gerakan (belok kiri *LT/left Turning*, lurus *ST/Straigh through*, belok kekanan *RT/Right Turning*) dikonversikan dari kendaraan perjam menjadi satuan mobil penumpang (smp) perjam dengan menggunakan ekivalen mobil penumpang (emp) untuk masing-masing pendekat terlindung dan terlawan.

Menurut MKJI 1997, satuan mobil penumpang adalah suatu arus lalu lintas dari berbagai tipe kendaraan yang diubah menjadi kendaraan ringan (termasuk kendaraan penumpang) dengan menggunakan faktor (emp) untuk masing-masing pendekat terlindung dan terlawan, nilai ini dapat dilihat pada tabel 3.3.

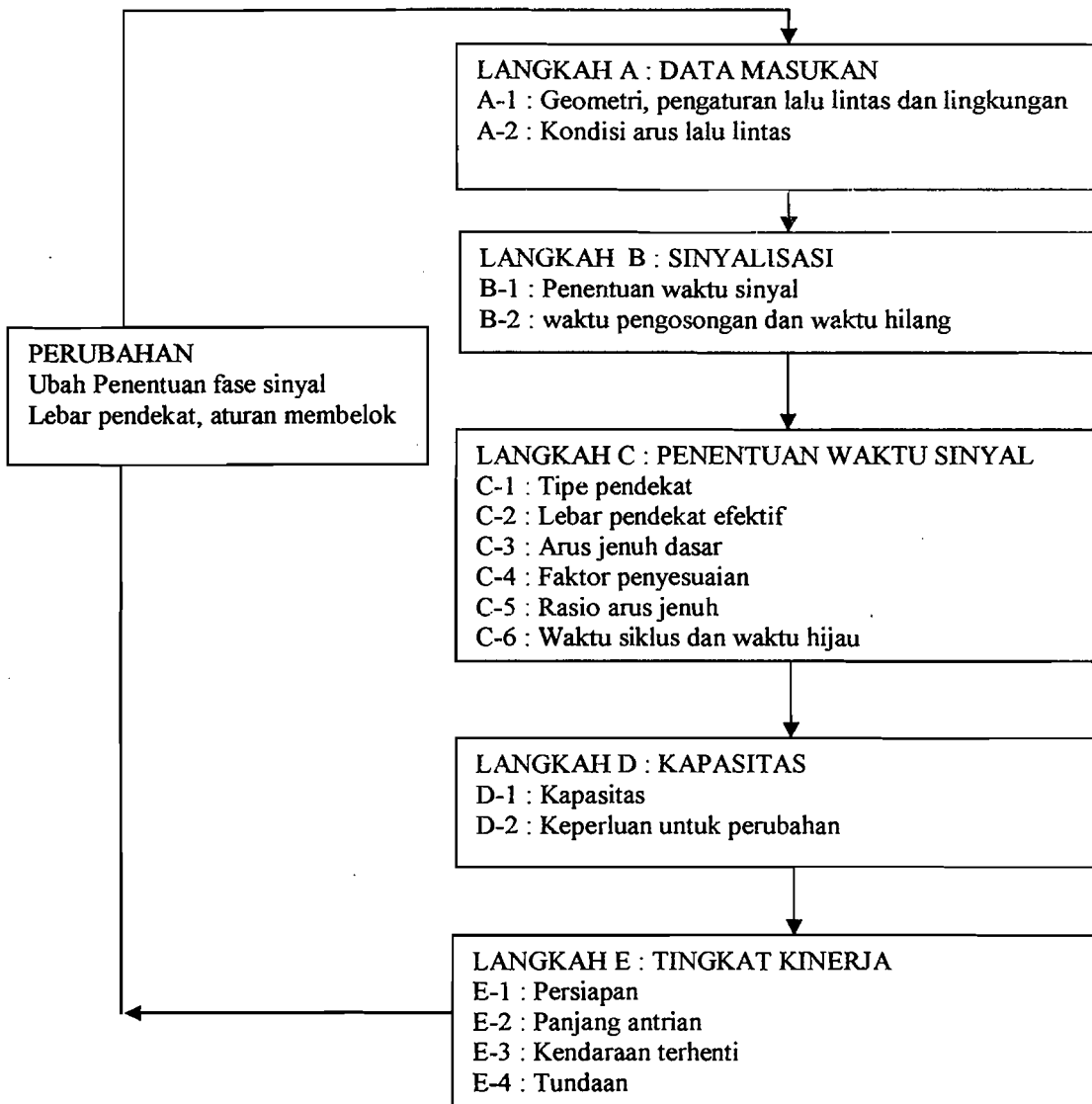
Tabel 3.3. Ekivalensi mobil penumpang

| Jenis Kendaraan       | Emp untuk tipe pendekat |          |
|-----------------------|-------------------------|----------|
|                       | Terlindung              | Terlawan |
| Kendaraan Ringan (LV) | 1.0                     | 1.0      |
| Kendaraan Berat (HV)  | 1.3                     | 1.3      |
| Sepeda Motor (MC)     | 0.2                     | 0.4      |
| Unmotorized (UM)      | 0.5                     | 1.0      |

Sumber : MKJI, 1997

### 3.7. Prosedur Perhitungan Penelitian

Prosedur perhitungan dalam penelitian ini menggunakan prinsip-prinsip yang terdapat dalam Manual Kapasitas Jalan Indonesia (MKJ1) 1997. Bagan alir prosedur perhitungan dapat dilihat pada gambar (3.3) berikut.



Gambar 3.3 Bagan alir analisis simpang bersinyal

Sumber : MKJI,1997

Formulir-formulir ini digunakan untuk perhitungan :

- SIG-I : Geometri, pengaturan lalu lintas, dan lingkungan
- SIG-II : Arus lalu lintas
- SIG-III : Waktu antar hijau, waktu hilang.
- SIG-IV : Penentuan waktu sinyal kapasitas
- SIG-V : Tundaan, panjang antrian, jumlah kendaraan terhenti.

## **LANGKAH A : DATA MASUKAN**

### **A – 1 : Geometri, pengaturan lalu- lintas dan lingkungan (formulir SIG-I)**

- 1) Umum, mengisi tanggal, Dikerjakan oleh, Kota, Simpang, Hal (mis Alt. 1) dan waktu (misal puncak pagi) pada judul formulir.
- 2) Ukuran kota, memasukkan jumlah penduduk perkotaan (ketelitian 0,1 juta penduduk)
- 3) Belok kiri lansung *left turn on red (LTOR)* yaitu menyatakan pada diagram fasilitas dalam pendekat (tanpa memperhatikan sinyal lampu lalu lintas)
- 4) Kolom (1), kode pendekat menggunakan utara , selatan, timur, dan barat.
- 5) Kolom (2), masukkan tipe lingkungan jalan (COM = Komersial, RES + Pemukiman; RA = Akses terbatas) untuk setiap pendekat.
- 6) Kolom (3), tingkat hambatan samping tinggi apabila besar arus berangkat pada tempat masuk dan keluar berkurang oleh karena aktivitas di samping jalan pada pendekat seperti, angkutan umum berhenti, pejalan sepanjang atau melintas pendekat, keluar masuk halaman di samping jalan dan sebagainya. Rendah apabila besar arus berangkat pada tempat masuk dan

keluar tidak berkurang oleh hambatan samping dari jenis-jenis yang disebut diatas. Penentuan kelas hambatan samping ini ditentukan dengan penentuan frekwensi berbobot kejadian per jam 200 m dari segmen jalan yang diamati pada kedua sisi jalan, nilainya seperti yang ditampilkan pada tabel 3.4. dan selanjutnya penentuan kelasnya dengan menggunakan tabel 3.5. berikut.

Tabel 3.4. Penentuan frekwensi kejadian

| Tipe kejadian hambatan samping | Simbol | Faktor bobot | Frekwensi kejadian | Frekwensi bobot |
|--------------------------------|--------|--------------|--------------------|-----------------|
| Pejalan kaki                   | PED    | 0,5          | /jam,200m          |                 |
| Parkir, kendaraan berhenti     | PSV    | 1,0          | /jam,200m          |                 |
| Kendaraan masuk + keluar       | EEV    | 0,7          | /jam,200m          |                 |
| Kendaraan lambat               | SMV    | 0,4          | /jam,200m          |                 |
| Total:                         |        |              |                    |                 |

Sumber : MKJI, 1997

Tabel 3.5. Penentuan kelas hambatan samping

| Frekwensi bobot kejadian | Kondisi khusus   | Kelas hambatan samping |    |
|--------------------------|--|------------------------|----|
| <100                     | Pemukiman, hampir tidak ada kegiatan                   | Sangat rendah          | VL |
| 100-299                  | Pemukiman, Beberapa angkutan umum                      | Rendah                 | L  |
| 300-499                  | Daerah industri dengan toko disisi jalan               | Sedang                 | M  |
| 500-899                  | Daerah niaga dengan aktifitas sisi jalan tinggi        | Tinggi                 | H  |
| >900                     | Daerah niaga dengan aktifitas sisi jalan sangat tinggi | Sangat Tinggi          | VH |

Sumber : MKJI, 1997

- 7) Kolom (4) Median, memasukkan jika terdapat median pada bagian kanan dari garis henti dalam pendekat (Ya/Tidak)
- 8) Kolom (5) Kelandaian, kelandaian dalam % (naik = +%; turun = -%)
- 9) Kolom (6) Belok kiri langsung, masukkan jika belok kiri langsung (LTOR) diijinkan (Ya/Tidak) pada pendekat tersebut (tambahan untuk menunjukkan hal didalam diagram fase sebagaimana diuraikan diatas)
- 10) Kolom (7) Jarak ke kendaraan Parkir, Memasukkan jarak normal antara

garis henti dan kendaraan pertama yang diparkir sebelah hulu pendekat.

- 11) Kolom (8-11), dari sketsa, lebar ketelitian sampai sepersepuluh meter terdekat bagian yang diperkeras dari masing-masing pendekat dan tempat keluar (bagian ter sempit setelah melewati jalan melintang)

#### A – 2 : Kondisi arus lalu lintas (Formulir SIG-II)

- 1) Kolom 3, 6, 9, yaitu data arus lalu lintas untuk masing-masing jenis kendaraan bermotor dalam kend/jam. Kolom 17 untuk kendaraan tak bermotor.
- 2) Kolom 4, 5, 7, 8, 10, 11, Menghitung arus lalu lintas dalam smp/jam bagi masing-masing jenis kendaraan untuk kondisi terlindung dan atau terlawan yang sesuai (yang sesuai tergantung pada fase sinyal dan gerakan belok kanan yang diijinkan) dengan menggunakan emp pada tabel 3.4.
- 3) Kolom 12, 14, jumlah arus lalu lintas total QMV dalam kendaraan dan smp/jam pada masing-masing pendekat untuk arus terlindung dan terlawan.
- 4) kolom (15) dan (16), menghitung untuk masing-masing pendekat rasio kendaraan belok kiri  $P_{LT}$ , dan rasio belok kanan  $P_{RT}$ . Perhitungan ini menurut persamaan (3.15) dan (3.16) berikut.

$$PLT = \frac{LT(smp / jam)}{Total(smp / jam)} \quad (3.15)$$

$$PRT = \frac{RT(smp / jam)}{Total(smp / jam)} \quad (3.16)$$

(bernilai sama untuk pendekat terlawan dan terlindung)

- 5) Menghitung rasio kendaraan tak bermotor dengan membagi arus

kendaraan tak bermotor  $Q_{UM}$  kendaraan/jam pada kolom (17) dengan arus kendaraan bermotor  $Q_{VM}$  kendaraan/jam pada kolom (12). Perhitungannya dengan menggunakan persamaan (3.17) berikut.

$$P_{UM} = Q_{UM}/Q_{VM} \quad (3.17)$$

## LANGKAH B: PENGGUNAAN SINYAL

### B – 1 : Pemilihan fase sinyal

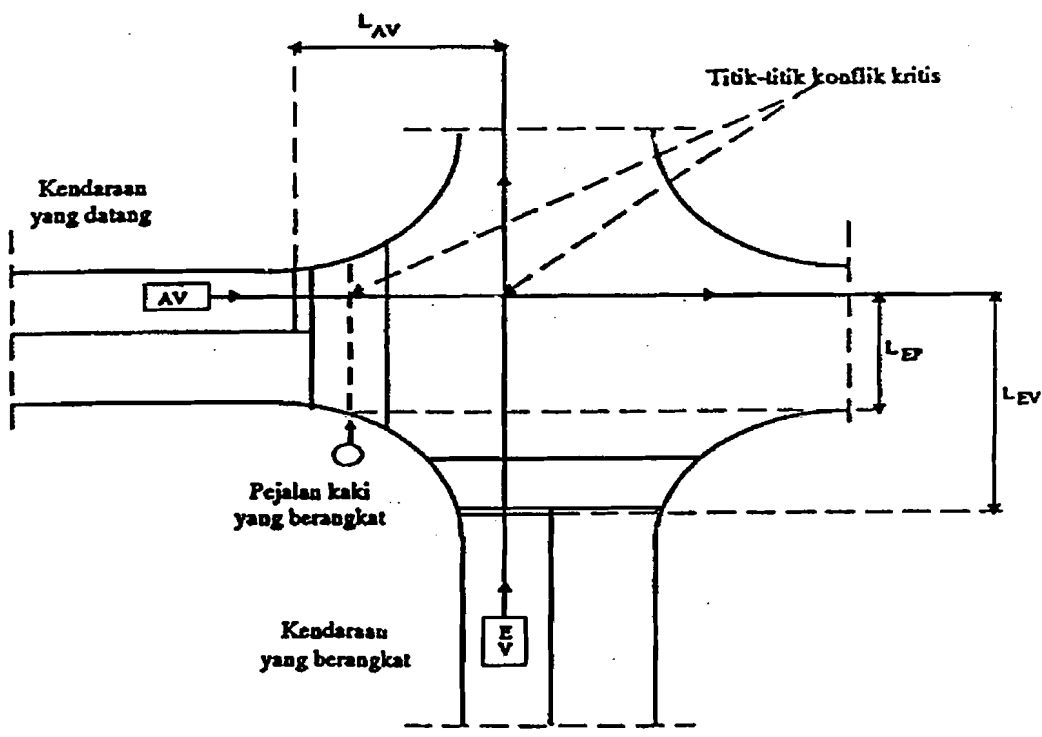
Menurut MKJI 1997 untuk merencanakan fase sinyal dipergunakan formulir SIG-IV dengan cara dilakukan berbagai alternatif untuk evaluasi. Dalam perencanakan fase sinyal disarankan langkah awal mencoba dengan dua fase sebagai kasus dasar, jumlah fase yang baik adalah fase yang menghasilkan kapasitas besar dan rata-rata tundaan rendah.

Pengendalian arus belok kanan sebaiknya dilakukan jika arus lalu lintas yang melewati garis henti pada pendekat, kapasitasnya telah melebihi 100 smp/jam. Hal ini mungkin dikehendaki jika keselamatan lalu lintas menjadi pertimbangan. Keadaan ini akan menambah jumlah fase dan waktu antar hijau yang berakibat bertambahnya waktu siklus dan waktu hilang walaupun dari segi keselemanan meningkat, biasanya hal ini akan menurunkan kapasitas. Bila arus belok kanan dari satu kaki dan, atau arus belok kanan kaki lawan arah terjadi pada fase yang sama, arus ini dinyatakan sebagai pendekat tak terlindung (*opposed*). Sedangkan arus belok kanan yang dipisahkan fasenya dengan arus lurus atau belok kanan tidak diijinkan, maka arus ini dinyatakan sebagai pendekat terlindung (*protected*).

## **B – 2 : Waktu pengosongan**

Waktu pengosongan adalah waktu merah semua yang diperlukan untuk pengosongan pada akhir fase harus memberi kesempatan bagi kendaraan terakhir (melewati garis henti pada akhir sinyal kuning) berangkat dari titik konflik sebelum kedatangan kendaraan yang datang pertama dari fase berikutnya (melewati garis henti pada awal sinyal hijau) pada titik yang sama. Jadi waktu pengosongan merupakan fungsi dari kecepatan dan, jarak dari kendaraan yang berangkat dan yang datang dari garis henti sampai titik konflik, dan panjang dari kendaraan yang berangkat, panjang pengosongan kendaraan.

Waktu pengosongan yang dikehendaki seharusnya dapat digunakan oleh kendaraan untuk mengosongkan titik konflik sebelum datang kendaraan yang datang pertama dari fase berikutnya. Gambar 3.4. berikut memperlihatkan titik konflik kritis dan jarak untuk keberangkatan dan kedatangan.



Gambar 3.4. Titik konflik kritis dan jarak untuk keberangkatan dan kedatangan

Sumber : MKJI, 1997

### B – 3 : Waktu hilang

Suatu antrian kendaraan yang tertahan oleh tanda lampu merah dan pada saat mendapat hak jalan kendaraan mengalami percepatan pada kondisi terjadi waktu hilang, laju kendaraan mencapai kecepatan konstan yang dipertahankan, kejadian ini disebut dengan arus jenuh. Kendaraan-kendaraan berjalan keluar dari arus jenuh sampai waktu hijau habis dan beberapa kendaraan melewati lampu kuning kecepatan kendaraan menurun, pada saat inipun waktu hilang.

Setelah waktu merah semua (*all red*), ditentukan, total waktu hilang (*lost time*) dapat dihitung sebagai penjumlahan periode waktu antar hijau (IG). Hal ini dapat dihitung dengan menggunakan persamaan (3.18) berikut.

$$LTI = \sum (\text{merah semua} + \text{kuning}) = \sum IG \quad (3.18)$$

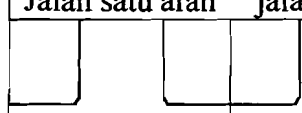
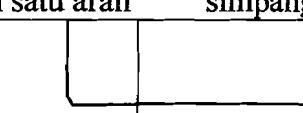
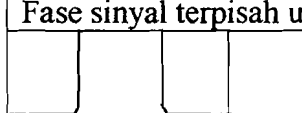
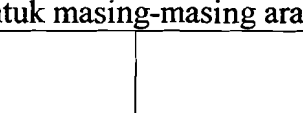
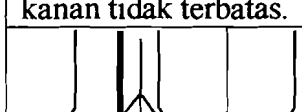
## **LANGKAH C: PENENTUAN WAKTU SINYAL**

### **C – 1 : Tipe pendekat**

- 1) Identifikasi dari setiap pendekat dimasukkan dalam baris pada formulir SIG-IV kolom(1). Apabila dua gerakan lalu- lintas pada sutau pendekat diberangkatkan pada fase yang berbeda (misal, lain lintas lurus dan lalu lintas belok kanan dengan jalur terpisah), harus dicatat pada baris terpisah dan diperlakukan sebagai pendekat-pendekat terpisah dalam perhitungan selanjutnya. Apabila suatu pendekat mempunyai nyala hijau pada dua fase, dimana pada keadaan tersebut, tipe lajur dapat berbeda untuk masing-masing fase, satu baris sebaiknya digunakan untuk mencatat data masing-masing fase dan satu baris tambahan untuk memasukkan hasil gabungan untuk pendekat tersebut.
- 2) Memasukkan nomor dari fase yang masing-masing pendekat/gerakannya mempunyai nyala hijau pada kolom (2).
- 3) Menentukan tipe dari setiap pendekat terlindung (P) atau terlawan (0), dan masukkan hasilnya pada kolom (3).
- 4) Membuat sketsa yang menunjukkan arus-arus dengan arahnya (formulir SIG-II kolom (13-14) dalam smp/jam pada kotak sudut kiri atas formulir SIG-IV (pilih hasil yang sesuai). Untuk kondisi terlindung (tipe P) atau terlawan (tipe 0) sebagai mana yang tercatat dalam kolom (3).
- 5) Masukkan rasio kendaraan berbelok (  $P_{LTOR}$  atau  $P_{LT}, P_{RT}$ ) untuk setiap pendekat (dari formulir SIG-II kolom (15-16) pada kolom (4-6).
- 6) Masukkan dari sketsa arus kendaraan belok kanan dalam smp/jam, dalam

arahnya sendiri ( $Q_n$ ) pada kolom 7 untuk masing-masing pendekat (dari formulir SIG-I1 kolom (14). Masukkan untuk pendekat tipe 0 arus kendaraan belok kanan, dalam arah yang berlawanan ( $Q_{RTO}$ ) pada kolom (8) (dari formulir SIG-11 kolom 8). Penentuan tipe pendekat lebih lanjut dapat dilihat pada table 3.6. berikut

Tabel 3.6 Penentuan tipe pendekat

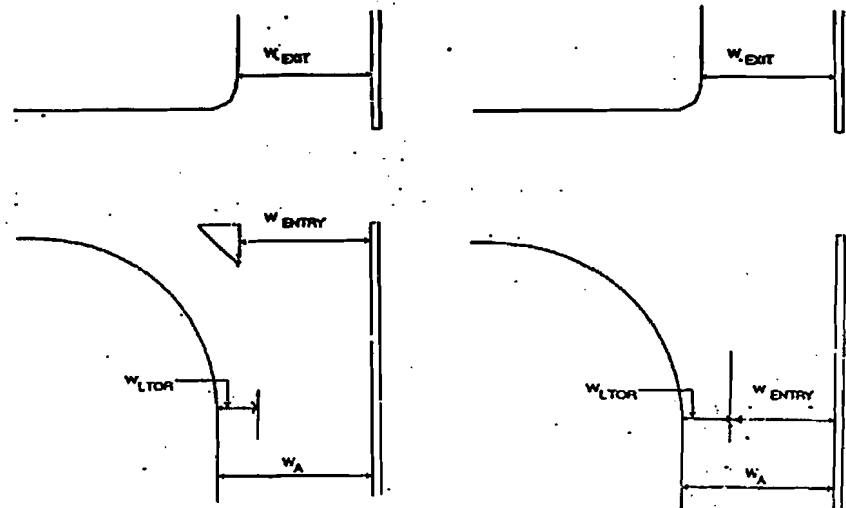
| Tipe pendekat | Keterangan   | Contoh pola-pola pendekat   |  |  |
|---------------|--|---|--|--|
| Terlindung P  | Arus berangkat tanpa konflik dengan lalu lintas dari arah berlawanan | Jalan satu arah<br><br>jalan satu arah<br><br>simpang T<br>   |  |  |
|               |  | Jalan dua arah , gerakan belok kanan terbatas<br><br>Jalan dua arah,<br>gerakan belok kanan terbatas<br>   |  |  |
|               |  | Jalan dua arah,<br>Fase sinyal terpisah untuk masing-masing arah<br><br>Jalan dua arah,<br>Fase sinyal terpisah untuk masing-masing arah<br>   |  |  |
| Terlawan O    | Arus berangkat dengan konflik lalu lintas dari arah berlawanan       | Jalan dua arah, arus berangkat dari arah-arah berlawanan dalam fase yang sama. Semua belok kanan tidak terbatas.<br><br>Jalan dua arah, arus berangkat dari arah-arah berlawanan dalam fase yang sama. Semua belok kanan tidak terbatas.<br> |  |  |

Sumber : MKJI, 1997

### C – 2 : Lebar pendekat efektif.

Menentukan lebar pendekat efektif (WE) dari setiap pendekat berdasarkan informasi tentang lebar pendekat (WA), lebar masuk ( $W_{ENTRY}$ ) dan lebar keluar ( $W_{EXIT}$ ) dan masukkan hasilnya pada kolom (9).

Lebar efektif (WE) dapat dihitung untuk pendekat dengan pulau lalu lintas, penentuan lebar masuk ( $W_{ENTRY}$ ), untuk pendekat tanpa pulau lalu lintas yang ditunjukkan pada bagian kanan. dari gambar pada keadaan terakhir  $W_{ENTRY} = WA - WLTOR$ . Persamaan di bawah dapat digunakan untuk kedua keadaan tersebut. Untuk pendekat dengan dan tanpa pulau lalu lintas dapat dilihat pada gambar 3.5 berikut.



Gambar 3.5. Pendekat dengan dan tanpa pulau lalu lintas

Sumber: MKJI, 1997

### C – 3 : Arus jenuh dasar

Menentukan arus jenuh dasar ( $S_0$ ) setiap pendekat dan hasilnya dimasukkan kedalam kolom (10).

#### C – 4 : Faktor penyesuaian.

- 1) Kolom (11), menentukan faktor penyesuaian ukuran kota (Fcs) ditentukan dari tabel 3.7 berikut.

Tabel 3.7. Faktor penyesuaian ukuran kota Fcs

| Penduduk kota<br>(juta jiwa) | Kelas ukuran kota<br>CS | Faktor penyesuaian<br>ukuran kota<br>(Fcs) |
|------------------------------|-------------------------|--|
| >0.3                         | Sangat besar            | 1.05                                       |
| 1.0-3.0                      | Besar                   | 1.00                                       |
| 0.5-1.0                      | Sedang                  | 0.94                                       |
| 0.1-0.5                      | Kecil                   | 0.83                                       |
| <0.1                         | Sangat kecil            | 0.82                                       |

Sumber : MKJI, 1997

- 2) Kolom (12), faktor penyesuaian hambatan samping (Fsf), sebagai fungsi dari jenis lingkungan jalan, tingkat hambatan samping dan rasio kendaraan tak bermotor ditentukan dari tabel 3.8 berikut.

Tabel 3.8. Faktor penyesuaian hambatan samping untuk simpang bersinyal

| Lingkungan<br>Jalan | Hambatan<br>samping | Tipe fase  | Rasio kendaraaa tidak<br>bermotor |      |      |      |      |      |
|---------------------|---------------------|------------|-----------------------------------|------|------|------|------|------|
|                     |                     |            | 0,00                              | 0,05 | 0,10 | 0,15 | 0,20 | 0,25 |
| Komersial<br>(COM)  | Tinggi              | Terlawan   | 0,93                              | 0,88 | 0,84 | 0,79 | 0,74 | 0,70 |
|                     |                     | Terlindung | 0,93                              | 0,91 | 0,88 | 0,87 | 0,85 | 0,81 |
|                     | sedang              | Terlawan   | 0,94                              | 0,89 | 0,85 | 0,80 | 0,75 | 0,71 |
|                     |                     | Terlindung | 0,94                              | 0,92 | 0,89 | 0,88 | 0,86 | 0,82 |
|                     | Rendah              | Terlawan   | 0,95                              | 0,90 | 0,86 | 0,81 | 0,76 | 0,72 |
|                     |                     | Terlindung | 0,95                              | 0,93 | 0,90 | 0,89 | 0,87 | 0,83 |
| Permukiman<br>(RES) | Tinggi              | Terlawan   | 0,96                              | 0,91 | 0,86 | 0,81 | 0,78 | 0,72 |
|                     |                     | Terlindung | 0,96                              | 0,94 | 0,92 | 0,89 | 0,86 | 0,84 |
|                     | Sedang              | Terlawan   | 0,97                              | 0,92 | 0,87 | 0,82 | 0,79 | 0,73 |
|                     |                     | Terlindung | 0,97                              | 0,95 | 0,93 | 0,90 | 0,87 | 0,85 |

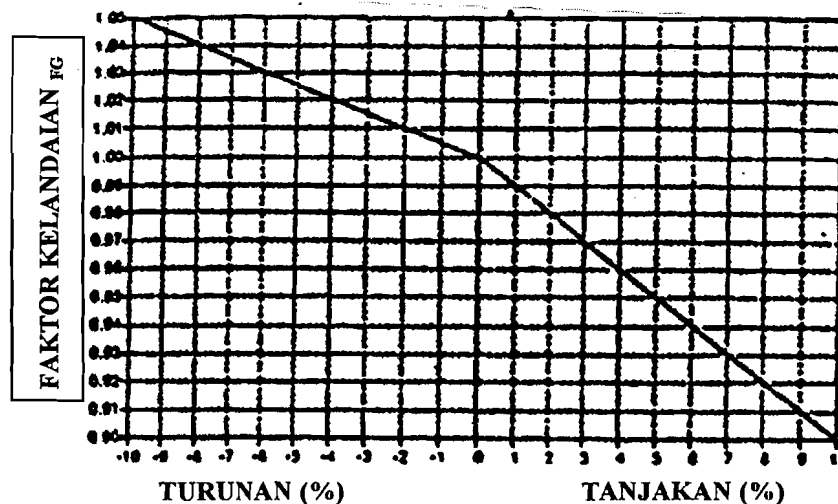
*Sambungan*

|                        |                          |                        |      |      |      |      |      |      |
|------------------------|--------------------------|------------------------|------|------|------|------|------|------|
|                        | Rendah                   | Terlawan<br>Terlindung | 0,98 | 0,93 | 0,88 | 0,83 | 0,80 | 0,74 |
|                        |                          |                        | 0,98 | 0,96 | 0,94 | 0,91 | 0,88 | 0,86 |
| Akses<br>terbatas (RA) | Tinggi/Sedang<br>/Rendah | Terlawan<br>Terlindung | 1,00 | 0,95 | 0,90 | 0,85 | 0,80 | 0,75 |
|                        |                          |                        | 1,00 | 0,98 | 0,95 | 0,93 | 0,90 | 0,88 |

Sumber : MKJI, 1997

- 3) Kolom (13), faktor penyesuaian kelandaian (FG) ditentukan dari gambar 3.6.

berikut sebagai fungsi dari kelandaian (*grad*)

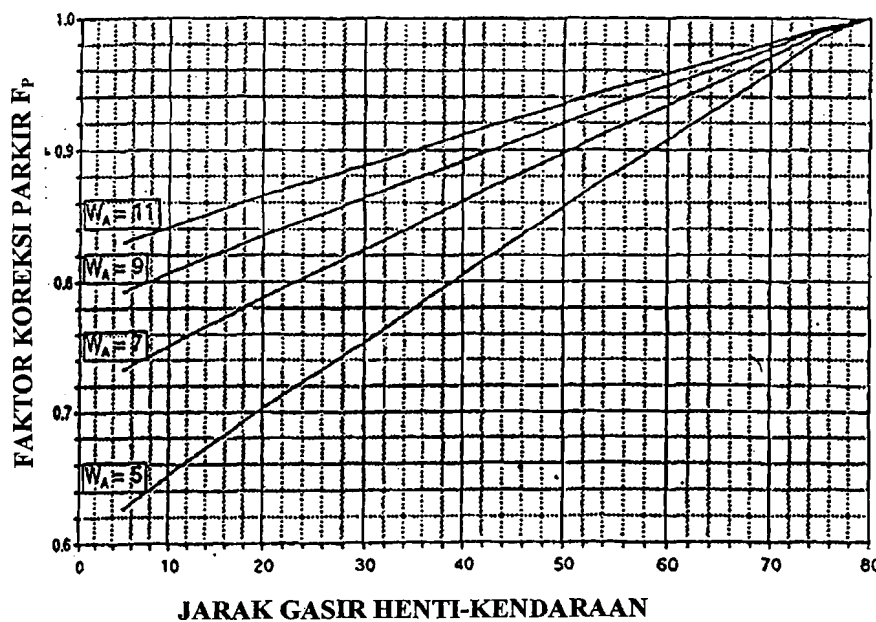


Gambar 3.6. Faktor penyesuaian untuk kelandaian (FG).

Sumber : MKJI, 1997

- 4) Kolom (14), faktor penyesuaian parkir (FP) fungsi jarak dari henti sampai

kendaraan yang diparkir pertama ditentukan dengan gambar 3.7. berikut.



Gambar 3.7. Faktor penyesuaian untuk pengaruh parkir dan lajur  
Belok kiri yang pendek ( $F_p$ )

Sumber : MKJI, 1997

- 5) Kolom (15), faktor penyesuaian belok kanan  $F_{RT}$  ditentukan sebagai rasio kendaraan belok kanan  $P_{RT}$ . Dihitung dengan menggunakan persamaan (3.19) berikut.

$$F_{RT} = 1,0 + P_{RT} \times 0,26 \quad (3.19)$$

dengan :

$F_{RT}$  = Faktor penyesuaian belok kanan.

$P_{RT}$  = Rasio belok kanan

- 6) Kolom (16), faktor penyesuaian belok kiri ( $F_{LT}$ ) ditentukan sebagai fungsi dari rasio belok kiri ( $P_{LT}$ ), dihitung dengan menggunakan persamaan (3.20) berikut.

$$F_{LT} = 1,0 - P_{LT} \times 0,16 \quad (3.20)$$

dengan :

$F_{LT}$  = Faktor penyesuai belok kiri

$P_{LT}$  = Rasio belok kiri.

- 7) Kolom (17), menghitung nilai arus jenuh ( $s$ ) yang disesuaikan dihitung dengan menggunakan persamaan (3.21) berikut.

$$S = S_0 \times F_{cs} \times F_p \times F_{RT} \times F_{LT} \text{ smp/jam hijau} \quad (3.21)$$

dengan :

$S$  = Arus jenuh (smp/jam hijau)

$S_0$  = Arus jenuh dasar (smp/jam hijau)

$F_{cs}$  = Faktor penyesuaian kota.

$F_{RT}$  = Faktor penyesuaian belok kanan

$F_{LT}$  = Faktor penyesuaian belok kiri.

#### C – 5 : Rasio Arus/Rasio.lenuh

- 1) Kolom (18), memasukkan arus lalu lintas  $Q$  yang disesuaikan dengan masing-masing pendekat.
- 2) Kolom (19), Perhitungan perbandingan arus ( $Q$ ) dengan arus jenuh ( $S$ ) untuk tiap *approach* dengan menggunakan persamaan (3.22) berikut.

$$FR = \frac{Q}{S} \quad (3.22)$$

dengan:

$FR$  = Rasio arus

$Q$  = Arus lalu lintas (smp/jam)

$S$  = Arus jenuh (smp/jam hijau)

- 3) Kolom (19), Perbandingan arus kritis ( $FR_{crit}$ ) yaitu nilai perbandingan arus tertinggi dalam tiap fase. Jika nilai perbandingan arus kritis untuk tiap fase dijumlahkan akan didapat arus jenuh persimpangan, hal ini dihitung dengan menggunakan persamaan (3.22) berikut.

$$IFR = \sum(FR_{crit}) \quad (3.23)$$

dengan :

IFR = Rasio arus simpang.

$\sum(FR_{crit})$  = Jumlah rasio arus kritis

- 4) Kolom (20), Perhitungan rasio fase (PR) untuk masing-masing fase menggunakan persamaan (3.23) berikut.

$$PR = \frac{FR_{crit}}{IFR} \quad (3.24)$$

dengan :

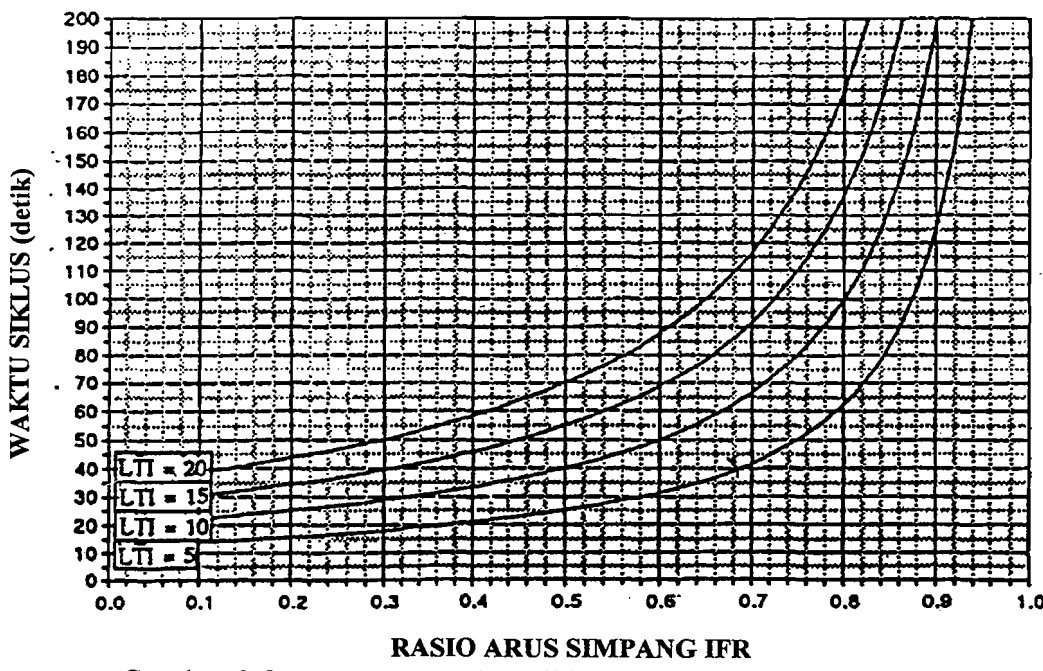
PR = Rasio fase

$FR_{crit}$  = Rasio arus kritis.

IFR = Rasio arus simpang

## C – 6 Waktu siklus dan waktu hijau

- 1) Waktu siklus sebelum penyesuaian dimasukkan kedalam bagian terbawah kolom 10 formulir SIG – IV. Dihitung dengan menggunakan persamaan (3.1) di depan, sedangkan waktu siklus sebelum penyesuaian dapat dilihat dari gambar 3.8. berikut.



Gambar 3.8. Penetapan waktu siklus sebelum penyesuaian.

Sumber : MKJI, 1997

- 2) Waktu hijau, dihitung dengan menggunakan persamaan (3.2) di depan, kemudian hasilnya dimasukkan ke dalam kolom (21).
- 3) Waktu siklus yang disesuaikan, hitung waktu hijau yang disesuaikan (c) berdaskan pada waktu hijau yang diperoleh yang telah dibulatkan dan waktu hilang LTI setelah itu masukkan hasilnya pada bagian terbawah kolom (10) dengan waktu siklus yang disesuaikan. Perhitungannya menggunakan persamaan (3.25) berikut.

$$c = \sum g + LTI \quad (3.25)$$

dengan :

$c$  = Waktu siklus (detik)

$\sum g$  = jumlah waktu hijau (detik)

LTI = Waktu hilang (detik)

## **Langkah D Kapasitas**

### **D – 1 : Kapasitas**

- 1) Kolom (22), hasil hitungan kapasitas masing-masing pendekat
- 2) Kolom (17), nilai arusjenuh (S)
- 3) Kolom (11), nilai waktu hijau (g) dan waktu siklus (c).
- 4) Kolom (23), hasil hitungan derajat kejemuhan masing-masing pendekat (DS).
- 5) Kolom (18) dan (22), nilai arus lalu lintas (Q) dan kapasitas (C).

### **D - 2 : Keperluan untuk perubahan**

- 1) Kolom (19), penambahan lebar pendekat, pengaruh terbaik dari ini akan diperoleh jika pelebaran dilakukan pada pendekat-pendekat dengan nilai FR kritis tertinggi.
- 2) Perubahan fase sinyal, jika pendekat dengan arus berangkat terlawan (tipe O) dan rasio belok kanan ( $P_{RT}$ ) tinggi menunjukkan nilai FR kritis  $>0,8$  suatu rencana fase alternatif dengan fase terpisah untuk lalu lintas belok kanan mungkin akan sesuai.
- 3) Pelarangan gerakan-gerakan belok kanan.

## **LANGKAH E : PERILAKU LALU LINTAS**

Langkah E meliputi penentuan tingkat kinerja dari simpang bersinyal dalam hal panjang antrian, jumlah kendaraan terhenti dan tundaan. Perhitungan-perhitungan dikerjakan dengan menggunakan Formulir SIG-IV.

### **E – 1 : Persiapan.**

- 1) Mengisi informasi-informasi yang diperlukan ke dalam judul dari

formulir SIG-V.

- 2) Memasukan kode-kode pendekat pada kolom 1 (sama seperti kolom 1 pada Formulir SIG-IV). Untuk pendekat dengan keberangkatan lebih dari satu fase hanya satu baris untuk gabungan fase yang dimasukkan.
- 3) Memasukkan arus lalu lintas (Q, smp/jam) untuk masing-masing pendekat pada kolom (2) dari kolom (22) pada formulir SIG-IV.
- 4) Memasukkan derajat kejemuhan (DS) untuk masing-masing pendekat pada kolom (4) dari formulir SIG-IV kolom (23).
- 5) Memasukkan rasio hijau (GR = g/c) untuk masing-masing pendekat dari hasil penyesuaian dan hasilnya dimasukkan pada kolom 5.
- 6) Memasukkan arus total dari seluruh gerakan LTOR dalam smp/jam yang diperoleh sebagai jumlah dari seluruh gerakan LTOR pada formulir SIG-V

#### **E – 2 : Panjang antrian**

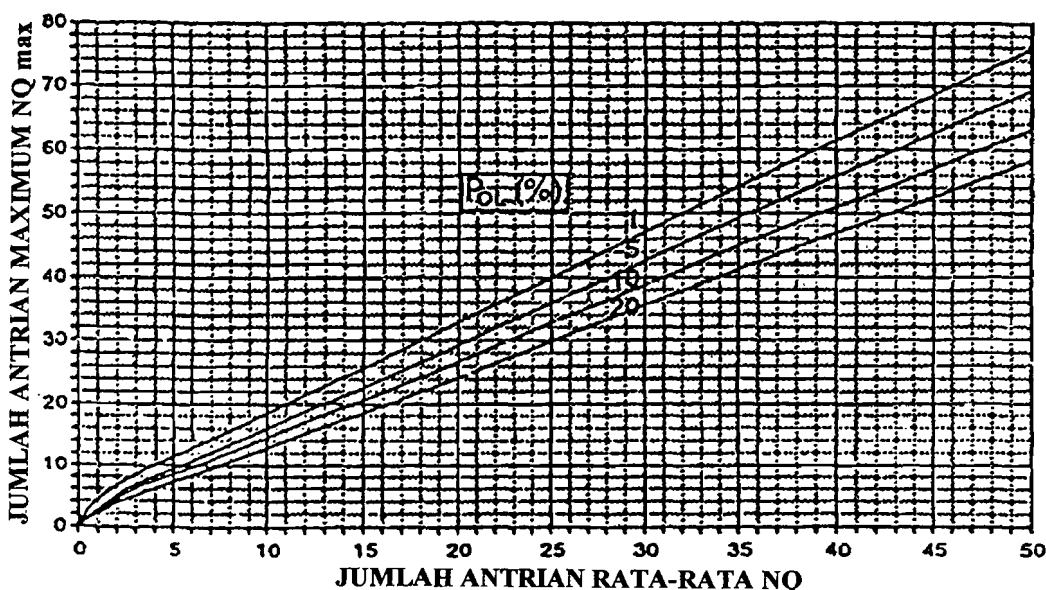
- 1) Dari hasil perhitungan derajat kejemuhan DS (kolom 5) untuk menghitung jumlah antrian smp (NQ1) yang tersisa dari fase sebelumnya dengan menggunakan persamaan (3.8) di depan, dan nilainya dimasukkan ke kolom (6).
- 2) Untuk menghitung jumlah antrian smp yang datang selama fase merah (NQ2) dapat dihitung dengan menggunakan persamaan (3.9) di depan, kemudian hasilnya dimasukkan ke kolom (7)
- 3) Untuk menghitung jumlah kendaraan antri total adalah dengan menjumlahkan kedua hasil di atas  $NQ = NQ1 + NQ2$  hasilnya dimasukkan



pada kolom (8).

- 4) Menggunakan gambar 3.8. dibawah, untuk menyesuaikan NQ dalam hal peluang yang diinginkan untuk terjadinya pembebanan lebih OL (%) dan basil nilai NQmax dimasukkan pada kolom (9). Untuk perencanaan disarankan POL < 5%, untuk operasi suatu nilai POL= 5-10% mungkin dapat diterima.
- 5) Menghitung panjang antrian QL dengan mengalikan NQmax dengan luas rata-rata yang dipergunakan per smp ( $20 \text{ m}^2$ ) kemudian dibagi dengan lebar masuknya, perhitungannya menggunakan persamaan (3.10) di depan dan hasilnya dimasukkan pada kolom 10.

**PELUANG UNTUK PEMBEBANAN LEBIH OL**



Gambar 3.9. Perhitungan jumlah antrian smp (Nqmax)

Sumber : MKJI, 1997

### E – 3 : Kendaran Terhenti

- 1) Menghitung laju henti (NS) untuk masing-masing pendekat yang

didefinisikan sebagai jumlah rata-rata berhenti per smp (termasuk berhenti berulang dalam antrian) dengan persamaan (3.11) di depan, NS adalah fungsi dari NQ kolom (8) dibagi dengan waktu siklus dan rasio hijau kolom (5), hasilnya dimasukkan pada kolom (11).

- 2) Menghitung jumlah kendaraan terhenti  $N_{sv}$  untuk masing-masing pendekat dan hasilnya dimasukkan pada kolom 12.

$$N_{sv} = Q \times NS \text{ (smp/jam)} \quad (3.26)$$

dengan :

$NS$  = Angka henti

$N_{sv}$  = Jumlah kendaraan terhenti (smp/jam)

$Q$  = Arus lalu lintas (smp/jam)

- 3) Menghitung laju henti rata-rata seluruh simpang dengan cara membagi jumlah kendaraan terhenti pada seluruh pendekat dengan arus simpang total  $q$  dalam kendaraan/jam, hasilnya dimasukkan di bagian terbawah kolom (12).

$$NSTot = \frac{\sum NSV}{QTOT} \quad (3.27)$$

dengan :

$NS \text{ tot}$  = Jumlah angka henti total (smp/jam)

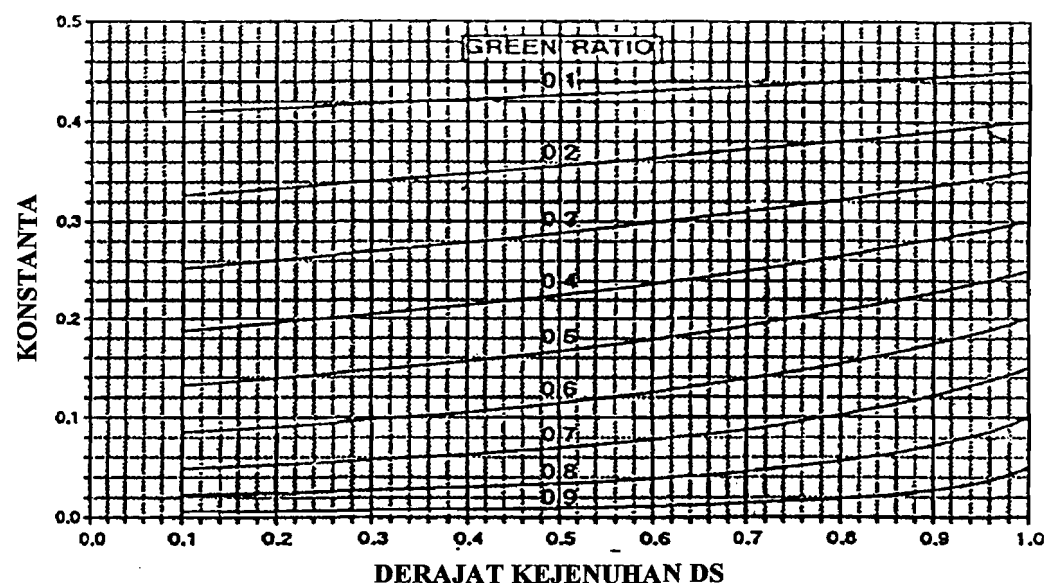
$\sum N_{sv}$  = Jumlah kendaraan terhenti (smp/jam)

$Qtot$  = Jumlah arus lalu lintas total ((smp/jam))

#### E – 4 : Tundaan

- 1) Menghitung untuk setiap pendekat lalu lintas rata-rata (DT) akibat pengaruh timbal balik dengan gerakan-gerakan lainnya pada simpang sebagai berikut

(berdasarkan pada Akcelik 1988), perhitungannya menggunakan persamaan (3.13) di depan dan hasilnya dimasukkan pada kolom (13). Untuk menentukan nilai konstanta A dapat dilakukan dengan menggunakan gambar 3.10. berikut.



Gambar 3.10. Penentuan tundaan lalu lintas rata-rata (DT)

Sumber : MKJI, 1997

- 2) Menghitung masing-masing pendekat tundaaan geometri rata-rata (DG) akibat perlambatan dan percepatan ketika menunggu giliran pada suatu simpang dan atau ketika dihentikan oleh lampu merah. Perhitungannya menggunakan persamaan (3.14) di depan dan hasilnya dimasukkan ke kolom (14).

## **BAB IV**

### **METODE PENELITIAN**

#### **4.1 Data yang Dibutuhkan**

Data yang diperlukan untuk analisis terdiri dari data primer yang berbentuk sebagai berikut :

1. Data geometri simpang terdiri dari
  - a. Lebar pendekat masing-masing lengan (WA)
  - b. Lebar Entry ( $W_{ENTRY}$ ) dan lebar Exit ( $W_{EXIT}$ )
  - c. Lebar lajur untuk bclok kiri ( $W_{LTOR} > R$ )
2. Data sinyal waktu siklus total
  - a. Waktu hijau pada masing-masing lengan
  - b. Waktu kuning pada masing-masing lengan
  - c. Jumlah fase.
3. Data arus lalu lintas

Data arus lalu lintas yang diamati yang diamati dibedakan menjadi empat jenis, yaitu :

- a. Kendaraan berat (*heavy vehicle*) : Bus Kota, Truk, Bus

- b. Kendaraan Ringan (*light vehicle*) : Mobil Pribadi, *Colt Box*.
- c. Kendaraan bermotor roda dua (*motor cycle*)
- d. Kendaraan tak bermotor (*unmotorized*): becak., sepeda, gerobak.

Arah arus lalu lintas yang diamati terdiri dari :

- 1). Arus belok kanan, dan arus lurus yang dilepas saat lampu hijau pada masing-masing lengan.
  - 2). Arus lalu lintas belok kiri dan LTOR
4. Data kendaraan tak bermotor, yaitu kendaraan dengan roda yang digerakkan oleh orang atau hewan, meliputi sepeda, becak, kereta kuda, dan kereta dorong. Dalam hal ini MKJI menggolongkan kendaraan tak bermotor ini dianggap sebagai unsur hambatan samping.
5. Data kendaraan yang melewati Gg. Selokan Mataram dilakukan penyederhanaan yaitu untuk kendaraan yang masuk dari barat dianggap kendaraan dari barat menuju timur, kendaraan yang berasal dari selatan dianggap kendaraan dari selatan menuju timur, kendaraan dari timur dianggap dari timur menuju utara, kendaraan dari utara dianggap kendaraan dari utara menuju timur. Kendaraan yang keluar dari Gg. Selokan Mataram menuju barat dianggap kendaraan dari timur menuju barat, kendaraan menuju selatan dianggap kendaraan dari timur menuju selatan, kendaraan menuju timur dianggap kendaraan dari utara menuju timur, dan kendaraan yang menuju utara dianggap kendaraan dari timur menuju utara.

Data lain yang dibutuhkan adalah data sekunder yaitu jumlah penduduk kota sebagai faktor penyesuaian untuk ukuran kota yang didapat dari Biro Pusat

Statistik Propinsi Daerah Istimewa Yogyakarta.

#### **4.2 Alat yang Digunakan**

Alat yang digunakan untuk pengukuran arus lalu lintas

- a. Counter
- b. Formulir survei, digunakan untuk merekam data asli hasil pengamatan
- c. Pita ukur (meteran), digunakan untuk mengukur geometri jalan.
- d. Alat tulis dan peralatan tulis
- e. Petunjuk dan pengukur waktu (arloji dan stop watch)

#### **4.3 Pelaksanaan Penelitian**

##### **1. Waktu**

Dilaksanakan pada minggu untuk mewakili hari libur dan hari senin untuk mewakili hari kerja yang masing-masing meliputi 2 ( dua ) sesi Yaitu :

- a. Pukul 06.30 -- 08.30
- b. Pukul 11.30 -13.30

##### **2. Cara penelitian**

- a. Dengan interval waktu 15 menit dilakukan pencatatan semua jenis kendaraan yang keluar simpang dari masing-masing lengan.
- b. Pencatatan waktu siklus selama periode pengamatan yang terdiri dari waktu siklus total, waktu kuning, dan waktu hijau pada setiap lengan.
- c. Setelah selesai pencatatan data, kemudian data lapangan arus lalu lintas tersebut direkapitulasi secara manual.
- d. Diambil data lalu lintas satu jam sibuk pada setiap periode

pengamatan untuk masing-masing lengan.

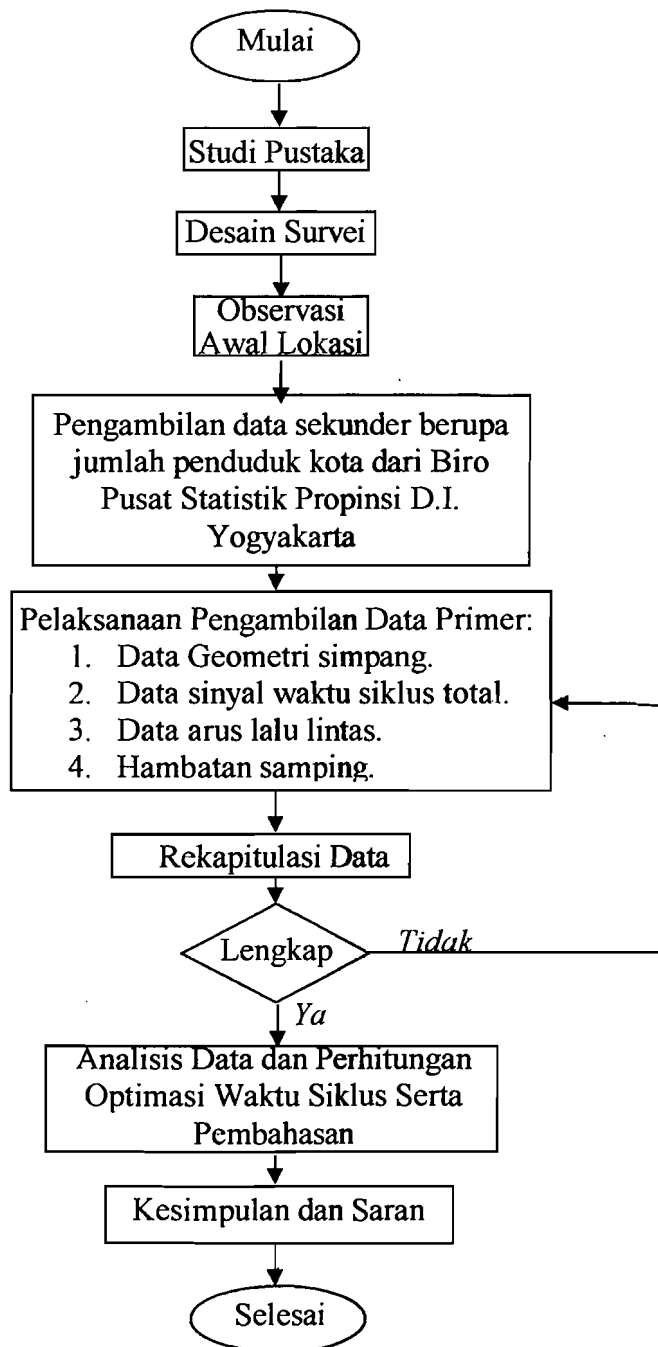
- e. Pelaksanaan pengambilan data arus lalu lintas selesai, selanjutnya dilakukan pengukuran geometri simpang.
- f. Pelaksanaan analisis data dan perhitungan optimasi waktu siklus serta pembahasan berdasarkan ketentuan-ketentuan menurut MKJI 1997 dan pemakaian Software KAJI versi 1.10.

### 3. Lokasi Penelitian

Lokasi penelitian dilakukan di simpang empat simpang empat MM UGM Yogyakarta.

#### 4.4 Tahapan Penelitian

Pelaksanaan penelitian pada simpang bersinyal ini terdiri dari beberapa tahapan, mulai dari awal hingga mendapatkan laporan hasil penelitian. Penjelasan mengenai urutan yang dilalui dapat dilihat pada gambar 4.1. berikut.



Gambar 4.1 Bagan alir penelitian

## **BAB V**

### **ANALISIS DAN PERHITUNGAN OPTIMASI WAKTU SIKLUS**

### **SERTA PEMBAHASAN**

#### **5.1. Data Hasil Pengukuran**

##### **5.1.1. Geometri Simpang**

Dalam penelitian ini disajikan kasus-kasus di lapangan yaitu kasus-kasus dengan data asumsi yang ditetapkan untuk mengetahui pengaruh faktor-faktor kondisi simpang bersinyal terhadap lalu lintas. Kondisi simpang bersinyal ( pada Simpang Empat MM. UGM Yogyakarta terdiri dari empat lengan dengan lengan Timur dan Barat bermedian (*divider*), lengan Utara dan Selatan tak bermedian (*undivider*).

Data aktual penelitian di lapangan pada Simpang Empat MM. UGM Yogyakarta antara lain sebagai berikut:

1. Tipe lingkungan komersial (COM), untuk semua lengan.
2. Lengan Timur dan Barat menggunakan median (*divider*), sedangkan lengan Utara dan Selatan tidak menggunakan median
3. Arus belok kiri terus tanpa mengikuti pengatur lalu lintas, kecuali lengan

Selatan, Timur dan Barat.

4. Tipe arus lalu lintas tidak satu arah.
5. Lebar pendekat ( $W_A$ ), lebar masuk ( $W_{ENTRY}$ ), lebar keluar ( $W_{EXIT}$ ), (belok kiri ( $W_{LTOR}$ ) setiap lengan

Pengukuran geometri simpang langsung dilakukan di lapangan dengan hasil dapat dilihat pada Tabel 5.1. berikut. Dan gambar geometri simpang lebih jelas pada lampiran 1.1.

Tabel 5.1. Data geometri simpang empat MM UGM

| Pendekat | Tipe | Hambatan Samping | Median | $W_A$ (m) | $W_{ENTRY}$ (m) | $W_{LTOR}$ (m) | $W_{EXIT}$ (m) |
|----------|------|------------------|--------|-----------|-----------------|----------------|----------------|
| Utara    | Com  | Sedang           | Tidak  | 5,50      | 2,50            | 3,00           | 6,10           |
| Timur    | Com  | Sedang           | Ya     | 6,20      | 6,20            | -              | 4,20           |
| Selatan  | Com  | Rendah           | Tidak  | 6,00      | 6,00            | -              | 5,70           |
| Barat    | Com  | Rendah           | Ya     | 6,20      | 6,20            | -              | 6,20           |

Sumber: Pengukuran dilapangan, 2003.

### 5.1.2. Waktu Siklus

Pada Simpang Empat MM. UGM Yogyakarta pengaturan fase lalu lintas adalah menggunakan 4 fase, dengan arus lalu lintas sebagai pendekat terlindung (*protected*) yang berurutan menurut arah jarum jam. Arus belok kiri diatur jalan terus saat lampu merah pada lengan Utara. Besarnya waktu hijau, kuning dan semua merah pada masing-masing lengan dapat dilihat pada Tabel 5.2. dan 5.3. berikut.

Tabel 5.2. Waktu siklus pagi (06.30-08.30)

| Pendekat | Hijau (dtk) | Kuning (dtk) | Merah semua (dtk) | Waktu siklus (dtk) |
|----------|-------------|--------------|-------------------|--------------------|
| Utara    | 52          | 2,5          | 4                 | 162                |
| Timur    | 26          | 2,5          | 4                 | 162                |
| Selatan  | 32          | 2,5          | 4                 | 162                |
| Barat    | 26          | 2,5          | 4                 | 162                |

Sumber : Pengukuran dilapangan, 2003

Tabel 5.3. Waktu siklus siang (11.30-13.30)

| Pendekat | Hijau<br>(dtk) | Kuning<br>(dtk) | Merah semua<br>(dtk) | Waktu siklus<br>(dtk) |
|----------|----------------|-----------------|----------------------|-----------------------|
| Utara    | 50             | 2,5             | 4                    | 157                   |
| Timur    | 25             | 2,5             | 4                    | 157                   |
| Selatan  | 31             | 2,5             | 4                    | 157                   |
| Barat    | 25             | 2,5             | 4                    | 157                   |

Sumber : Pengukuran dilapangan, 2003

Pemakaian waktu siklus pada simpang empat MM UGM aktual dilapangan menunjukkan ada perbedaan antara waktu siklus pagi dan siang hari. Cara pengambilan data waktu hijau disesuaikan dengan jam survey baik pagi maupun siang hari, dan untuk waktu kuning dan merah semua dilakukan pada malam hari agar perbedaan waktu yang digunakan jelas oleh penglihatan mata.

### 5.1.3. Kondisi Arus Kendaraan

Berdasarkan hasil analisis data survey yang dilakukan pada hari Minggu dan hari Senin didapatkan jam puncak pagi berada pada jam 06.45 – 07.45 sedangkan jam puncak siang berada pada jam 12.30-13.30. Hasil analisis jam puncak tersebut dapat dilihat pada Tabel 5.4. berikut.

Tabel 5.4. Volume kendaraan jam puncak

| Hari/Tanggal       | Jam Puncak          | Volume (smp/jam) |          |
|--------------------|---------------------|------------------|----------|
|                    |                     | Terlindung       | Terlawan |
| Minggu, 19-10-2003 | 06.45-07.45 (pagi)  | 1636             | 2162     |
|                    | 12.30-13.30 (siang) | 2049             | 2681     |
| Senin, 20-10-2003  | 06.45-07.45 (pagi)  | 2906             | 4070     |
|                    | 12.30-13.30 (siang) | 2836             | 3926     |

Sumber: Analisis KAJI, 2003

### 5.1.4. Faktor Penyesuaian

Penentuan faktor penyesuaian yang di ambil pada tahapan perhitungan optimasi terdiri dari:

1. Faktor penyesuaian ukuran kota (Fcs) diambil dari jumlah penduduk D.I.

Yogyakarta sejumlah 0,51 juta dan di dapat nilai  $F_{Cs}$  adalah 0,94 dari Tabel 3.7. data jumlah penduduk dapat dilihat pada lampiran 6.

2. Faktor penyesuaian hambatan samping ( $F_{Sf}$ ), berdasarkan pengamatan dilapangan simpang empat MM UGM berada pada lingkungan komersial dengan hambatan samping berdasarkan perhitungan frekwensi berbobot kejadian adalah lengan Utara sedang, lengan Timur sedang, lengan Selatan rendah, dan lengan Barat rendah. Perhitungan untuk nilai hambatan samping dapat dilihat pada lampiran 7.1-7.2
3. Faktor penyesuaian kelandaian ( $F_G$ ), kelandaian pada simpang empat MM UGM ini dianggap datar dengan nilai  $F_G$  adalah 1,0. Berdasarkan gambar 3.6.
4. Faktor penyesuaian parkir ( $F_P$ ), untuk faktor penyesuaian parkir diambil nilai 1,0.
5. Faktor penyesuaian belok kanan ( $F_{RT}$ ), untuk faktor penyesuaian belok kanan diambil berdasarkan rasio belok kanan dan berbeda untuk masing-masing lengan nilainya dihitung dengan persamaan 3.19.
6. Faktor penyesuaian belok kiri ( $F_{LT}$ ), nilainya dihitung dengan persamaan 3.20 dan memiliki perbedaan untuk masing-masing lengan.

## 5.2. Perhitungan Evaluasi Kinerja Simpang

Perhitungan evaluasi kinerja simpang ini dilakukan untuk mengetahui karakteristik dan kinerja simpang yang terjadi dengan data aktual dilapangan baik geometri, waktu sinyal, fase, dan volume lalu lintas yang tersedia. Perhitungan evaluasi ini dilakukan pada jam puncak pagi dan siang, hasil perhitungan evaluasi

terhadap jam puncak tersebut dapat dilihat pada Tabel 55 berikut.

Tabel 55. Hasil evaluasi kinerja simpang dengan waktu siklus aktual di lapangan

| Hari         | Lengan  | Arus jenuh<br>(smp/jam) | Waktu<br>siklus<br>(detik) | Waktu<br>hijau<br>(detik) | Kapasitas<br>(smp/jam) | Derajat<br>jenuh | Panjang<br>antrian<br>(m) | Tundaan<br>(det/smp) |
|--------------|---------|-------------------------|----------------------------|---------------------------|------------------------|------------------|---------------------------|----------------------|
| Minggu Pagi  | Utara   | 1374                    | 162                        | 52,0                      | 441                    | 1,122            | 608                       | 318,5                |
|              | Selatan | 3214                    | 162                        | 32,0                      | 635                    | 0,578            | 70                        | 63,43                |
|              | Timur   | 3139                    | 162                        | 26,0                      | 504                    | 0,853            | 94                        | 86,33                |
|              | Barat   | 2956                    | 162                        | 26,0                      | 474                    | 0,276            | 23                        | 63,78                |
| Minggu Siang | Utara   | 1357                    | 157                        | 50,0                      | 432                    | 1,324            | 1136                      | 670,8                |
|              | Selatan | 3242                    | 157                        | 31,0                      | 640                    | 1,088            | 300                       | 257,3                |
|              | Timur   | 3139                    | 157                        | 25,0                      | 500                    | 0,820            | 84                        | 80,16                |
|              | Barat   | 2994                    | 157                        | 25,0                      | 477                    | 0,260            | 23                        | 61,89                |
| Senin Pagi   | Utara   | 1400                    | 162                        | 52,0                      | 449                    | 2,416            | 5192                      | 2730                 |
|              | Selatan | 3161                    | 162                        | 32,0                      | 624                    | 0,941            | 147                       | 100,8                |
|              | Timur   | 3174                    | 162                        | 26,0                      | 509                    | 1,077            | 226                       | 251,9                |
|              | Barat   | 2953                    | 162                        | 26,0                      | 474                    | 0,538            | 48                        | 67,10                |
| Senin Siang  | Utara   | 1376                    | 157                        | 50,0                      | 438                    | 1,651            | 2104                      | 1266                 |
|              | Selatan | 3204                    | 157                        | 31,0                      | 633                    | 1,355            | 723                       | 726,2                |
|              | Timur   | 3150                    | 157                        | 25,0                      | 502                    | 1,066            | 206                       | 233,9                |
|              | Barat   | 3040                    | 157                        | 25,0                      | 484                    | 0,849            | 87                        | 84,41                |

Sumber : Hasil analisis KAJI, 2003

Pemakaian waktu siklus dilapangan pada kondisi sekarang adalah tidak sama antara pagi dan siang yakni 157 detik untuk siang dan 162 detik untuk pagi hari, waktu yang telah diterapkan dilapangan juga tidak sesuai yang disarankan oleh MKJI yakni untuk 4 fase antara 80 – 130 detik, untuk itu perlu diadakan optimasi waktu siklus dengan melihat kondisi lalu lintas yang ada saat ini.

Derajat kejemuhan yang diperoleh dari hasil evaluasi adalah besar sekali terutama pada Senin pagi yakni 2,416 jauh dari yang disarankan <0,85 sehingga mengakibatkan antrian yang panjang yakni sebesar 5192 m dan tundaan sebesar 2730 dtk/kend. Hasil perhitungan secara teoritis sangat berbeda sekali dengan kenyataan yang ada di lapangan atau dengan kata lain panjangnya antrian yang terjadi di lapangan akan jauh lebih kecil dari pada secara teoritis. Hal ini

dikarenakan lebar jalan untuk  $L_{TOR}$  ikut dipakai untuk antrian bagi kendaraan yang berjalan lurus ataupun belok kanan sehingga kenyataannya panjang antrian yang terjadi yang seharusnya memanjang akan berubah melebar yang mengakibatkan kapasitas jalan menjadi lebih besar sementara antian menjadi lebih pendek.

### 5.3. Penghitungan Optimasi Waktu Siklus

#### 5.3.1 Optimasi berdasarkan jarak kendaraan datang – berangkat ke titik konflik

Penghitungan optimasi waktu siklus ini dilakukan untuk mendapatkan waktu siklus yang sesuai berdasarkan volume lalu lintas yang ada. Perhitungan optimasi waktu siklus di dasarkan pada jarak kendaraan datang dan berangkat ke titik konflik untuk menentukan nilai lama lampu merah semua (*all red*) dan mengambil lama nyala kuning (*amber time*) dengan nilai normal yaitu 3 detik tanpa melakukam perubahan geometri dari simpang tersebut. Gambar geometrik untuk optimasi ini dapat dilihat pada lampiran 1.4 dan hasil perhitungan dapat dilihat pada Tabel 5.6 berikut.

Tabel 5.6 Hasil optimasi waktu siklus berdasarkan jarak kendaraan datang – berangkat ke titik konflik

| Hari         | Lengan  | Arus jenuh (smp/jam) | Waktu siklus (detik) | Waktu hijau (detik) | Kapasitas (smp/jam) | Derajat jenuh | Panjang antrian (m) | Tundaan (det/smp) |
|--------------|---------|----------------------|----------------------|---------------------|---------------------|---------------|---------------------|-------------------|
| Minggu Pagi  | Utara   | 1374                 | 93                   | 39                  | 576                 | 0,859         | 152                 | 43,57             |
|              | Selatan | 3214                 | 93                   | 13                  | 449                 | 0,817         | 50                  | 56,24             |
|              | Timur   | 3139                 | 93                   | 15                  | 506                 | 0,850         | 58                  | 57,57             |
|              | Barat   | 2956                 | 93                   | 10                  | 318                 | 0,412         | 13                  | 42,79             |
| Minggu Siang | Utara   | 1357                 | 158                  | 72                  | 618                 | 0,926         | 312                 | 72,09             |
|              | Selatan | 3242                 | 158                  | 37                  | 759                 | 0,917         | 160                 | 83,91             |
|              | Timur   | 3139                 | 158                  | 23                  | 457                 | 0,897         | 94                  | 96,94             |
|              | Barat   | 3000                 | 158                  | 10                  | 190                 | 0,668         | 26                  | 85,85             |

### *Sambungan*

|             |         |      |     |     |     |       |      |       |
|-------------|---------|------|-----|-----|-----|-------|------|-------|
| Senin Pagi  | Utara   | 1400 | 304 | 181 | 836 | 1,298 | 3232 | 660,7 |
|             | Selatan | 3161 | 304 | 44  | 459 | 1,272 | 550  | 662,4 |
|             | Timur   | 3174 | 304 | 41  | 429 | 1,277 | 494  | 662,7 |
|             | Barat   | 2953 | 304 | 21  | 205 | 1,244 | 233  | 634,8 |
| Senin Siang | Utara   | 1376 | 301 | 136 | 622 | 1,162 | 1376 | 413,4 |
|             | Selatan | 3204 | 301 | 70  | 745 | 1,152 | 630  | 417,4 |
|             | Timur   | 3150 | 301 | 44  | 460 | 1,163 | 390  | 457,4 |
|             | Barat   | 3037 | 301 | 35  | 353 | 1,153 | 294  | 453,3 |

Sumber : Hasil analisis KAJI, 2003

Hasil optimasi di atas menunjukkan waktu siklus untuk pagi Minggu sudah memenuhi waktu yang disarankan, sementara waktu siklus untuk Minggu siang, Senin pagi Senin siang belum sesuai yang disarankan. Akan tetapi kapasitas simpang menjadi lebih besar dari 449 menjadi 836 smp/jam, derajat kejemuhan berkurang dari 2,416 menjadi 1,298, antrian semakin pendek dari 5192 m menjadi 3232 m, dan tundaannya 2730 dtk/kend menjadi dtk 660,7/kend. Tampilan KAJI perhitungan ini dapat dilihat pada CD dengan nama file ROPTIM.

### **5.3.2 Optimasi Skenario I**

Optimasi skenario I dilakukan dengan meniadakan  $L_{TOR}$  pada lengan Utara sehingga lebar pendekat sama dengan lebar  $W_{MASUK}$ . Pada perhitungan ini nilai *all red* dan *amber time* sama dengan nilai pada perhitungan optimasi waktu siklus berdasarkan kendaraan berangkat dan datang diatas. Perubahan pada ukuran lebar simpang tersebut dapat dilihat pada Tabel 5.7, Gambar geometrik untuk optimasi ini dapat dilihat pada lampiran 1.5 dan hasil analisis pada Tabel 5.8 berikut.

Tabel 5.7. Data geometri simpang skenario I

| Pendekat | Tipe | Hambatan Samping | Median | $W_A$ (m) | $W_{ENTRY}$ (m) | $W_{LTOR}$ (m) | $W_{EXIT}$ (m) |
|----------|------|------------------|--------|-----------|-----------------|----------------|----------------|
| Utara    | Com  | Sedang           | Tidak  | 5,50      | 5,50            | -              | 6,10           |
| Timur    | Com  | Sedang           | Ya     | 6,20      | 6,20            | -              | 4,20           |
| Selatan  | Com  | Rendah           | Tidak  | 6,00      | 6,00            | -              | 5,70           |
| Barat    | Com  | Rendah           | Ya     | 6,20      | 6,20            | -              | 6,20           |

Sumber: Optimasi waktu siklus alternatif I

Tabel 5.8. Hasil optimasi waktu siklus skenario I

| Hari         | Lengan  | Arus jenuh (smp/jam) | Waktu siklus (detik) | Waktu hijau (detik) | Kapasitas (smp/jam) | Derajat jenuh | Panjang antrian (m) | Tundaan (det/smp) |
|--------------|---------|----------------------|----------------------|---------------------|---------------------|---------------|---------------------|-------------------|
| Minggu Pagi  | Utara   | 2878                 | 72                   | 22                  | 879                 | 0,805         | 33,26               | 33,26             |
|              | Selatan | 3214                 | 72                   | 11                  | 491                 | 0,747         | 40,19               | 40,19             |
|              | Timur   | 3139                 | 72                   | 13                  | 567                 | 0,758         | 38,69               | 38,69             |
|              | Barat   | 2956                 | 72                   | 10                  | 411                 | 0,319         | 31,97               | 31,97             |
| Minggu Siang | Utara   | 2840                 | 100                  | 33                  | 937                 | 0,874         | 124                 | 46,37             |
|              | Selatan | 3242                 | 100                  | 25                  | 811                 | 0,858         | 97                  | 50,47             |
|              | Timur   | 3139                 | 100                  | 15                  | 471                 | 0,870         | 61                  | 65,68             |
|              | Barat   | 3000                 | 100                  | 10                  | 300                 | 0,423         | 16                  | 46,28             |
| Senin Pagi   | Utara   | 2941                 | 301                  | 152                 | 1485                | 1,021         | 800                 | 150,1             |
|              | Selatan | 3161                 | 301                  | 55                  | 578                 | 1,016         | 297                 | 218,7             |
|              | Timur   | 3174                 | 301                  | 51                  | 538                 | 1,019         | 271                 | 226,9             |
|              | Barat   | 2953                 | 301                  | 26                  | 255                 | 1,000         | 132                 | 254,2             |
| Senin Siang  | Utara   | 2881                 | 302                  | 109                 | 1040                | 0,992         | 505                 | 148,9             |
|              | Selatan | 3204                 | 302                  | 82                  | 870                 | 0,986         | 387                 | 162,4             |
|              | Timur   | 3150                 | 302                  | 52                  | 542                 | 0,987         | 245                 | 194,2             |
|              | Barat   | 3040                 | 302                  | 42                  | 423                 | 0,972         | 187                 | 196,6             |

Sumber : Hasil analisis KAJI, 2003

Hasil optimasi pada skenario I menunjukkan waktu siklus untuk Minggu pagi, Minggu siang dan sudah memenuhi waktu yang disarankan, sementara waktu siklus untuk Senin pagi Senin siang belum sesuai yang disarankan. Akan tetapi kapasitas simpang menjadi lebih besar dari 836 menjadi 1485 smp/jam, derajat kejemuhan berkurang dari 1,298 menjadi 1,021, antrian semakin pendek dari 3232 m menjadi 800 m, dan tundaannya 660,7 dtk/kend menjadi lebih kecil yaitu

CD dengan nama file NLTOR..

#### 5.3.4 Optimasi Skenario II

Optimasi skenario II dilakukan dengan penambahan lebar pada semua lengan dan hanya menyisakan 1 m untuk trotoar pada lengan Utara dan lengan Selatan pada kedua sisinya sebesar 1 m, dan untuk lengan Timur dan Barat dilakukan penambahan sebesar 2 m untuk kedua sisi lengan. Teknis pelaksanaan dilapangan untuk lengan Timur dan Barat pada sisi Selatan dengan memindahkan pagar pedestrian sebesar 2 m ke arah Selatan kemudian menutup saluran drainasenya dengan plat beton, dan untuk sisi utaranya dengan menambah selebar 2 m dengan menutup saluran drainase jalannya dan untuk ijin terlebih dahulu bisa diajukan ke Dinas Pengairan dan Irigasi. Pada perhitungan ini nilai *all red* dan *amber time* sama dengan nilai pada perhitungan optimasi waktu siklus berdasarkan kendaraan berangkat - datang dan meniadankan L<sub>TOR</sub> pada semua lengan. Perubahan pada ukuran lebar simpang tersebut dapat dilihat pada Tabel 5.9., dan hasil analisis pada Tabel 5.10 berikut.

Tabel 5.9 . Data geometri simpang skenario II

| Pendekat | Tipe | Hambatan<br>Samping | Median | W <sub>A</sub><br>(m) | W <sub>ENTRY</sub><br>(m) | W <sub>LTOR</sub><br>(m) | W <sub>EXII</sub><br>(m) |
|----------|------|---------------------|--------|-----------------------|---------------------------|--------------------------|--------------------------|
| Utara    | Com  | Sedang              | Tidak  | 6,50                  | 6,50                      | -                        | 7,10                     |
| Timur    | Com  | Sedang              | Ya     | 8,20                  | 8,20                      | -                        | 6,20                     |
| Selatan  | Com  | Rendah              | Tidak  | 7,00                  | 7,00                      | -                        | 6,90                     |
| Barat    | Com  | Rendah              | Ya     | 8,20                  | 8,20                      | -                        | 8,20                     |

Sumber: Optimasi waktu siklus alternatif II

Tabel 5.10 Hasil optimasi waktu siklus skenario II

| Hari         | Lengan  | Arus jenuh (smp/jam) | Waktu siklus (detik) | Waktu hijau (detik) | Kapasitas (smp/jam) | Derajat jenuh | Panjang antrian (m) | Tundaan (det/smp) |
|--------------|---------|----------------------|----------------------|---------------------|---------------------|---------------|---------------------|-------------------|
| Minggu Pagi  | Utara   | 3401                 | 64                   | 18                  | 957                 | 0,740         | 52                  | 28,18             |
|              | Selatan | 3749                 | 64                   | 10                  | 586                 | 0,626         | 26                  | 31,00             |
|              | Timur   | 4152                 | 64                   | 10                  | 649                 | 0,663         | 27                  | 32,05             |
|              | Barat   | 3909                 | 64                   | 10                  | 611                 | 0,214         | 7                   | 27,62             |
| Minggu Siang | Utara   | 3357                 | 76                   | 23                  | 1016                | 0,806         | 74                  | 33,81             |
|              | Selatan | 3781                 | 76                   | 17                  | 846                 | 0,823         | 63                  | 39,51             |
|              | Timur   | 4152                 | 76                   | 10                  | 546                 | 0,751         | 32                  | 42,35             |
|              | Barat   | 3960                 | 76                   | 10                  | 521                 | 0,238         | 7                   | 33,59             |
| Senin Pagi   | Utara   | 3475                 | 143                  | 69                  | 1677                | 0,904         | 252                 | 46,49             |
|              | Selatan | 3687                 | 143                  | 26                  | 670                 | 0,876         | 100                 | 76,16             |
|              | Timur   | 4198                 | 143                  | 21                  | 616                 | 0,890         | 83                  | 82,70             |
|              | Barat   | 3906                 | 143                  | 11                  | 300                 | 0,850         | 41                  | 94,76             |
| Senin Siang  | Utara   | 3405                 | 126                  | 43                  | 1162                | 0,888         | 160                 | 53,38             |
|              | Selatan | 3738                 | 126                  | 33                  | 979                 | 0,876         | 126                 | 59,07             |
|              | Timur   | 4166                 | 126                  | 19                  | 628                 | 0,852         | 71                  | 69,12             |
|              | Barat   | 4016                 | 126                  | 15                  | 478                 | 0,851         | 56                  | 75,18             |

Sumber : Hasil analisis KAJI, 2003

Hasil optimasi skenario II menunjukkan waktu siklus untuk Minggu pagi, Minggu siang sudah memenuhi waktu yang disarankan, sementara waktu siklus untuk Senin pagi Senin dan siang belum sesuai yang disarankan. Akan tetapi kapasitas simpang menjadi lebih besar dari 1485 menjadi 1677 smp/jam, derajat kejemuhan berkurang dari 1,021 menjadi 0,904, antrian semakin pendek dari 800 m menjadi 252 m, dan tundaannya 150,1 dtk/kend menjadi 46,49 dtk/kend.

#### 5.4. Tingkat Pelayanan

Tingkat pelayanan pada simpang bersinyal ditentukan berdasarkan tundaan yang terjadi pada setiap pendekat. Hasil hubungan antara tundaan dan tingkat pelayanan pada simpang empat MM UGM ditampilkan pada Tabel 5.11 – 5.14. berikut.

Tabel 5.11. Tingkat pelayanan evaluasi kinerja simpang dengan waktu siklus aktual di lapangan

| Hari         | Lengan                       | Waktu Siklus (detik) | Tundaan simpang rata-rata (det/smp) | LOS |
|--------------|------------------------------|----------------------|-------------------------------------|-----|
| Minggu Pagi  | Utara, Selatan, Timur, Barat | 162                  | 139,17                              | F   |
| Minggu siang | Utara, Selatan, Timur, Barat | 157                  | 295,20                              | F   |
| Senin pagi   | Utara, Selatan, Timur, Barat | 162                  | 1094                                | F   |
| Senin Siang  | Utara, Selatan, Timur, Barat | 157                  | 599,61                              | F   |

Sumber : Hasil analisis KAJI, 2003

Tabel 5.12. Tingkat pelayanan hasil optimasi waktu siklus berdasarkan berdasarkan jarak kendaraan datang – berangkat ke titik konflik

| Hari         | Lengan                       | Waktu Siklus (detik) | Tundaan simpang rata-rata (det/smp) | LOS |
|--------------|------------------------------|----------------------|-------------------------------------|-----|
| Minggu Pagi  | Utara, Selatan, Timur, Barat | 93                   | 45,14                               | E   |
| Minggu siang | Utara, Selatan, Timur, Barat | 158                  | 73,96                               | F   |
| Senin pagi   | Utara, Selatan, Timur, Barat | 304                  | 567,85                              | F   |
| Senin Siang  | Utara, Selatan, Timur, Barat | 301                  | 384,49                              | F   |

Sumber : Hasil analisis KAJI, 2003

Tabel 5.13. Tingkat pelayanan hasil optimasi waktu siklus skenario I

| Hari         | Lengan                       | Waktu Siklus (detik) | Tundaan simpang rata-rata (det/smp) | LOS |
|--------------|------------------------------|----------------------|-------------------------------------|-----|
| Minggu Pagi  | Utara, Selatan, Timur, Barat | 72                   | 36,14                               | D   |
| Minggu siang | Utara, Selatan, Timur, Barat | 100                  | 51,61                               | E   |
| Senin pagi   | Utara, Selatan, Timur, Barat | 301                  | 187,63                              | F   |
| Senin Siang  | Utara, Selatan, Timur, Barat | 302                  | 168,50                              | F   |

Sumber : Hasil analisis KAJI, 2003

dapat dilihat pada Tabel 5.12 berikut.

Tabel 5.12. Hasil optimasi waktu siklus skenario IV

| Hari         | Lengan  | Arus jenuh (smp/jam) | Waktu siklus (detik) | Waktu hijau (detik) | Kapasitas (smp/jam) | Derajat jenuh | Panjang antrian (m) | Tundaan (det/smp) |
|--------------|---------|----------------------|----------------------|---------------------|---------------------|---------------|---------------------|-------------------|
| Minggu Pagi  | Utara   | 3401                 | 162                  | 53                  | 1092                | 0,648         | 120                 | 52,30             |
|              | Selatan | 3749                 | 162                  | 32                  | 741                 | 0,495         | 57                  | 61,24             |
|              | Timur   | 4152                 | 162                  | 26                  | 666                 | 0,646         | 63                  | 69,86             |
|              | Barat   | 3909                 | 162                  | 26                  | 627                 | 0,209         | 17                  | 63,11             |
| Minggu Siang | Utara   | 3357                 | 157                  | 50                  | 1069                | 0,766         | 142                 | 55,78             |
|              | Selatan | 3782                 | 157                  | 31                  | 747                 | 0,932         | 140                 | 91,24             |
|              | Timur   | 4152                 | 157                  | 25                  | 661                 | 0,620         | 59                  | 67,32             |
|              | Barat   | 3960                 | 157                  | 25                  | 631                 | 0,197         | 17                  | 61,29             |
| Senin Pagi   | Utara   | 3475                 | 162                  | 52                  | 1115                | 1,360         | 1218                | 725,2             |
|              | Selatan | 3687                 | 162                  | 32                  | 728                 | 0,806         | 106                 | 73,43             |
|              | Timur   | 4198                 | 162                  | 26                  | 674                 | 0,813         | 85                  | 78,31             |
|              | Barat   | 3906                 | 162                  | 26                  | 627                 | 0,407         | 34                  | 65,06             |
| Senin Siang  | Utara   | 3405                 | 157                  | 50                  | 1084                | 0,952         | 218                 | 80,73             |
|              | Selatan | 3738                 | 157                  | 31                  | 738                 | 1,163         | 409                 | 380,9             |
|              | Timur   | 4166                 | 157                  | 25                  | 663                 | 0,807         | 80                  | 76,08             |
|              | Barat   | 4020                 | 157                  | 25                  | 640                 | 0,642         | 59                  | 68,04             |

Sumber : Hasil analisis KAJI, 2003

Hasil optimasi skenario IV dengan pemakaian waktu siklus aktual dilapangan diperoleh kapasitas menjadi lebih kecil dari 1678 menjadi 1115 smp/jam, derajat kejenuhan lebih besar dari 0,903 menjadi 1,360, antrian mengalami penambahan dari 308 m menjadi 1218 m, dan tundaannya 54,20 dtk/kend menjadi 725,2 dtk/kend.

#### 5.4. Tingkat Pelayanan

Tingkat pelayanan pada simpang bersinyal ditentukan berdasarkan tundaan yang terjadi pada setiap pendekat. Hasil hubungan antara tundaan dan tingkat pelayanan pada simpang empat MM UGM ditampilkan pada Tabel 5.13 – 5.18 berikut.

Tabel 5.13. Tingkat pelayanan evaluasi kinerja simpang dengan waktu siklus aktual di lapangan

| Hari         | Waktu Siklus<br>(detik) | Tundaan<br>simpang rata-<br>rata (det/smp) | LOS |
|--------------|-------------------------|--|-----|
| Minggu Pagi  | 162                     | 139,17                                     | F   |
| Minggu Siang | 157                     | 295,20                                     | F   |
| Senin Pagi   | 162                     | 1094                                       | F   |
| Senin Siang  | 157                     | 599,61                                     | F   |

Sumber : Hasil analisis KAJI, 2003

Tabel 5.14. Tingkat pelayanan hasil optimasi waktu siklus berdasarkan berdasarkan jarak kendaraan datang – berangkat ke titik konflik

| Hari         | Waktu Siklus<br>(detik) | Tundaan<br>simpang rata-<br>rata (det/smp) | LOS |
|--------------|-------------------------|--|-----|
| Minggu Pagi  | 93                      | 45,14                                      | E   |
| Minggu siang | 158                     | 73,96                                      | F   |
| Senin pagi   | 304                     | 567,85                                     | F   |
| Senin Siang  | 301                     | 384,49                                     | F   |

Sumber : Hasil analisis KAJI, 2003

Tabel 5.15. Tingkat pelayanan hasil optimasi waktu siklus skenario I

| Hari         | Waktu Siklus<br>(detik) | Tundaan<br>simpang rata-<br>rata (det/smp) | LOS |
|--------------|-------------------------|--|-----|
| Minggu Pagi  | 72                      | 36,14                                      | D   |
| Minggu Siang | 100                     | 51,61                                      | E   |
| Senin Pagi   | 301                     | 187,63                                     | F   |
| Senin Siang  | 302                     | 168,50                                     | F   |

Sumber : Hasil analisis KAJI, 2003

Tabel 5.16. Tingkat pelayanan hasil optimasi waktu siklus skenario II

| Hari         | Waktu Siklus<br>(detik) | Tundaan<br>simpang rata-<br>rata (det/smp) | LOS |
|--------------|-------------------------|--|-----|
| Minggu Pagi  | 64                      | 29,78                                      | D   |
| Minggu Siang | 73                      | 37,44                                      | D   |
| Senin Pagi   | 143                     | 63,55                                      | F   |
| Senin Siang  | 126                     | 61,21                                      | F   |

Sumber : Hasil analisis KAJI, 2003

Tabel 5.17. Tingkat pelayanan hasil optimasi waktu siklus skenario III

| Hari         | Waktu Siklus<br>(detik) | Tundaan<br>simpang rata-<br>rata (det/smp) | LOS |
|--------------|-------------------------|--|-----|
| Minggu Pagi  | 73                      | 34,10                                      | D   |
| Minggu Siang | 90                      | 42,89                                      | E   |
| Senin Pagi   | 176                     | 76,10                                      | F   |
| Senin Siang  | 155                     | 73,32                                      | F   |

Sumber : Hasil analisis KAJI, 2003

Tabel 5.18. Tingkat pelayanan hasil optimasi waktu siklus skenario IV

| Hari         | Waktu Siklus<br>(detik) | Tundaan<br>simpang rata-<br>rata (det/smp) | LOS |
|--------------|-------------------------|--|-----|
| Minggu Pagi  | 162                     | 59,79                                      | F   |
| Minggu Siang | 157                     | 70,46                                      | F   |
| Senin Pagi   | 162                     | 413,66                                     | F   |
| Senin Siang  | 157                     | 168,85                                     | F   |

Sumber : Hasil analisis KAJI, 2003

Hasil analisis diatas menunjukkan dari beberapa alternatif yang telah dilakukan didapatkan tingkat pelayanan yang paling baik adalah pada skenario II dengan tundaan simpang rata-rata paling singkat dan *level of service* D pada Minggu pagi dan Minggu siang, F pada Senin pagi dan Senin siang.

Penerapan skenario II ini dilapangan akan rawan konflik akibat waktu *all red* terlalu singkat ( 2,7 dtk dari phase 1-2, 0,8 dtk dari phase 2-3, 0,8 dtk dari

phase 3-4, dan 0 dtk dari phase 4-1). Skenerio III merupakan solusi untuk mengatasi permasalahan tersebut dengan penyesuaian waktu *all red* (3 dtk dari phase 1-2, 2 dtk dari phase 2-3, 2 dtk dari phase 3-4, dan 2 dtk dari phase 4-1).

## **BAB VI**

### **KESIMPULAN DAN SARAN**

#### **6.1. Kesimpulan**

Dari penelitian yang dilakukan pada simpang empat bersinyal MM UGM Yogyakarta dapat disimpulkan sebagai berikut :

1. Hasil evaluasi karakteristik dan kinerja simpang aktual dilapangan dengan pemakaian waktu siklus aktual 162 detik untuk pagi, dan 157 detik untuk siang hari diperoleh derajat kejemuhan yang besar sekali terutama pada Senin pagi yakni 2,416 jauh dari yang disarankan  $<0,85$  sehingga mengakibatkan antrian sepanjang 5192 m dan tundaan sebesar 2730 dtk/kend dengan tingkat pelayanan simpang pada semua jam puncak yang diamati adalah F ( $>60,0$  dtk).
2. Untuk mendapatkan besarnya waktu siklus sesuai yang disarankan serta meningkatkan tingkat pelayanan dari simpang tersebut dilakukan perhitungan optimasi waktu siklus dengan beberapa alternatif sebagai berikut:
  - a. Memperhitungkan jarak kendaraan berangkat dan kendaraan

datang ke titik konflik untuk menentukan nilai lama nyala merah semua (*all red*) dan mengambil lama nyala kuning (*amber time*) dengan nilai normal yaitu 3 detik tanpa melakukam perubahan geometri dari simpang tersebut.

- b. Meniadakan  $L_{TOR}$  sehingga lebar pendekat sama dengan  $W_{ENTRY}$ .
- c. Menambah lebar pada semua lengan dan hanya menyisakan 1 m untuk trotoar, lengan Utara dan lengan Selatan pada kedua sisinya bertambah sebesar 1 m, dan untuk lengan Timur dan Barat dilakukan penambahan sebesar 2 m pada kedua sisi lengannya sehingga  $W_A$  dan  $W_{ENTRY}$  menjadi lebih besar, perhitungan selanjutnya dilakukan dengan menambil nilai *all red* dan *amber time* sama dengan nilai pada perhitungan optimasi waktu siklus berdasarkan kendaraan berangkat - datang dan meniadakan  $L_{TOR}$  pada semua lengan.
- d. Kondisi geometri simpang sama dengan alternatif C akan tetapi pada perhitungan optimasi waktu siklus dilakukan pengambilan nilai *all red* 3 dtk dari phase 1-2, 2 dtk dari phase 2-3, 2dtk dari phase 3-4, dan 2 dtk dari phase 4-1. Pengambilan lama waktu kuning untuk semua phase adalah sama yaitu sebesar 3 dtk. Pengambilan nilai ini adalah untuk mengatasi rawan konflik dilapangan.
- e. Kondisi geometri simpang sama dengan alternatif C akan tetapi pada perhitungan optimasi waktu siklus diambil nilai waktu siklus

aktual lapangan pada saat ini.

3. Setelah dilakukan perhitungan dari beberapa alternatif skenario perhitungan optimasi waktu siklus didapatkan bahwa optimasi waktu siklus yang memungkinkan untuk diterapkan dilapangan adalah pada skenario III dengan perolehan waktu siklus 73 detik untuk Minggu pagi, 90 detik Minggu siang, 176 detik Senin pagi, dan 155 detik untuk Senin siang dengan tingkat pelayanan D untuk Minggu pagi, E untuk Minggu siang, F untuk Senin pagi dan F untuk Senin siang.

## 6.2. Saran

1. Untuk mengatasi permasalahan pada simpang empat bersinyal MM UGM Yogyakarta dapat dilakukan dengan mengambil alternatif skenario III untuk diterapkan dilapangan karena setting lampu lalu lintas yang ada sudah tidak sesuai dengan kondisi lalu lintas saat ini.
2. Diharapkan pada penelitian selanjutnya untuk meneliti optimasi waktu siklus berdasarkan HCM 1994.

## **DAFTAR PUSTAKA**

Anonim, 1997, MANUAL KAPASITAS JALAN INDONESIA (MKJI)

Direktorat Jendral Bina Marga.

Anonim, 1994, INDONESIAN HIGHWAY CAPACITY MANUAL (IHCM),

Direktorat Jendral Bina Marga.

Haristyawan, I., dan Permadi, W., 2003, Tugas Akhir, PENGARUH

PERPINDAHAN TERMINAL UMBULHARJO KE TERMINAL

GIWANGAN TERHADAP SIMPANG EMPAT JALAN

GAMBIRAN – JALAN PERINTIS KEMERDEKAAN, FTSP UII,

Yogyakarta

Hobbs, F.d., 1995, PERENCANAAN DAN TEKNIK LALU LINTAS, Edisi

kedua, Gajah Mada University Press, Yogyakarta.

Oglesby, C. H. dan Hicks, R. G, 1998, TEKNIK JALAN RAYA, Jilid 1, Edisi

ke empat, Erlangga, Jakarta.

Malkamah, S., 1994, SURVEY, LAMPU LALU LINTAS, DAN PENGANTAR

MANAJEMEN LALU LINTAS, Biro Penerbit KMTS FT UGM,

Yogyakarta.

Pratikto, A. R, 2002, Tugas Akhir, EVALUASI PENANGANAN SIMPANG

RING ROAD GAMPING PADA PERTIGAAN JALAN WATES –

JALAN GAMPING DAERAH ISTIMEWAH YOGYAKARTA,

FTST UII, Yogyakarta

Transportation Research Board, 1985, HIGHWAY CAPACITY MANUAL

Report No. 209, United States of America.

## **LAMPIRAN**

- Lampiran 1. Denah simpang empat MM UGM
- Lampiran 2. Data traffic counting
- Lampiran 3. Data traffic counting dalam smp
- Lampiran 4. Volume jam puncak simpang dalam smp
- Lampiran 5. Data traffic caounting jam puncak
- Lampiran 6. Data kependudukan kotamadya Yogyakarta 2002
- Lampiran 7. Hambatan samping
- Lampiran 8. Evaluasi kinerja simpang dengan pemakaian waktu aktual  
dilapangan.
- Lampiran 9. Optimasi waktu siklus skenario II
- Lampiran 10. Optimasi skenario III
- Lampiran 11. Optimasi skenario IV

**KARTU PESERTA TUGAS AKHIR**

| NO. | N A M A       | NO. MHS.   | BID. STUDI   |
|-----|---------------|------------|--------------|
| 1   | Ahmad Nayiron | 97 511 203 | Teknik Sipil |
| 2   | Marafles      | 98 511 175 | Teknik Sipil |

**JUDUL TUGAS AKHIR :**

Evaluasi Waktu Siklus Simpang Bersinyal Berdasarkan Manual Kapasitas Jalan  
Indonesia 1997 ( Studi Kasus Pada Simpang Empat UGM )

**PERIODE III : MARET - AGUSTUS**  
**TAHUN : 2002 - 2003**

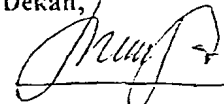
| No. | Kegiatan                   | Bulan Ke : |      |      |      |      |      |
|-----|----------------------------|------------|------|------|------|------|------|
|     |                            | Mar.       | Apr. | Mei. | Jun. | Jul. | Aug. |
| 1.  | Pendaftaran                |            |      |      |      |      |      |
| 2.  | Penentuan Dosen Pembimbing |            |      |      |      |      |      |
| 3.  | Pembuatan Proposal         |            |      |      |      |      |      |
| 4.  | Seminar Proposal           |            |      |      |      |      |      |
| 5.  | Konsultasi Penyusunan TA.  |            |      |      |      |      |      |
| 6.  | Sidang-Sidang              |            |      |      |      |      |      |
| 7.  | Pendadaran.                |            |      |      |      |      |      |

DOSEN PEMBIMBING I : Balya.Umar,Ir.H.MSc...

DOSEN PEMBIMBING II : Miftahul.Fauziah,ST,MT.



Yogyakarta, 20 Sep. 03.....  
a.n. Dekan,

  
Ir. H. Munadhir, MT.....}

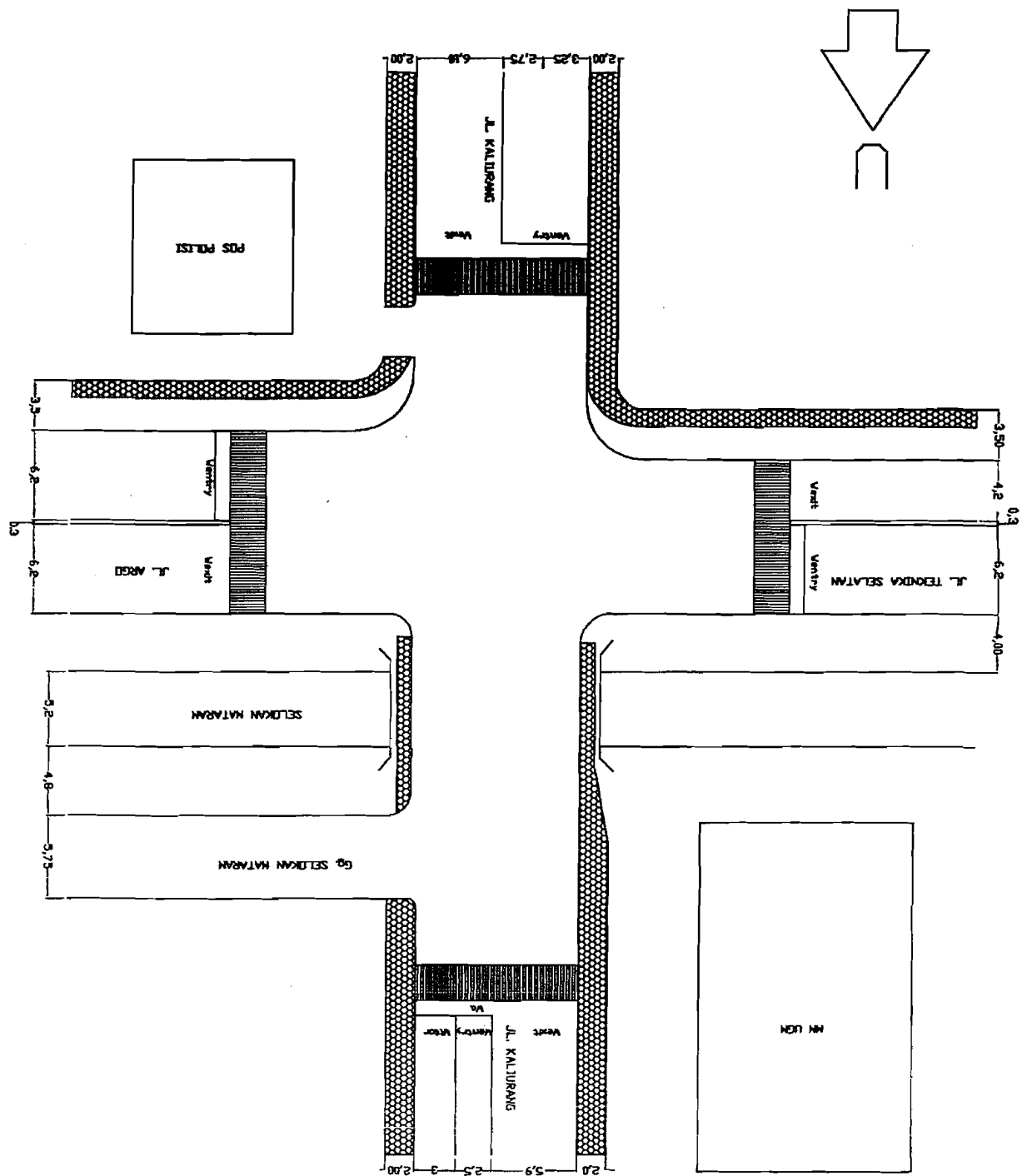
**Catatan:**

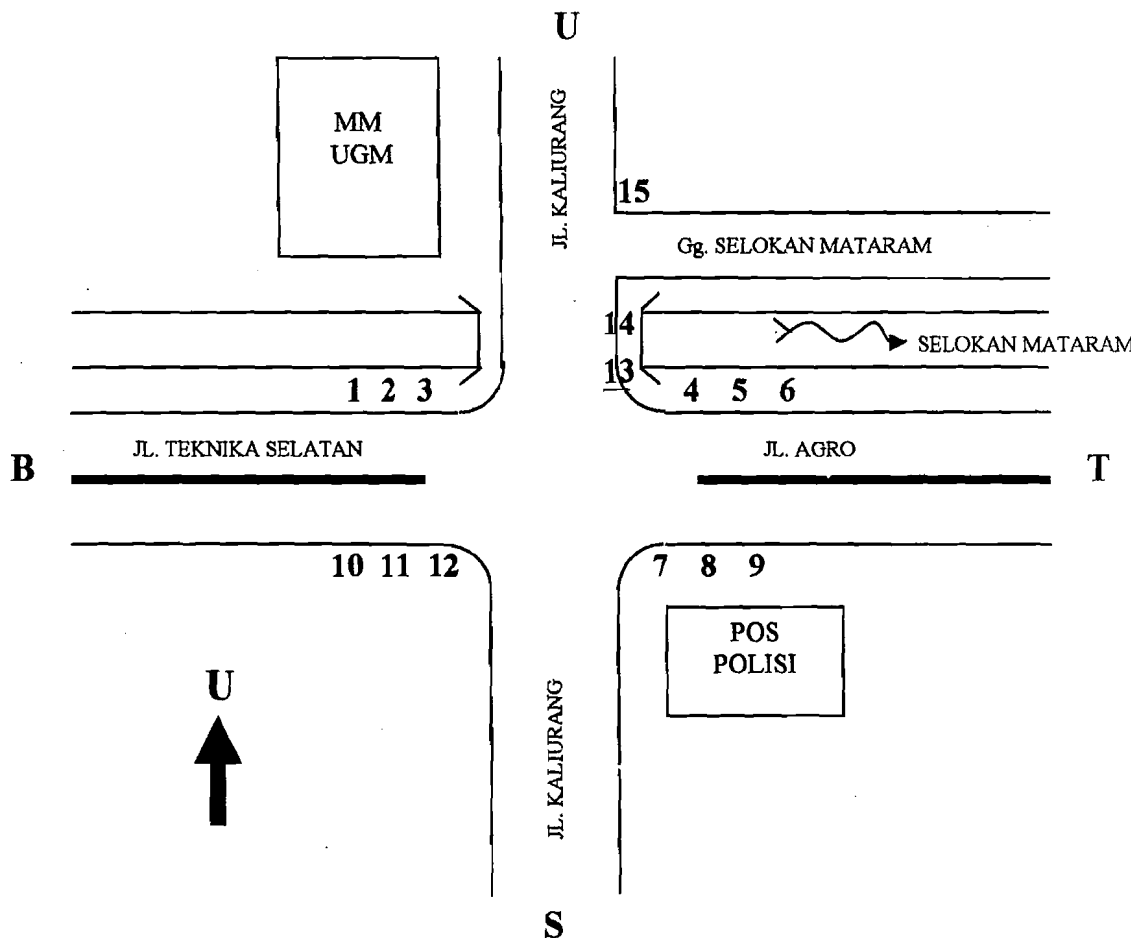
- Seminar : .....  
Sidang : .....  
Pendadaran : .....

DENAH LOKASI SIMPANG EMPAT MM UGM

SENJA SATUAN DALAM METER

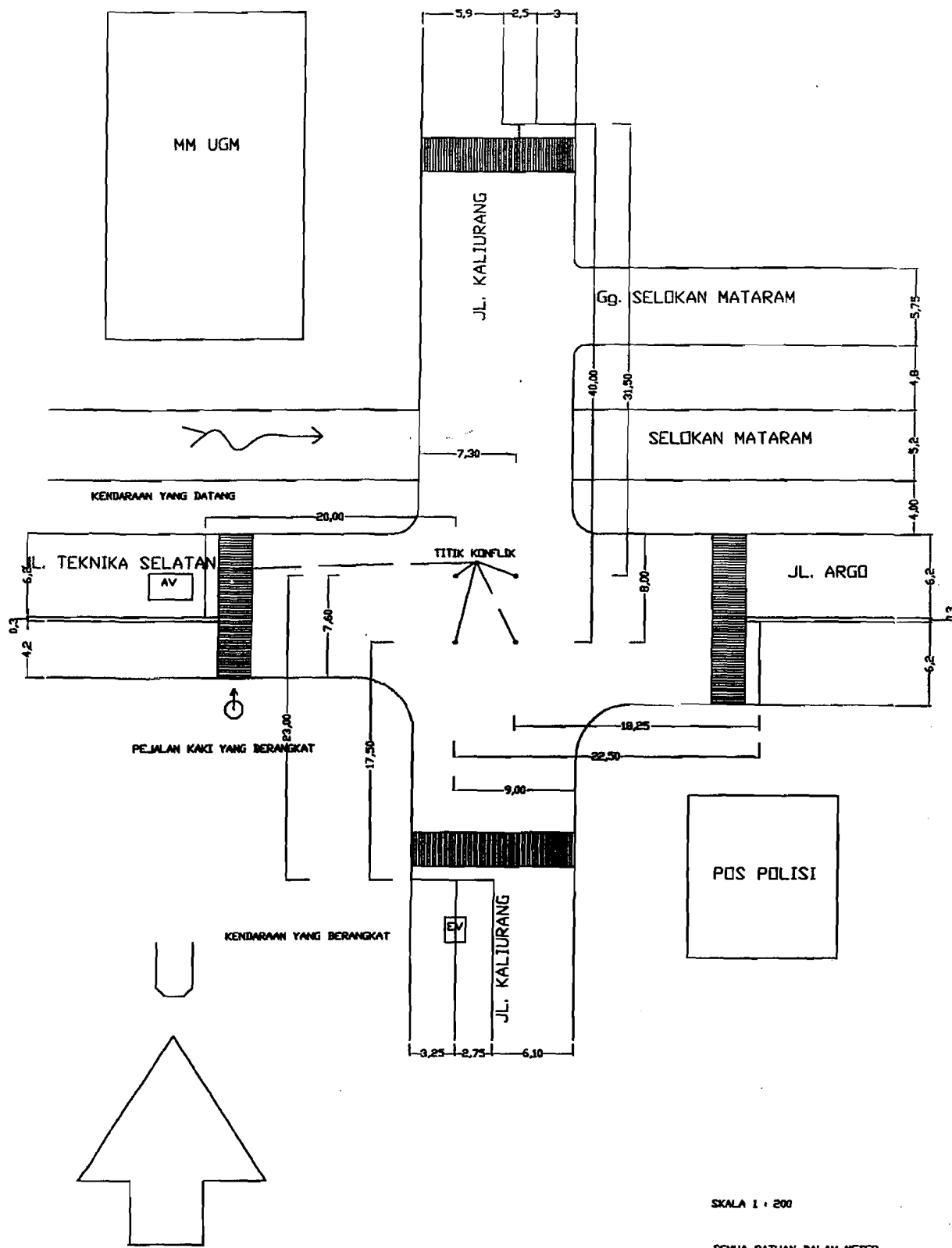
SKALA 1 : 200



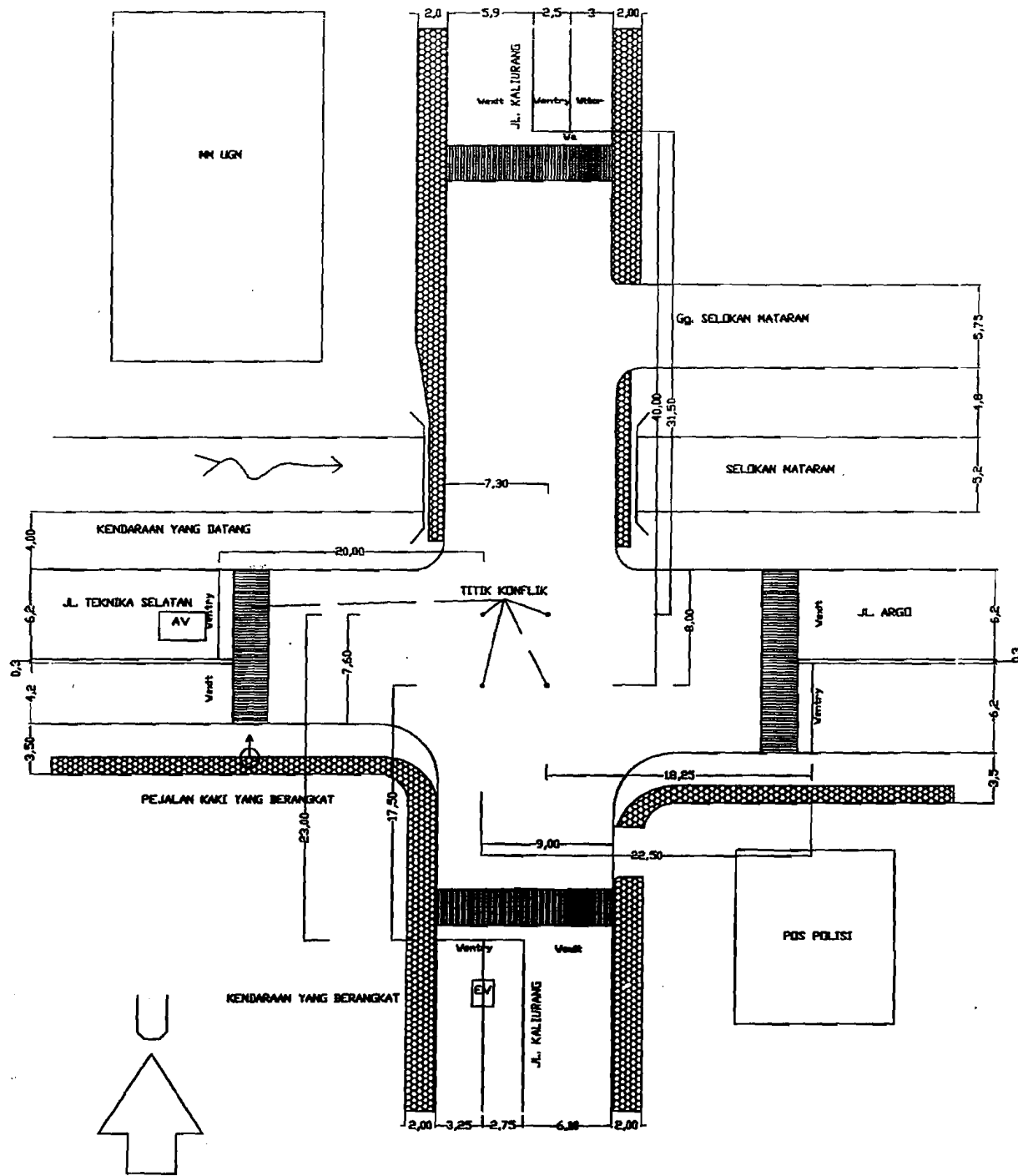
**KETERANGAN**

| NO. | Jenis Kendaraan yang Diamati                       | Arah |
|-----|--|------|
| 1.  | MC - UM  | SU   |
| 2.  | MC - UM  | UB   |
| 3.  | LV - HV  | UB   |
| 4.  | LV   | SB   |
| 5.  | LV   | SU   |
| 6.  | MC - UM  | BT   |
| 7.  | MC - UM  | TU   |
| 8.  | MC - UM  | TU   |
| 9.  | LV - HV  | TU   |
| 10. | LV   | ST   |
| 11. | MC - UM  | TS   |
| 12. | MC - UM  | BU   |
| 13. | MC - UM  | US   |
| 14. | MC - UM  | ST   |
| 15. | LV   | TS   |
|     | LV   | BT   |
|     | LV   | TS   |
|     | LV   | BU   |
|     | LV   | US   |
|     | LV   | ST   |
|     | LV   | TS   |
|     | LV   | BT   |
|     | LV   | TS   |
|     | LV   | BU   |
|     | LV   | US   |
|     | MC - UM  | ST   |
|     | MC - UM  | TS   |
|     | MC - UM  | BT   |
|     | MC - UM  | BS   |
|     | LV - HV  | TB   |
|     | LV - HV  | BS   |
|     | LV - UM  | BS   |
|     | MC - UM  | SB   |
|     | LV - MC - UM LTOR                                  | UT   |
|     | Menghitung arus kendaraan melewati Gg. S. Mataram. |      |

DENAH PENEMPATAN SURVEYOR PADA SIMPANG EMPAT MM. UGM YOGYAKARTA



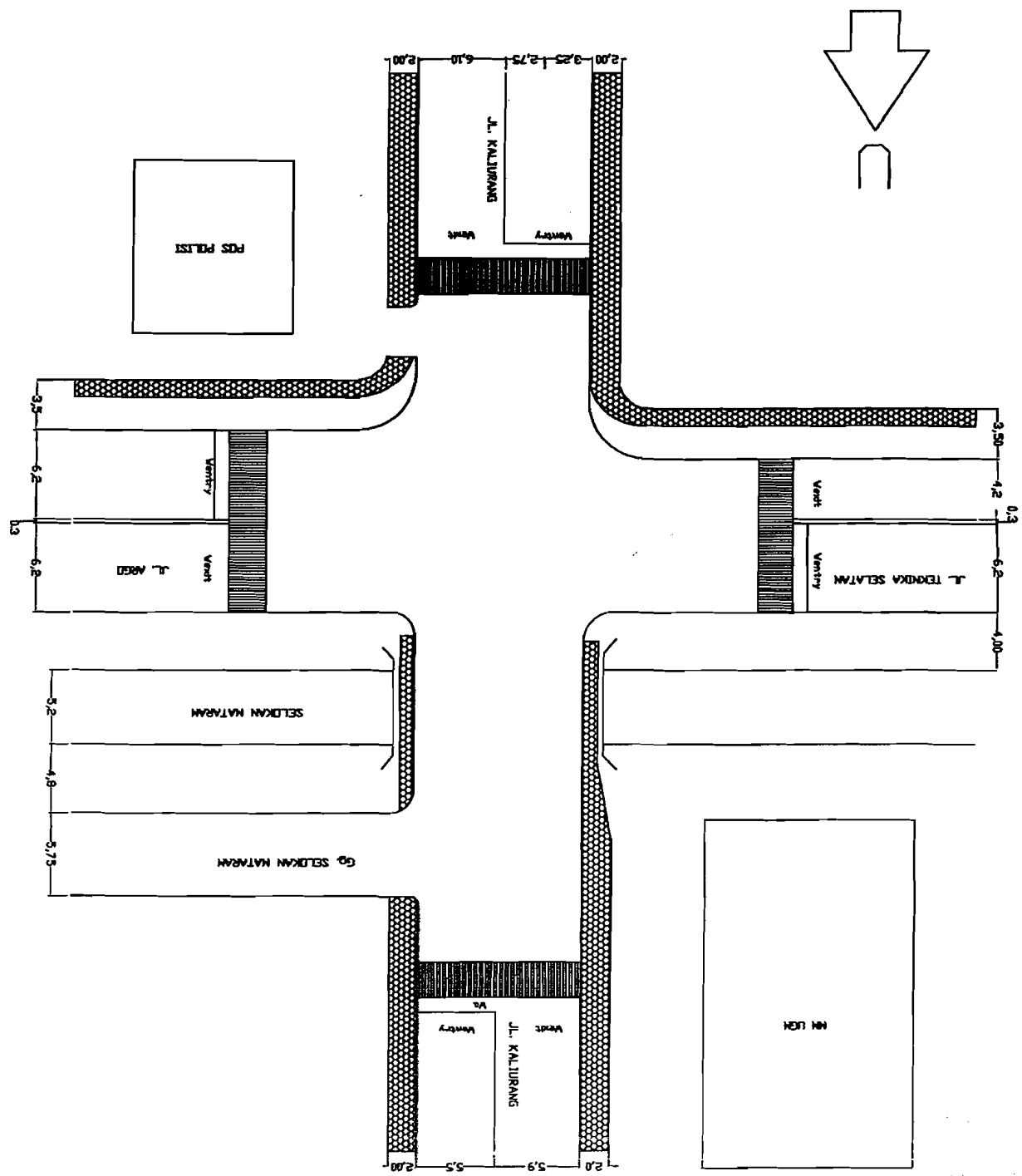
TITIK KONFLIK KRITIS DAN JARAK UNTUK KEBERANGKATAN DAN KEDATANGAN



# DENAH SKENARIO I

SEWA SATUAN DILAM NETER

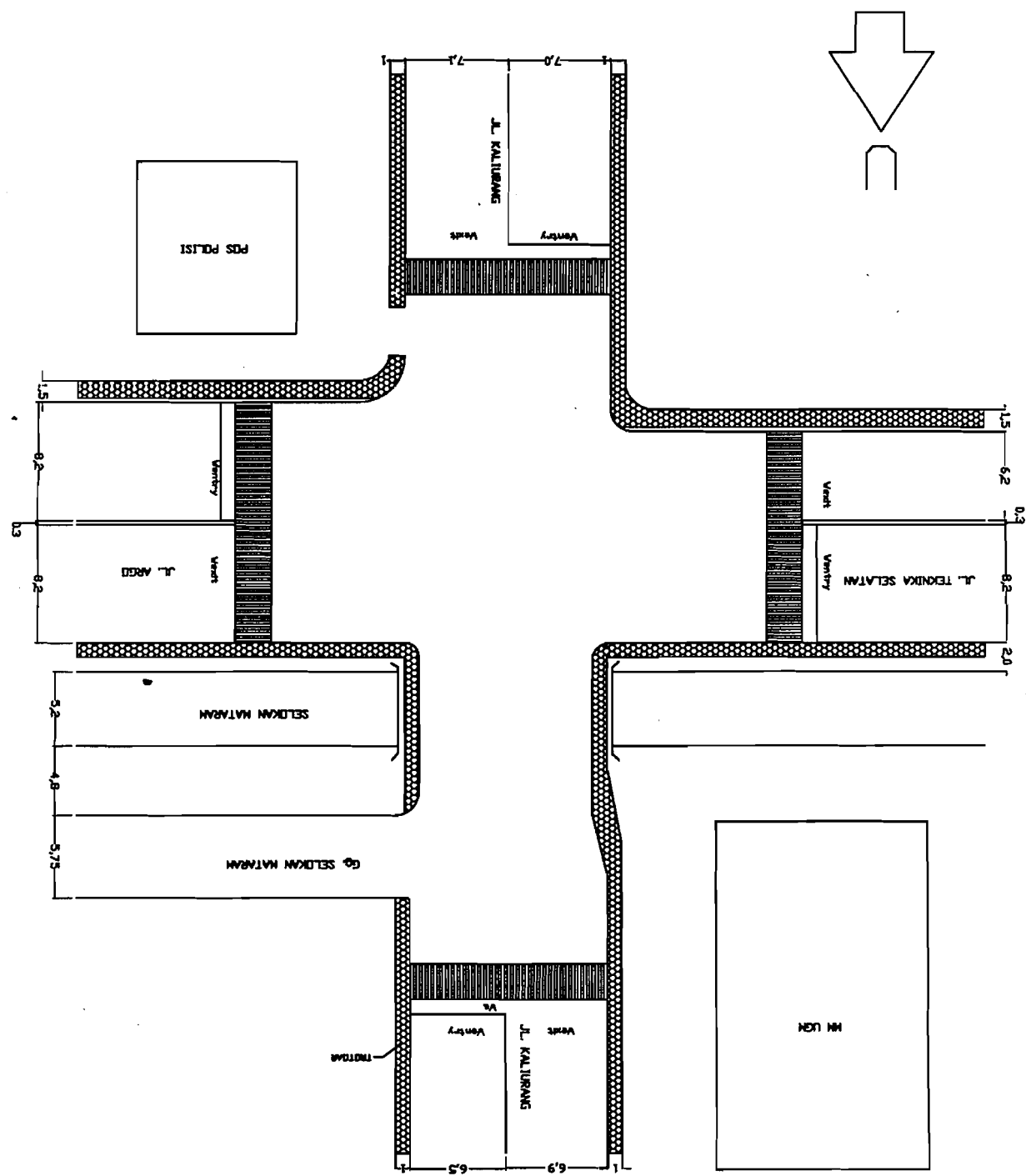
SKALA 1 : 200



DENAH SKENARIO II, III, dan IV

SENJA SATUAN DALAM METER

SKALA 1 : 200



Data kendaraan traffic counting lengan utara pukul 06.30 - 08.30. Minggu, 19 Oktober 2003

| Waktu Pengamatan | ST (kend) |    |     |    | TOTAL | RT (kend) |    |    |    | TOTAL | LT/LTOR (kend) |    |     |    | TOTAL |
|------------------|-----------|----|-----|----|-------|-----------|----|----|----|-------|----------------|----|-----|----|-------|
|                  | HV        | LV | MC  | UM |       | HV        | LV | MC | UM |       | HV             | LV | MC  | UM |       |
| 06.30-06.45      | 0         | 49 | 161 | 3  | 213   | 6         | 6  | 15 | 0  | 27    | 0              | 17 | 107 | 6  | 130   |
| 06.45-07.00      | 0         | 82 | 152 | 3  | 237   | 14        | 9  | 7  | 0  | 30    | 0              | 30 | 153 | 4  | 187   |
| 07.00-07.15      | 3         | 60 | 175 | 2  | 240   | 11        | 12 | 21 | 0  | 44    | 0              | 23 | 104 | 5  | 132   |
| 07.15-07.30      | 0         | 51 | 173 | 3  | 227   | 10        | 25 | 17 | 0  | 52    | 0              | 35 | 103 | 3  | 141   |
| 07.30-07.45      | 2         | 40 | 159 | 1  | 202   | 7         | 10 | 21 | 0  | 38    | 0              | 24 | 146 | 7  | 177   |
| 07.45-08.00      | 0         | 63 | 190 | 2  | 255   | 11        | 9  | 38 | 0  | 58    | 0              | 23 | 93  | 4  | 120   |
| 08.00-08.15      | 3         | 89 | 177 | 3  | 272   | 9         | 9  | 24 | 0  | 42    | 0              | 30 | 104 | 1  | 135   |
| 08.15-08.30      | 0         | 55 | 152 | 0  | 207   | 7         | 8  | 22 | 0  | 37    | 0              | 18 | 142 | 0  | 160   |

Data kendaraan traffic counting lengan utara pukul 11.30 - 13.30. Minggu, 19 Oktober 2003

| Waktu Pengamatan | ST (kend) |    |     |    | TOTAL | RT (kend) |    |    |    | TOTAL | LT/LTOR (kend) |    |     |    | TOTAL |
|------------------|-----------|----|-----|----|-------|-----------|----|----|----|-------|----------------|----|-----|----|-------|
|                  | HV        | LV | MC  | UM |       | HV        | LV | MC | UM |       | HV             | LV | MC  | UM |       |
| 11.30-11.45      | 0         | 57 | 128 | 1  | 186   | 8         | 7  | 11 | 0  | 26    | 0              | 35 | 139 | 4  | 178   |
| 11.45-12.00      | 0         | 51 | 117 | 1  | 169   | 6         | 8  | 13 | 0  | 27    | 0              | 34 | 112 | 1  | 147   |
| 12.00-12.15      | 0         | 78 | 144 | 0  | 222   | 11        | 10 | 9  | 1  | 31    | 0              | 38 | 124 | 1  | 163   |
| 12.15-12.30      | 3         | 73 | 186 | 2  | 264   | 10        | 7  | 18 | 0  | 35    | 0              | 23 | 128 | 1  | 152   |
| 12.30-12.45      | 2         | 98 | 154 | 0  | 254   | 12        | 8  | 19 | 0  | 39    | 0              | 42 | 91  | 1  | 134   |
| 12.45-13.00      | 0         | 60 | 204 | 0  | 264   | 5         | 6  | 28 | 0  | 39    | 0              | 46 | 104 | 1  | 151   |
| 13.00-13.15      | 3         | 73 | 265 | 2  | 343   | 7         | 6  | 29 | 1  | 43    | 0              | 48 | 113 | 6  | 167   |
| 13.15-13.30      | 0         | 75 | 243 | 1  | 319   | 7         | 6  | 24 | 0  | 37    | 0              | 31 | 91  | 2  | 124   |

Data kendaraan traffic counting lengan Timur pukul 06.30 - 08.30. Minggu, 19 Oktober 2003

| Waktu Pengamatan | ST (kend) |    |    |    | TOTAL | RT (kend) |    |    |    | TOTAL | LT/LTOR (kend) |    |    |    | TOTAL |
|------------------|-----------|----|----|----|-------|-----------|----|----|----|-------|----------------|----|----|----|-------|
|                  | HV        | LV | MC | UM |       | HV        | LV | MC | UM |       | HV             | LV | MC | UM |       |
| 06.30-06.45      | 12        | 2  | 18 | 1  | 33    | 15        | 12 | 23 | 2  | 52    | 4              | 4  | 39 | 3  | 50    |
| 06.45-07.00      | 25        | 5  | 31 | 0  | 61    | 9         | 17 | 46 | 3  | 75    | 8              | 9  | 23 | 2  | 42    |
| 07.00-07.15      | 21        | 6  | 21 | 0  | 48    | 10        | 23 | 33 | 2  | 68    | 3              | 9  | 47 | 1  | 60    |
| 07.15-07.30      | 20        | 6  | 38 | 0  | 64    | 14        | 25 | 53 | 2  | 94    | 2              | 5  | 54 | 2  | 63    |
| 07.30-07.45      | 25        | 1  | 38 | 2  | 66    | 8         | 22 | 55 | 2  | 87    | 3              | 15 | 34 | 2  | 54    |
| 07.45-08.00      | 20        | 0  | 26 | 1  | 47    | 10        | 23 | 28 | 2  | 63    | 3              | 5  | 43 | 1  | 52    |
| 08.00-08.15      | 14        | 3  | 47 | 2  | 66    | 9         | 35 | 61 | 0  | 105   | 3              | 8  | 63 | 4  | 78    |
| 08.15-08.30      | 26        | 3  | 49 | 8  | 86    | 3         | 14 | 55 | 0  | 72    | 1              | 8  | 60 | 2  | 71    |

Data kendaraan traffic counting lengan Timur pukul 11.30 - 13.30. Minggu, 19 Oktober 2003

| Waktu Pengamatan | ST (kend) |    |    |    | TOTAL | RT (kend) |    |    |    | TOTAL | LT/LTOR (kend) |    |    |    | TOTAL |
|------------------|-----------|----|----|----|-------|-----------|----|----|----|-------|----------------|----|----|----|-------|
|                  | HV        | LV | MC | UM |       | HV        | LV | MC | UM |       | HV             | LV | MC | UM |       |
| 11.30-11.45      | 7         | 4  | 32 | 2  | 45    | 7         | 28 | 46 | 2  | 83    | 4              | 5  | 50 | 0  | 59    |
| 11.45-12.00      | 17        | 4  | 34 | 3  | 58    | 6         | 31 | 50 | 2  | 89    | 4              | 7  | 54 | 0  | 65    |
| 12.00-12.15      | 15        | 5  | 20 | 0  | 40    | 8         | 24 | 51 | 0  | 83    | 3              | 5  | 49 | 1  | 58    |
| 12.15-12.30      | 23        | 5  | 23 | 0  | 51    | 8         | 46 | 44 | 3  | 101   | 3              | 8  | 54 | 3  | 68    |
| 12.30-12.45      | 16        | 4  | 41 | 0  | 61    | 8         | 34 | 40 | 0  | 82    | 4              | 5  | 67 | 1  | 77    |
| 12.45-13.00      | 16        | 2  | 27 | 3  | 48    | 9         | 29 | 27 | 2  | 67    | 8              | 14 | 64 | 1  | 87    |
| 13.00-13.15      | 18        | 1  | 32 | 3  | 54    | 11        | 22 | 42 | 2  | 77    | 2              | 5  | 49 | 1  | 57    |
| 13.15-13.30      | 17        | 5  | 34 | 1  | 57    | 8         | 31 | 31 | 0  | 70    | 1              | 4  | 48 | 0  | 53    |

Data kendaraan traffic counting lengan Selatan pukul 06.30 - 08.30. Minggu, 19 Oktober 2003

| Waktu Pengamatan | ST (kend) |    |     |    | TOTAL | RT (kend) |    |    |    | TOTAL | LT/LTOR (kend) |    |    |    | TOTAL |
|------------------|-----------|----|-----|----|-------|-----------|----|----|----|-------|----------------|----|----|----|-------|
|                  | HV        | LV | MC  | UM |       | HV        | LV | MC | UM |       | HV             | LV | MC | UM |       |
| 06.30-06.45      | 0         | 35 | 88  | 5  | 128   | 0         | 4  | 17 | 0  | 21    | 1              | 2  | 11 | 2  | 16    |
| 06.45-07.00      | 0         | 48 | 89  | 7  | 144   | 0         | 3  | 15 | 2  | 20    | 0              | 3  | 13 | 1  | 17    |
| 07.00-07.15      | 2         | 45 | 150 | 7  | 204   | 0         | 12 | 26 | 3  | 41    | 0              | 8  | 15 | 3  | 26    |
| 07.15-07.30      | 3         | 61 | 144 | 4  | 212   | 0         | 5  | 23 | 2  | 30    | 0              | 4  | 12 | 1  | 17    |
| 07.30-07.45      | 0         | 35 | 129 | 0  | 164   | 0         | 7  | 20 | 3  | 30    | 0              | 0  | 10 | 2  | 12    |
| 07.45-08.00      | 1         | 46 | 187 | 2  | 236   | 0         | 11 | 53 | 5  | 69    | 0              | 3  | 14 | 0  | 17    |
| 08.00-08.15      | 2         | 71 | 161 | 0  | 234   | 0         | 9  | 27 | 1  | 37    | 0              | 2  | 12 | 2  | 16    |
| 08.15-08.30      | 3         | 60 | 123 | 5  | 191   | 0         | 11 | 22 | 1  | 34    | 0              | 1  | 13 | 3  | 17    |

Data kendaraan traffic counting lengan Selatan pukul 11.30 - 13.30. Minggu, 19 Oktober 2003

| Waktu Pengamatan | ST (kend) |     |     |    | TOTAL | RT (kend) |    |    |    | TOTAL | LT/LTOR (kend) |    |    |    | TOTAL |
|------------------|-----------|-----|-----|----|-------|-----------|----|----|----|-------|----------------|----|----|----|-------|
|                  | HV        | LV  | MC  | UM |       | HV        | LV | MC | UM |       | HV             | LV | MC | UM |       |
| 11.30-11.45      | 3         | 59  | 176 | 2  | 240   | 0         | 10 | 24 | 2  | 36    | 0              | 3  | 14 | 2  | 19    |
| 11.45-12.00      | 1         | 100 | 177 | 3  | 281   | 0         | 8  | 23 | 0  | 31    | 0              | 1  | 17 | 1  | 19    |
| 12.00-12.15      | 1         | 93  | 206 | 3  | 303   | 0         | 12 | 21 | 0  | 33    | 0              | 0  | 13 | 0  | 13    |
| 12.15-12.30      | 0         | 84  | 207 | 3  | 294   | 0         | 11 | 18 | 3  | 32    | 0              | 2  | 12 | 1  | 15    |
| 12.30-12.45      | 1         | 121 | 253 | 2  | 377   | 0         | 9  | 19 | 0  | 28    | 0              | 1  | 15 | 3  | 19    |
| 12.45-13.00      | 1         | 115 | 194 | 3  | 313   | 0         | 10 | 20 | 2  | 32    | 0              | 3  | 13 | 3  | 19    |
| 13.00-13.15      | 0         | 92  | 175 | 6  | 273   | 0         | 14 | 31 | 0  | 45    | 0              | 2  | 7  | 1  | 10    |
| 13.15-13.30      | 1         | 119 | 222 | 6  | 348   | 0         | 8  | 20 | 1  | 29    | 0              | 1  | 16 | 1  | 18    |

Data kendaraan traffic counting lengan Barat pukul 06.30 - 08.30. Minggu, 19 Oktober 2003

| Waktu Pengamatan | ST (kend) |    |    |    | TOTAL | RT (kend) |    |    |    | TOTAL | LT/LTOR (kend) |    |    |    | TOTAL |
|------------------|-----------|----|----|----|-------|-----------|----|----|----|-------|----------------|----|----|----|-------|
|                  | HV        | LV | MC | UM |       | HV        | LV | MC | UM |       | HV             | LV | MC | UM |       |
| 06.30-06.45      | 0         | 2  | 53 | 1  | 56    | 0         | 1  | 16 | 1  | 18    | 0              | 1  | 6  | 0  | 7     |
| 06.45-07.00      | 0         | 4  | 29 | 0  | 33    | 0         | 2  | 24 | 4  | 30    | 2              | 9  | 15 | 1  | 27    |
| 07.00-07.15      | 0         | 3  | 30 | 0  | 33    | 0         | 4  | 9  | 5  | 18    | 0              | 12 | 29 | 1  | 42    |
| 07.15-07.30      | 0         | 3  | 37 | 1  | 41    | 0         | 4  | 13 | 1  | 18    | 0              | 11 | 22 | 2  | 35    |
| 07.30-07.45      | 0         | 1  | 46 | 2  | 49    | 0         | 3  | 12 | 3  | 18    | 3              | 12 | 16 | 2  | 33    |
| 07.45-08.00      | 0         | 8  | 23 | 1  | 32    | 0         | 1  | 9  | 2  | 12    | 0              | 12 | 9  | 2  | 23    |
| 08.00-08.15      | 0         | 5  | 50 | 6  | 61    | 0         | 0  | 21 | 1  | 22    | 0              | 9  | 19 | 2  | 30    |
| 08.15-08.30      | 0         | 2  | 33 | 2  | 37    | 0         | 1  | 21 | 2  | 24    | 0              | 6  | 24 | 3  | 33    |

Data kendaraan traffic counting lengan Barat pukul 11.30 - 13.30. Minggu, 19 Oktober 2003

| Waktu Pengamatan | ST (kend) |    |    |    | TOTAL | RT (kend) |    |    |    | TOTAL | LT/LTOR (kend) |    |    |    | TOTAL |
|------------------|-----------|----|----|----|-------|-----------|----|----|----|-------|----------------|----|----|----|-------|
|                  | HV        | LV | MC | UM |       | HV        | LV | MC | UM |       | HV             | LV | MC | UM |       |
| 11.30-11.45      | 0         | 7  | 28 | 2  | 37    | 0         | 3  | 16 | 2  | 21    | 0              | 10 | 30 | 0  | 40    |
| 11.45-12.00      | 0         | 7  | 19 | 2  | 28    | 0         | 1  | 18 | 0  | 19    | 0              | 7  | 33 | 0  | 40    |
| 12.00-12.15      | 0         | 2  | 24 | 0  | 26    | 0         | 6  | 10 | 4  | 20    | 0              | 12 | 22 | 2  | 36    |
| 12.15-12.30      | 0         | 5  | 29 | 0  | 34    | 0         | 4  | 11 | 0  | 15    | 0              | 10 | 22 | 1  | 33    |
| 12.30-12.45      | 0         | 5  | 40 | 0  | 45    | 0         | 2  | 11 | 3  | 16    | 0              | 12 | 30 | 0  | 42    |
| 12.45-13.00      | 0         | 4  | 37 | 5  | 46    | 0         | 2  | 15 | 2  | 19    | 0              | 7  | 34 | 0  | 41    |
| 13.00-13.15      | 0         | 1  | 28 | 1  | 30    | 0         | 1  | 19 | 1  | 21    | 0              | 7  | 20 | 1  | 28    |
| 13.15-13.30      | 0         | 6  | 22 | 1  | 29    | 0         | 4  | 18 | 0  | 22    | 0              | 12 | 31 | 2  | 45    |

Data kendaraan traffic counting lengan utara pukul 06.30 - 08.30. Senin, 20 Oktober 2003

| Waktu Pengamatan | ST (kend) |     |     |    | TOTAL | RT (kend) |    |     |    | TOTAL | LT/LTOR (kend) |    |     |    | TOTAL |
|------------------|-----------|-----|-----|----|-------|-----------|----|-----|----|-------|----------------|----|-----|----|-------|
|                  | HV        | LV  | MC  | UM |       | HV        | LV | MC  | UM |       | HV             | LV | MC  | UM |       |
| 06.30-06.45      | 2         | 86  | 467 | 2  | 557   | 14        | 22 | 120 | 5  | 161   | 0              | 56 | 224 | 7  | 287   |
| 06.45-07.00      | 3         | 93  | 493 | 14 | 603   | 22        | 60 | 199 | 9  | 290   | 0              | 43 | 352 | 8  | 403   |
| 07.00-07.15      | 2         | 71  | 426 | 7  | 506   | 19        | 41 | 88  | 5  | 153   | 0              | 54 | 381 | 5  | 440   |
| 07.15-07.30      | 0         | 100 | 445 | 18 | 563   | 27        | 34 | 121 | 6  | 188   | 0              | 36 | 235 | 2  | 273   |
| 07.30-07.45      | 3         | 73  | 293 | 9  | 378   | 25        | 43 | 129 | 9  | 206   | 0              | 62 | 211 | 10 | 283   |
| 07.45-08.00      | 2         | 97  | 279 | 13 | 391   | 14        | 43 | 89  | 5  | 151   | 0              | 56 | 227 | 9  | 292   |
| 08.00-08.15      | 0         | 93  | 298 | 5  | 396   | 16        | 46 | 105 | 7  | 174   | 0              | 43 | 194 | 4  | 241   |
| 08.15-08.30      | 1         | 85  | 347 | 6  | 439   | 19        | 41 | 97  | 13 | 170   | 0              | 40 | 181 | 3  | 224   |

Data kendaraan traffic counting lengan utara pukul 11.30 - 13.30. Senin, 20 Oktober 2003

| Waktu Pengamatan | ST (kend) |    |     |    | TOTAL | RT (kend) |    |    |    | TOTAL | LT/LTOR (kend) |    |     |    | TOTAL |
|------------------|-----------|----|-----|----|-------|-----------|----|----|----|-------|----------------|----|-----|----|-------|
|                  | HV        | LV | MC  | UM |       | HV        | LV | MC | UM |       | HV             | LV | MC  | UM |       |
| 11.30-11.45      | 0         | 86 | 256 | 7  | 349   | 9         | 18 | 32 | 2  | 61    | 0              | 38 | 163 | 3  | 204   |
| 11.45-12.00      | 4         | 89 | 281 | 11 | 385   | 12        | 22 | 51 | 5  | 90    | 0              | 47 | 157 | 3  | 207   |
| 12.00-12.15      | 3         | 93 | 312 | 3  | 411   | 13        | 19 | 36 | 2  | 70    | 0              | 41 | 232 | 3  | 276   |
| 12.15-12.30      | 2         | 84 | 221 | 10 | 317   | 16        | 16 | 71 | 4  | 107   | 0              | 32 | 204 | 3  | 239   |
| 12.30-12.45      | 0         | 67 | 235 | 5  | 307   | 12        | 19 | 53 | 4  | 88    | 0              | 44 | 186 | 2  | 232   |
| 12.45-13.00      | 0         | 73 | 289 | 1  | 363   | 13        | 15 | 62 | 4  | 94    | 0              | 44 | 188 | 1  | 233   |
| 13.00-13.15      | 0         | 89 | 311 | 3  | 403   | 11        | 15 | 55 | 5  | 86    | 0              | 38 | 170 | 4  | 212   |
| 13.15-13.30      | 0         | 86 | 336 | 0  | 422   | 9         | 21 | 55 | 1  | 86    | 0              | 40 | 169 | 1  | 210   |

Data kendaraan traffic counting lengan Timur pukul 06.30 - 08.30. Senin, 20 Oktober 2003

| Waktu Pengamatan | ST (kend) |    |    |    | TOTAL | RT (kend) |    |    |    | TOTAL | LT/LTOR (kend) |    |    |    | TOTAL |
|------------------|-----------|----|----|----|-------|-----------|----|----|----|-------|----------------|----|----|----|-------|
|                  | HV        | LV | MC | UM |       | HV        | LV | MC | UM |       | HV             | LV | MC | UM |       |
| 06.30-06.45      | 20        | 7  | 39 | 0  | 66    | 19        | 11 | 34 | 1  | 65    | 0              | 2  | 31 | 4  | 37    |
| 06.45-07.00      | 38        | 10 | 48 | 0  | 96    | 21        | 10 | 78 | 4  | 113   | 0              | 9  | 63 | 3  | 75    |
| 07.00-07.15      | 29        | 11 | 51 | 5  | 96    | 19        | 25 | 83 | 5  | 132   | 1              | 3  | 61 | 2  | 67    |
| 07.15-07.30      | 46        | 12 | 50 | 1  | 109   | 13        | 14 | 55 | 1  | 83    | 0              | 4  | 40 | 3  | 47    |
| 07.30-07.45      | 31        | 9  | 39 | 2  | 81    | 19        | 18 | 61 | 6  | 104   | 0              | 8  | 35 | 0  | 43    |
| 07.45-08.00      | 22        | 3  | 37 | 1  | 63    | 13        | 17 | 49 | 3  | 82    | 1              | 7  | 51 | 0  | 59    |
| 08.00-08.15      | 26        | 7  | 36 | 2  | 71    | 21        | 16 | 62 | 6  | 105   | 0              | 6  | 70 | 1  | 77    |
| 08.15-08.30      | 37        | 8  | 38 | 1  | 84    | 19        | 17 | 42 | 1  | 79    | 2              | 13 | 63 | 1  | 79    |

Data kendaraan traffic counting lengan Timur pukul 11.30 - 13.30. Senin, 20 Oktober 2003

| Waktu Pengamatan | ST (kend) |    |    |    | TOTAL | RT (kend) |    |    |    | TOTAL | LT/LTOR (kend) |    |    |    | TOTAL |
|------------------|-----------|----|----|----|-------|-----------|----|----|----|-------|----------------|----|----|----|-------|
|                  | HV        | LV | MC | UM |       | HV        | LV | MC | UM |       | HV             | LV | MC | UM |       |
| 11.30-11.45      | 31        | 10 | 30 | 1  | 72    | 13        | 36 | 68 | 4  | 121   | 1              | 4  | 66 | 0  | 71    |
| 11.45-12.00      | 29        | 5  | 48 | 1  | 83    | 14        | 20 | 94 | 6  | 134   | 1              | 2  | 70 | 0  | 73    |
| 12.00-12.15      | 24        | 10 | 38 | 1  | 73    | 14        | 27 | 90 | 2  | 133   | 1              | 2  | 69 | 2  | 74    |
| 12.15-12.30      | 34        | 6  | 51 | 1  | 92    | 14        | 33 | 92 | 1  | 140   | 2              | 1  | 50 | 0  | 53    |
| 12.30-12.45      | 27        | 6  | 41 | 2  | 76    | 15        | 42 | 85 | 1  | 143   | 2              | 5  | 47 | 2  | 56    |
| 12.45-13.00      | 20        | 5  | 52 | 2  | 79    | 16        | 21 | 70 | 6  | 113   | 2              | 2  | 90 | 0  | 94    |
| 13.00-13.15      | 28        | 6  | 59 | 3  | 96    | 12        | 23 | 94 | 7  | 136   | 1              | 2  | 80 | 4  | 87    |
| 13.15-13.30      | 28        | 9  | 48 | 6  | 91    | 13        | 29 | 88 | 3  | 133   | 3              | 1  | 79 | 6  | 89    |

Data kendaraan traffic counting lengan Selatan pukul 06.30 - 08.30. Senin, 20 Oktober 2003

| Waktu Pengamatan | ST (kend) |    |     |    | TOTAL | RT (kend) |    |    |    | TOTAL | LT/LTOR (kend) |    |    |    | TOTAL |
|------------------|-----------|----|-----|----|-------|-----------|----|----|----|-------|----------------|----|----|----|-------|
|                  | HV        | LV | MC  | UM |       | HV        | LV | MC | UM |       | HV             | LV | MC | UM |       |
| 06.30-06.45      | 0         | 66 | 114 | 11 | 191   | 0         | 4  | 13 | 2  | 19    | 0              | 6  | 9  | 1  | 16    |
| 06.45-07.00      | 0         | 81 | 286 | 11 | 378   | 0         | 9  | 30 | 1  | 40    | 0              | 13 | 21 | 3  | 37    |
| 07.00-07.15      | 0         | 75 | 191 | 11 | 277   | 0         | 6  | 30 | 2  | 38    | 0              | 7  | 24 | 0  | 31    |
| 07.15-07.30      | 2         | 63 | 280 | 18 | 363   | 0         | 8  | 21 | 2  | 31    | 0              | 8  | 28 | 1  | 37    |
| 07.30-07.45      | 0         | 69 | 214 | 22 | 305   | 0         | 8  | 23 | 3  | 34    | 0              | 4  | 16 | 4  | 24    |
| 07.45-08.00      | 0         | 38 | 311 | 20 | 369   | 0         | 4  | 26 | 2  | 32    | 0              | 2  | 20 | 5  | 27    |
| 08.00-08.15      | 0         | 52 | 257 | 17 | 326   | 0         | 7  | 24 | 1  | 32    | 0              | 6  | 15 | 0  | 21    |
| 08.15-08.30      | 0         | 71 | 235 | 15 | 321   | 0         | 9  | 30 | 3  | 42    | 0              | 5  | 18 | 0  | 23    |

Data kendaraan traffic counting lengan Selatan pukul 11.30 - 13.30. Senin, 20 Oktober 2003

| Waktu Pengamatan | ST (kend) |     |     |    | TOTAL | RT (kend) |    |    |    | TOTAL | LT/LTOR (kend) |    |    |    | TOTAL |
|------------------|-----------|-----|-----|----|-------|-----------|----|----|----|-------|----------------|----|----|----|-------|
|                  | HV        | LV  | MC  | UM |       | HV        | LV | MC | UM |       | HV             | LV | MC | UM |       |
| 11.30-11.45      | 0         | 110 | 300 | 11 | 421   | 0         | 5  | 43 | 2  | 50    | 0              | 5  | 28 | 3  | 36    |
| 11.45-12.00      | 0         | 114 | 327 | 7  | 448   | 0         | 10 | 51 | 2  | 63    | 0              | 4  | 35 | 4  | 43    |
| 12.00-12.15      | 3         | 117 | 340 | 8  | 468   | 0         | 11 | 37 | 3  | 51    | 0              | 2  | 30 | 2  | 34    |
| 12.15-12.30      | 0         | 106 | 305 | 6  | 417   | 0         | 10 | 36 | 5  | 51    | 0              | 8  | 28 | 2  | 38    |
| 12.30-12.45      | 0         | 121 | 380 | 11 | 512   | 0         | 9  | 40 | 9  | 58    | 0              | 6  | 32 | 0  | 38    |
| 12.45-13.00      | 0         | 109 | 369 | 11 | 489   | 0         | 9  | 37 | 2  | 48    | 1              | 2  | 29 | 6  | 38    |
| 13.00-13.15      | 0         | 114 | 355 | 7  | 476   | 0         | 9  | 46 | 6  | 61    | 0              | 2  | 42 | 2  | 46    |
| 13.15-13.30      | 1         | 107 | 324 | 3  | 435   | 0         | 11 | 56 | 9  | 76    | 0              | 9  | 27 | 9  | 45    |

82.7/213  
1390  
37

Lampiran 3

Tabel Volume Traffic Counting Lengan Utara minggu. 19 Oktober 2003

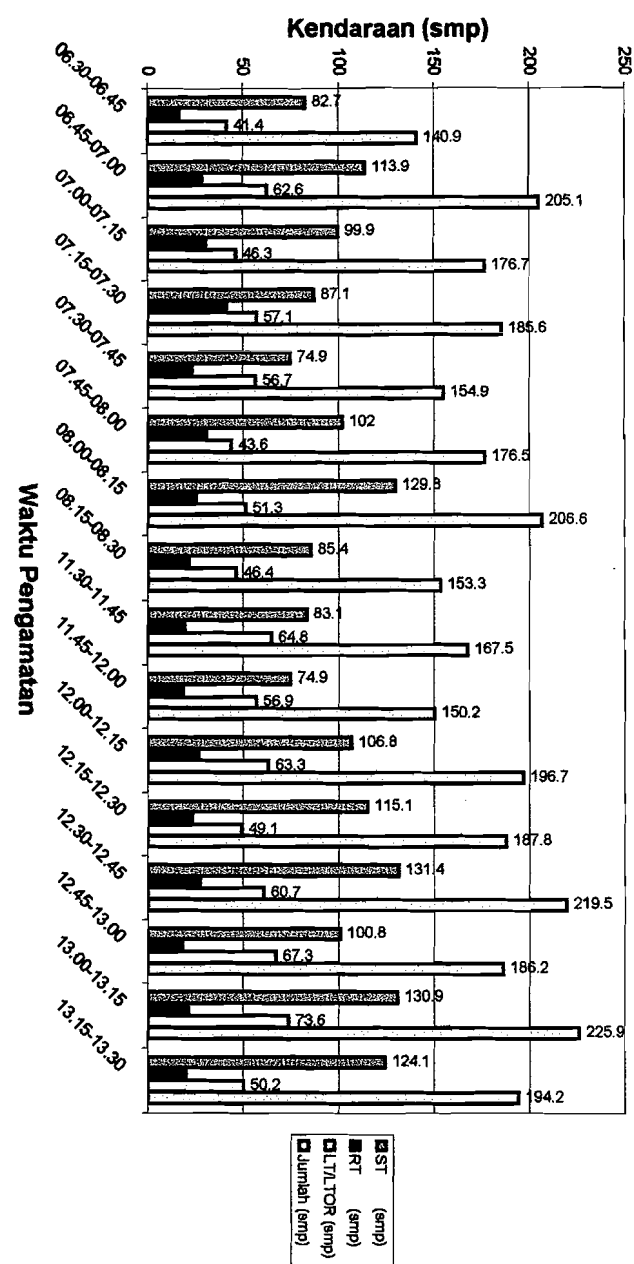
| Waktu Pengamatan | ST (smp) | RT (smp) | LT/LTOR (smp) | Jumlah (smp) | Volume (smp/jam) |
|------------------|----------|----------|---------------|--------------|------------------|
| 06.30-06.45      | 82.7     | 16.8     | 41.4          | 140.9        | 563.6            |
| 06.45-07.00      | 113.9    | 28.6     | 62.6          | 205.1        | 820.4            |
| 07.00-07.15      | 99.9     | 30.5     | 46.3          | 176.7        | 706.8            |
| 07.15-07.30      | 87.1     | 41.4     | 57.1          | 185.6        | 742.4            |
| 07.30-07.45      | 74.9     | 23.3     | 56.7          | 154.9        | 619.6            |
| 07.45-08.00      | 102      | 30.9     | 43.6          | 176.5        | 706              |
| 08.00-08.15      | 129.8    | 25.5     | 51.3          | 206.6        | 826.4            |
| 08.15-08.30      | 85.4     | 21.5     | 46.4          | 153.3        | 613.2            |
| 11.30-11.45      | 83.1     | 19.6     | 64.8          | 167.5        | 670              |
| 11.45-12.00      | 74.9     | 18.4     | 56.9          | 150.2        | 600.8            |
| 12.00-12.15      | 106.8    | 26.6     | 63.3          | 196.7        | 786.8            |
| 12.15-12.30      | 115.1    | 23.6     | 49.1          | 187.8        | 751.2            |
| 12.30-12.45      | 131.4    | 27.4     | 60.7          | 219.5        | 878              |
| 12.45-13.00      | 100.8    | 18.1     | 67.3          | 186.2        | 744.8            |
| 13.00-13.15      | 130.9    | 21.4     | 73.6          | 225.9        | 903.6            |
| 13.15-13.30      | 124.1    | 19.9     | 50.2          | 194.2        | 776.8            |

Tabel Volume Traffic Counting Lengan Utara Senin. 20 Oktober 2003

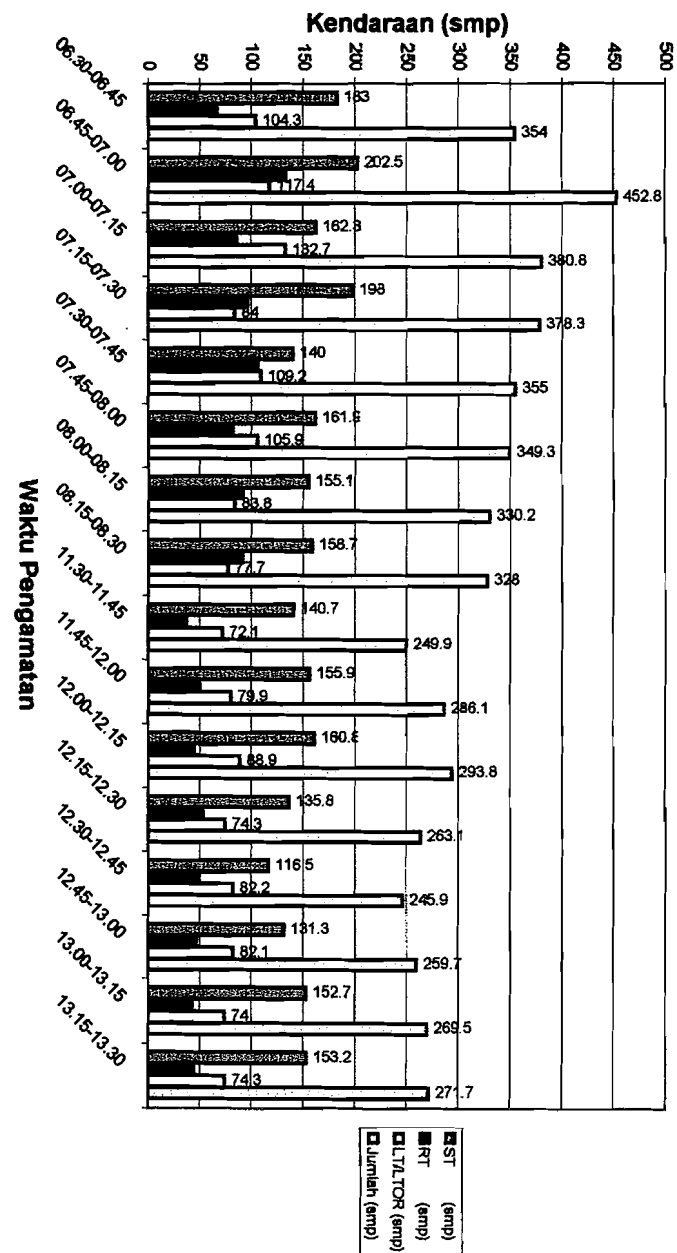
| Waktu Pengamatan | ST (smp) | RT (smp) | LT/LTOR (smp) | Jumlah (smp) | Volume (smp/jam) |
|------------------|----------|----------|---------------|--------------|------------------|
| 06.30-06.45      | 183      | 66.7     | 104.3         | 354          | 1416             |
| 06.45-07.00      | 202.5    | 132.9    | 117.4         | 452.8        | 1811.2           |
| 07.00-07.15      | 162.3    | 85.8     | 132.7         | 380.8        | 1523.2           |
| 07.15-07.30      | 198      | 96.3     | 84            | 378.3        | 1513.2           |
| 07.30-07.45      | 140      | 105.8    | 109.2         | 355          | 1420             |
| 07.45-08.00      | 161.9    | 81.5     | 105.9         | 349.3        | 1397.2           |
| 08.00-08.15      | 155.1    | 91.3     | 83.8          | 330.2        | 1320.8           |
| 08.15-08.30      | 158.7    | 91.6     | 77.7          | 328          | 1312             |
| 11.30-11.45      | 140.7    | 37.1     | 72.1          | 249.9        | 999.6            |
| 11.45-12.00      | 155.9    | 50.3     | 79.9          | 286.1        | 1144.4           |
| 12.00-12.15      | 160.8    | 44.1     | 88.9          | 293.8        | 1175.2           |
| 12.15-12.30      | 135.8    | 53       | 74.3          | 263.1        | 1052.4           |
| 12.30-12.45      | 116.5    | 47.2     | 82.2          | 245.9        | 983.6            |
| 12.45-13.00      | 131.3    | 46.3     | 82.1          | 259.7        | 1038.8           |
| 13.00-13.15      | 152.7    | 42.8     | 74            | 269.5        | 1078             |
| 13.15-13.30      | 153.2    | 44.2     | 74.3          | 271.7        | 1086.8           |

N L  
M N /

### Grafik Traffic Counting Lengan Utara Minggu, 19 Oktober 2003



### Grafik Traffic Counting Lengan Utara Senin, 20 Oktober 2003



## Lampiran 3

Tabel Volume Traffic Counting Lengan Timur minggu. 19 Oktober 2003

| Waktu Pengamatan | ST (smp) | RT (smp) | LT/LTOR (smp) | Jumlah (smp) | Volume (smp/jam) |
|------------------|----------|----------|---------------|--------------|------------------|
| 06.30-06.45      | 21.7     | 37.1     | 18.5          | 77.3         | 309.2            |
| 06.45-07.00      | 43.7     | 39.4     | 25            | 108.1        | 432.4            |
| 07.00-07.15      | 37.5     | 43.6     | 22.8          | 103.9        | 415.6            |
| 07.15-07.30      | 39.6     | 54.8     | 19.4          | 113.8        | 455.2            |
| 07.30-07.45      | 42.1     | 44.4     | 26.7          | 113.2        | 452.8            |
| 07.45-08.00      | 31.7     | 42.6     | 18            | 92.3         | 369.2            |
| 08.00-08.15      | 31.6     | 58.9     | 26.5          | 117          | 468              |
| 08.15-08.30      | 50.6     | 28.9     | 22.3          | 101.8        | 407.2            |
| 11.30-11.45      | 20.5     | 47.3     | 20.2          | 88           | 352              |
| 11.45-12.00      | 34.4     | 49.8     | 23            | 107.2        | 428.8            |
| 12.00-12.15      | 28.5     | 44.6     | 19.2          | 92.3         | 369.2            |
| 12.15-12.30      | 39.5     | 66.7     | 24.2          | 130.4        | 521.6            |
| 12.30-12.45      | 33       | 52.4     | 24.1          | 109.5        | 438              |
| 12.45-13.00      | 29.7     | 47.1     | 37.7          | 114.5        | 458              |
| 13.00-13.15      | 32.3     | 45.7     | 17.9          | 95.9         | 383.6            |
| 13.15-13.30      | 34.4     | 47.6     | 14.9          | 96.9         | 387.6            |

Tabel Volume Traffic Counting Lengan Timur SEnin. 20 Oktober 2003

| Waktu Pengamatan | ST (smp) | RT (smp) | LT/LTOR (smp) | Jumlah (smp) | Volume (smp/jam) |
|------------------|----------|----------|---------------|--------------|------------------|
| 06.30-06.45      | 40.8     | 43       | 10.2          | 94           | 376              |
| 06.45-07.00      | 69       | 54.9     | 23.1          | 147          | 588              |
| 07.00-07.15      | 61.4     | 68.8     | 17.5          | 147.7        | 590.8            |
| 07.15-07.30      | 82.3     | 42.4     | 13.5          | 138.2        | 552.8            |
| 07.30-07.45      | 58.1     | 57.9     | 15            | 131          | 524              |
| 07.45-08.00      | 39.5     | 45.2     | 18.5          | 103.2        | 412.8            |
| 08.00-08.15      | 49       | 58.7     | 20.5          | 128.2        | 512.8            |
| 08.15-08.30      | 64.2     | 50.6     | 28.7          | 143.5        | 574              |
| 11.30-11.45      | 56.8     | 68.5     | 18.5          | 143.8        | 575.2            |
| 11.45-12.00      | 52.8     | 60       | 17.3          | 130.1        | 520.4            |
| 12.00-12.15      | 49.3     | 64.2     | 18.1          | 131.6        | 526.4            |
| 12.15-12.30      | 60.9     | 70.1     | 13.6          | 144.6        | 578.4            |
| 12.30-12.45      | 50.3     | 79       | 18            | 147.3        | 589.2            |
| 12.45-13.00      | 42.4     | 58.8     | 22.6          | 123.8        | 495.2            |
| 13.00-13.15      | 55.7     | 60.9     | 21.3          | 137.9        | 551.6            |
| 13.15-13.30      | 58       | 65       | 23.7          | 146.7        | 586.8            |

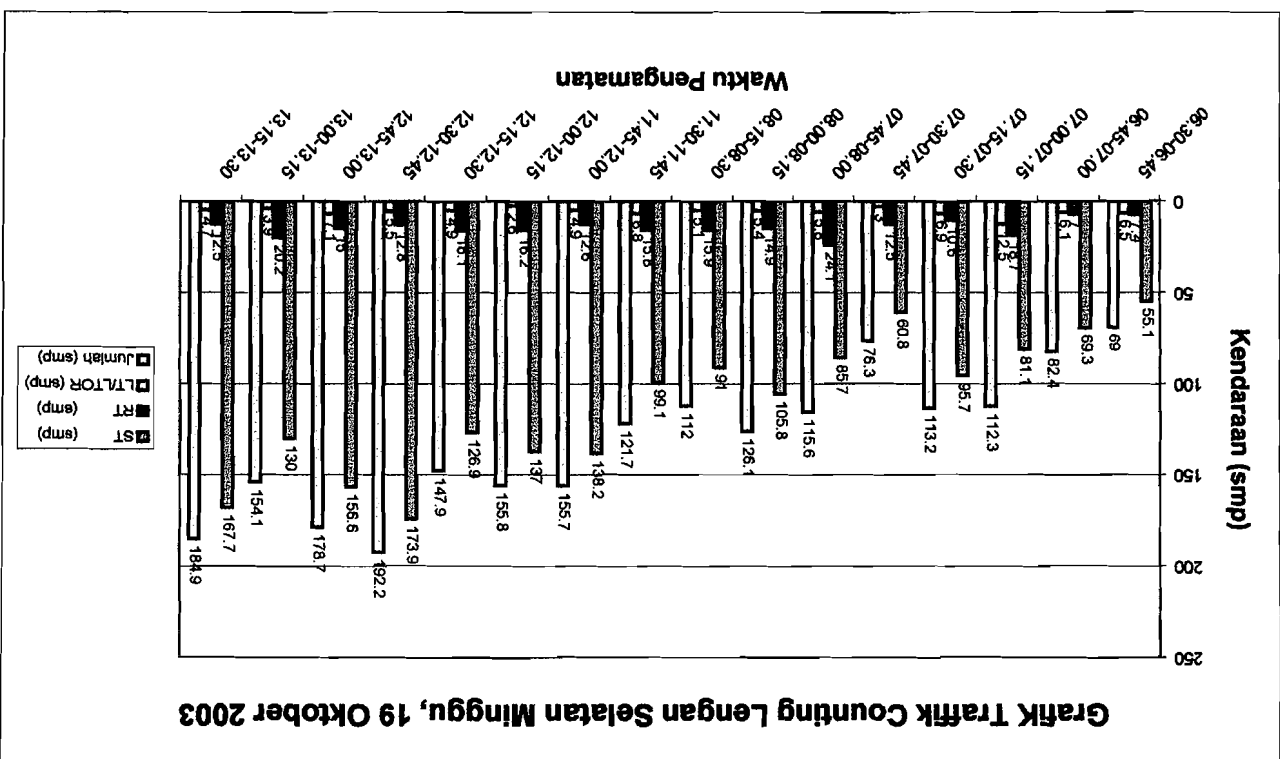
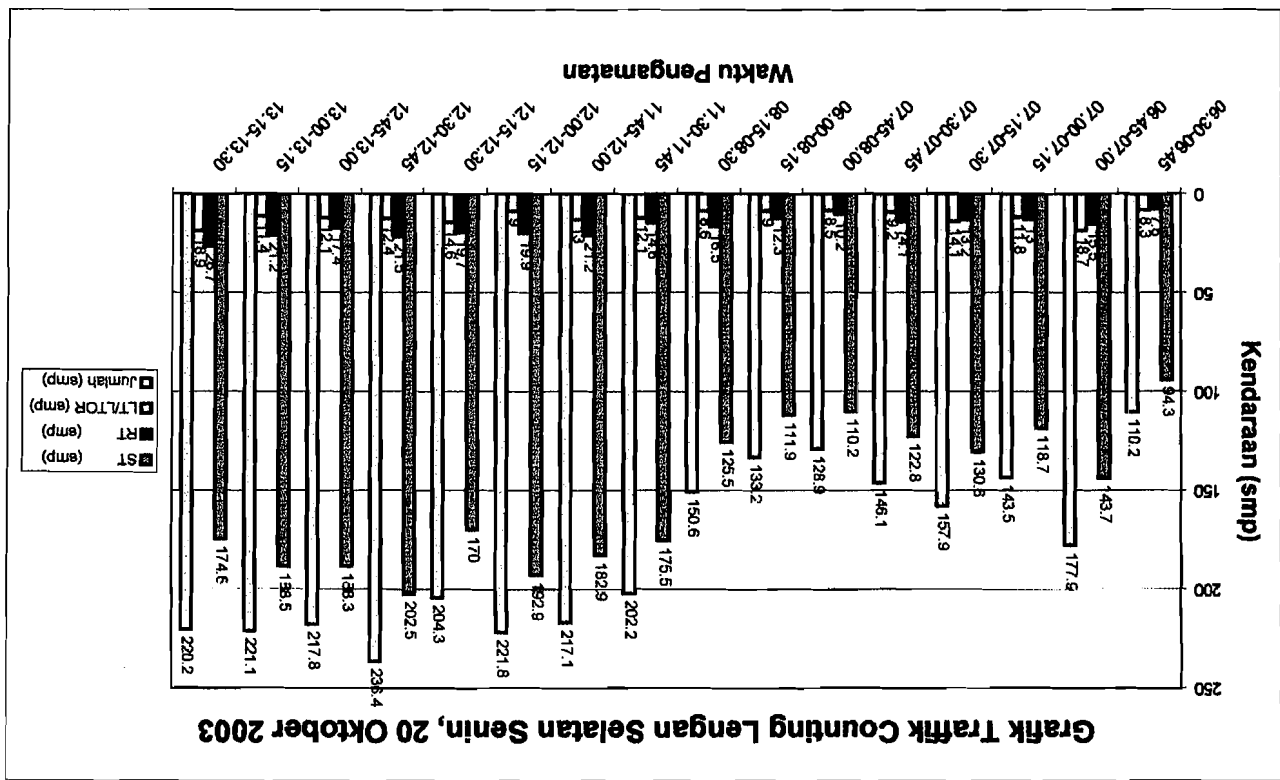


Tabel Volume Traffic Counting Lengan Selatan minggu. 19 Oktober 2003

| <b>Waktu Pengamatan</b> | <b>ST (smp)</b> | <b>RT (smp)</b> | <b>LT/LTOR (smp)</b> | <b>Jumlah (smp)</b> | <b>Volume (smp/jam)</b> |
|-------------------------|-----------------|-----------------|----------------------|---------------------|-------------------------|
| 06.30-06.45             | 55.1            | 7.4             | 6.5                  | 69                  | 276                     |
| 06.45-07.00             | 69.3            | 7               | 6.1                  | 82.4                | 329.6                   |
| 07.00-07.15             | 81.1            | 18.7            | 12.5                 | 112.3               | 449.2                   |
| 07.15-07.30             | 95.7            | 10.6            | 6.9                  | 113.2               | 452.8                   |
| 07.30-07.45             | 60.8            | 12.5            | 3                    | 76.3                | 305.2                   |
| 07.45-08.00             | 85.7            | 24.1            | 5.8                  | 115.6               | 462.4                   |
| 08.00-08.15             | 105.8           | 14.9            | 5.4                  | 126.1               | 504.4                   |
| 08.15-08.30             | 91              | 15.9            | 5.1                  | 112                 | 448                     |
| 11.30-11.45             | 99.1            | 15.8            | 6.8                  | 121.7               | 486.8                   |
| 11.45-12.00             | 138.2           | 12.6            | 4.9                  | 155.7               | 622.8                   |
| 12.00-12.15             | 137             | 16.2            | 2.6                  | 155.8               | 623.2                   |
| 12.15-12.30             | 126.9           | 16.1            | 4.9                  | 147.9               | 591.6                   |
| 12.30-12.45             | 173.9           | 12.8            | 5.5                  | 192.2               | 768.8                   |
| 12.45-13.00             | 156.6           | 15              | 7.1                  | 178.7               | 714.8                   |
| 13.00-13.15             | 130             | 20.2            | 3.9                  | 154.1               | 616.4                   |
| 13.15-13.30             | 167.7           | 12.5            | 4.7                  | 184.9               | 739.6                   |

Tabel Volume Traffic Counting Lengan Selatan Senin. 20 Oktober 2003

| <b>Waktu Pengamatan</b> | <b>ST (smp)</b> | <b>RT (smp)</b> | <b>LT/LTOR (smp)</b> | <b>Jumlah (smp)</b> | <b>Volume (smp/jam)</b> |
|-------------------------|-----------------|-----------------|----------------------|---------------------|-------------------------|
| 06.30-06.45             | 94.3            | 7.6             | 8.3                  | 110.2               | 440.8                   |
| 06.45-07.00             | 143.7           | 15.5            | 18.7                 | 177.9               | 711.6                   |
| 07.00-07.15             | 118.7           | 13              | 11.8                 | 143.5               | 574                     |
| 07.15-07.30             | 130.6           | 13.2            | 14.1                 | 157.9               | 631.6                   |
| 07.30-07.45             | 122.8           | 14.1            | 9.2                  | 146.1               | 584.4                   |
| 07.45-08.00             | 110.2           | 10.2            | 8.5                  | 128.9               | 515.6                   |
| 08.00-08.15             | 111.9           | 12.3            | 9                    | 133.2               | 532.8                   |
| 08.15-08.30             | 125.5           | 16.5            | 8.6                  | 150.6               | 602.4                   |
| 11.30-11.45             | 175.5           | 14.6            | 12.1                 | 202.2               | 808.8                   |
| 11.45-12.00             | 182.9           | 21.2            | 13                   | 217.1               | 868.4                   |
| 12.00-12.15             | 192.9           | 19.9            | 9                    | 221.8               | 887.2                   |
| 12.15-12.30             | 170             | 19.7            | 14.6                 | 204.3               | 817.2                   |
| 12.30-12.45             | 202.5           | 21.5            | 12.4                 | 236.4               | 945.6                   |
| 12.45-13.00             | 188.3           | 17.4            | 12.1                 | 217.8               | 871.2                   |
| 13.00-13.15             | 188.5           | 21.2            | 11.4                 | 221.1               | 884.4                   |
| 13.15-13.30             | 174.6           | 26.7            | 18.9                 | 220.2               | 880.8                   |

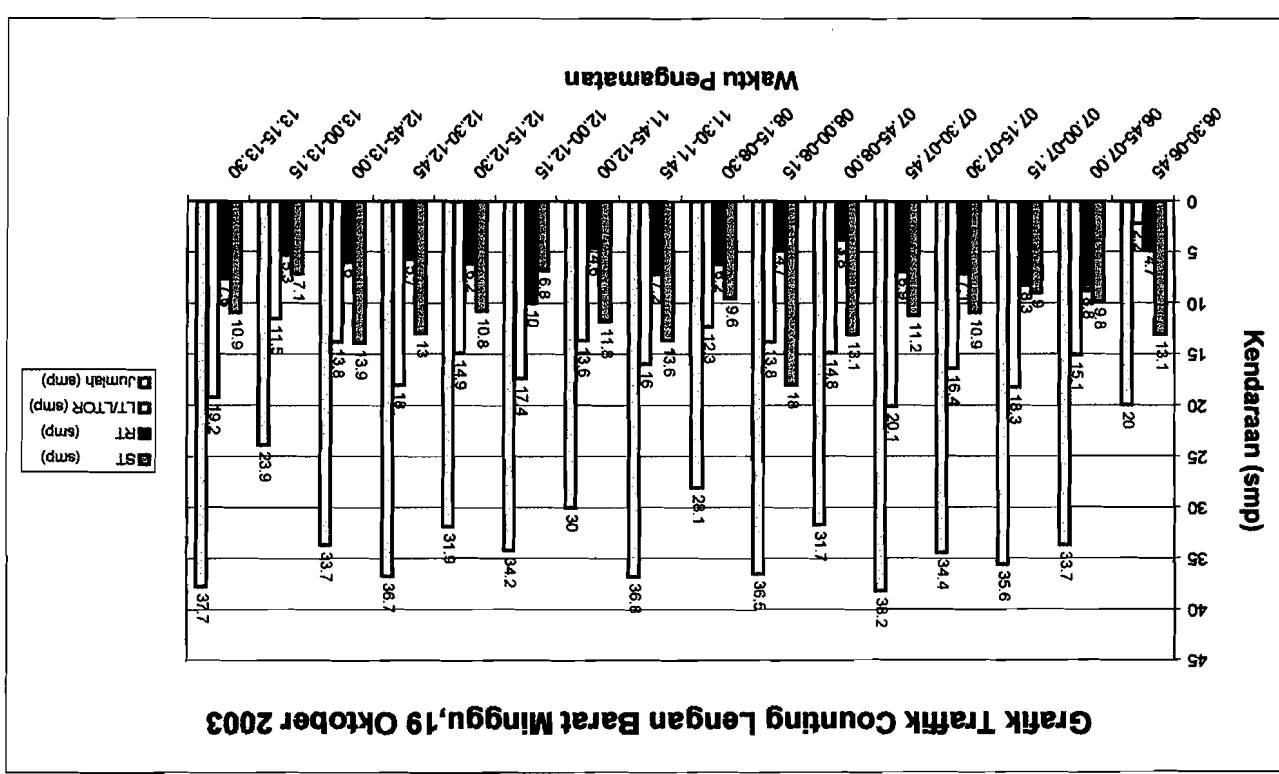
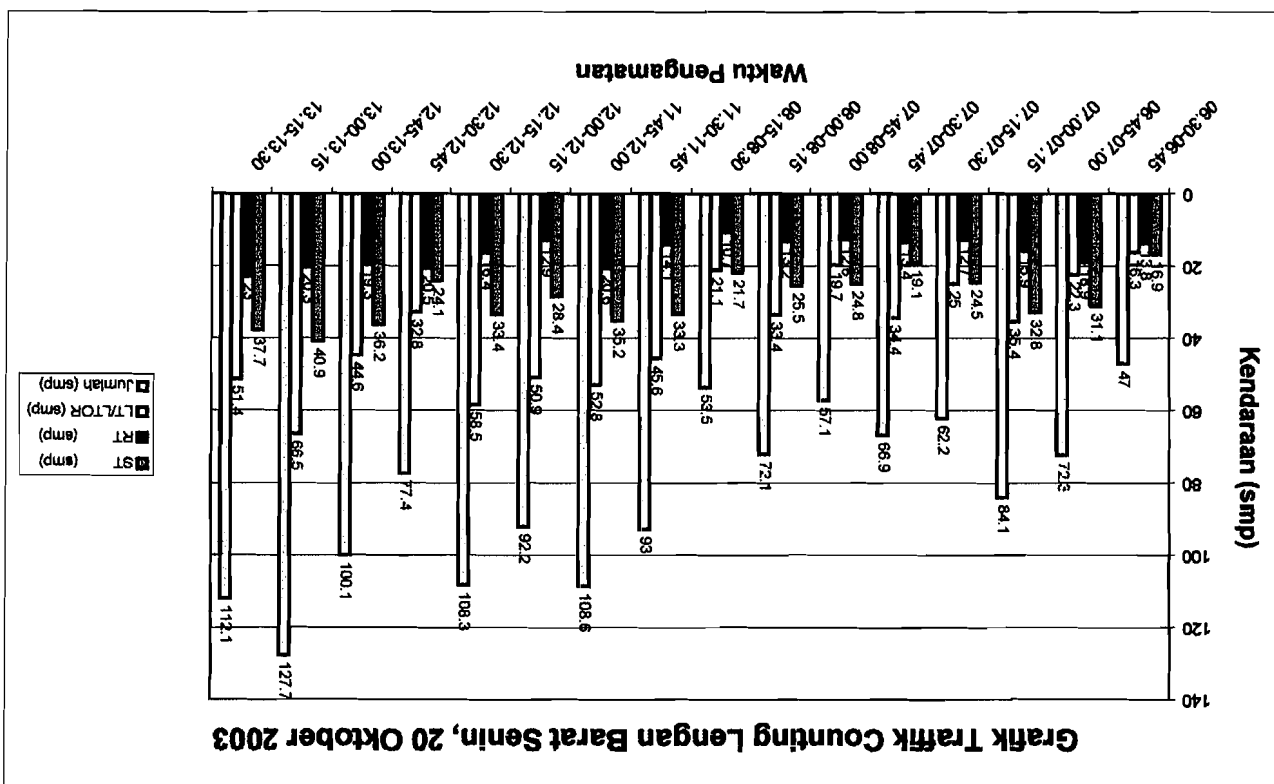


Tabel Volume Traffic Counting Lengan Barat minggu. 19 Oktober 2003

| <b>Waktu Pengamatan</b> | <b>ST (smp)</b> | <b>RT (smp)</b> | <b>LT/LTOR (smp)</b> | <b>Jumlah (smp)</b> | <b>Volume (smp/jam)</b> |
|-------------------------|-----------------|-----------------|----------------------|---------------------|-------------------------|
| 06.30-06.45             | 13.1            | 4.7             | 2.2                  | 20                  | 80                      |
| 06.45-07.00             | 9.8             | 8.8             | 15.1                 | 33.7                | 134.8                   |
| 07.00-07.15             | 9               | 8.3             | 18.3                 | 35.6                | 142.4                   |
| 07.15-07.30             | 10.9            | 7.1             | 16.4                 | 34.4                | 137.6                   |
| 07.30-07.45             | 11.2            | 6.9             | 20.1                 | 38.2                | 152.8                   |
| 07.45-08.00             | 13.1            | 3.8             | 14.8                 | 31.7                | 126.8                   |
| 08.00-08.15             | 18              | 4.7             | 13.8                 | 36.5                | 146                     |
| 08.15-08.30             | 9.6             | 6.2             | 12.3                 | 28.1                | 112.4                   |
| 11.30-11.45             | 13.6            | 7.2             | 16                   | 36.8                | 147.2                   |
| 11.45-12.00             | 11.8            | 4.6             | 13.6                 | 30                  | 120                     |
| 12.00-12.15             | 6.8             | 10              | 17.4                 | 34.2                | 136.8                   |
| 12.15-12.30             | 10.8            | 6.2             | 14.9                 | 31.9                | 127.6                   |
| 12.30-12.45             | 13              | 5.7             | 18                   | 36.7                | 146.8                   |
| 12.45-13.00             | 13.9            | 6               | 13.8                 | 33.7                | 134.8                   |
| 13.00-13.15             | 7.1             | 5.3             | 11.5                 | 23.9                | 95.6                    |
| 13.15-13.30             | 10.9            | 7.6             | 19.2                 | 37.7                | 150.8                   |

Tabel Volume Traffic Counting Lengan Barat Senin. 20 Oktober 2003

| <b>Waktu Pengamatan</b> | <b>ST (smp)</b> | <b>RT (smp)</b> | <b>LT/LTOR (smp)</b> | <b>Jumlah (smp)</b> | <b>Volume (smp/jam)</b> |
|-------------------------|-----------------|-----------------|----------------------|---------------------|-------------------------|
| 06.30-06.45             | 16.9            | 13.8            | 16.3                 | 47                  | 188                     |
| 06.45-07.00             | 31.1            | 18.9            | 22.3                 | 72.3                | 289.2                   |
| 07.00-07.15             | 32.8            | 15.9            | 35.4                 | 84.1                | 336.4                   |
| 07.15-07.30             | 24.5            | 12.7            | 25                   | 62.2                | 248.8                   |
| 07.30-07.45             | 19.1            | 13.4            | 34.4                 | 66.9                | 267.6                   |
| 07.45-08.00             | 24.8            | 12.6            | 19.7                 | 57.1                | 228.4                   |
| 08.00-08.15             | 25.5            | 13.2            | 33.4                 | 72.1                | 288.4                   |
| 08.15-08.30             | 21.7            | 10.7            | 21.1                 | 53.5                | 214                     |
| 11.30-11.45             | 33.3            | 14.1            | 45.6                 | 93                  | 372                     |
| 11.45-12.00             | 35.2            | 20.6            | 52.8                 | 108.6               | 434.4                   |
| 12.00-12.15             | 28.4            | 12.9            | 50.9                 | 92.2                | 368.8                   |
| 12.15-12.30             | 33.4            | 16.4            | 58.5                 | 108.3               | 433.2                   |
| 12.30-12.45             | 24.1            | 20.5            | 32.8                 | 77.4                | 309.6                   |
| 12.45-13.00             | 36.2            | 19.3            | 44.6                 | 100.1               | 400.4                   |
| 13.00-13.15             | 40.9            | 20.3            | 66.5                 | 127.7               | 510.8                   |
| 13.15-13.30             | 37.7            | 23              | 51.4                 | 112.1               | 448.4                   |

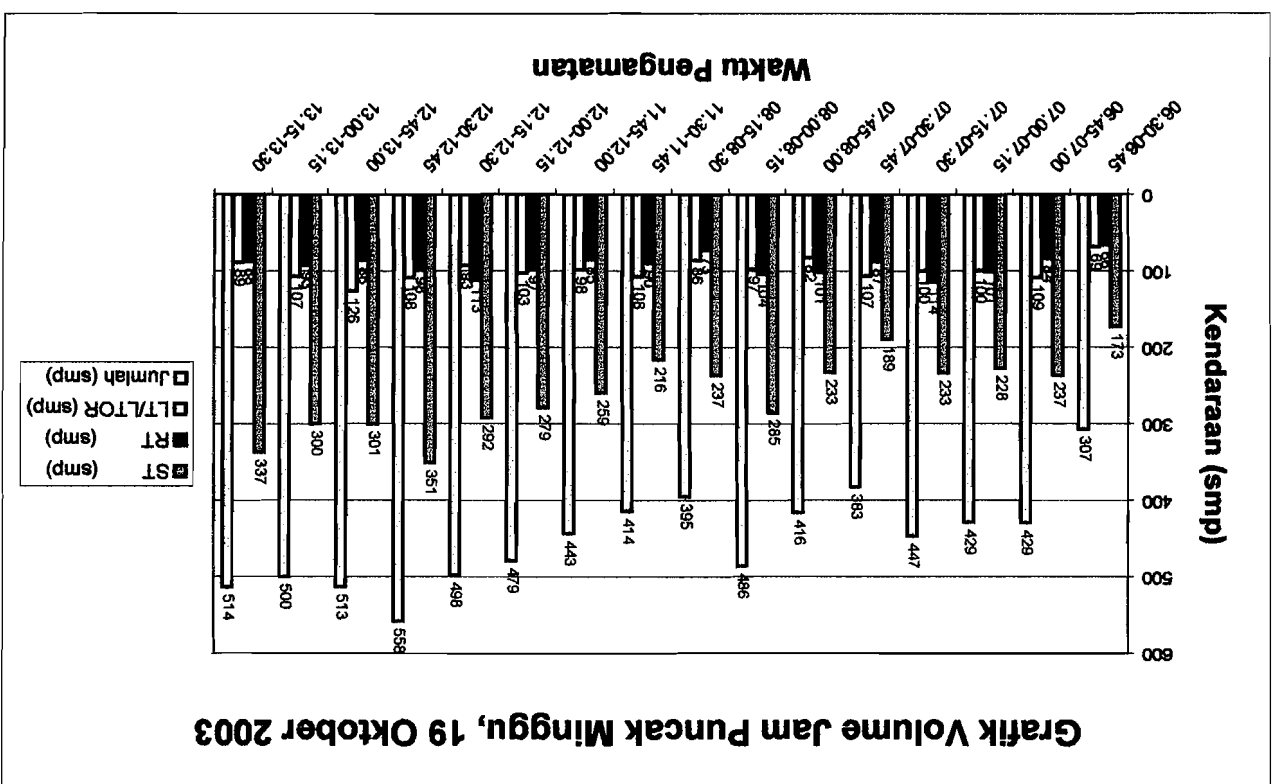
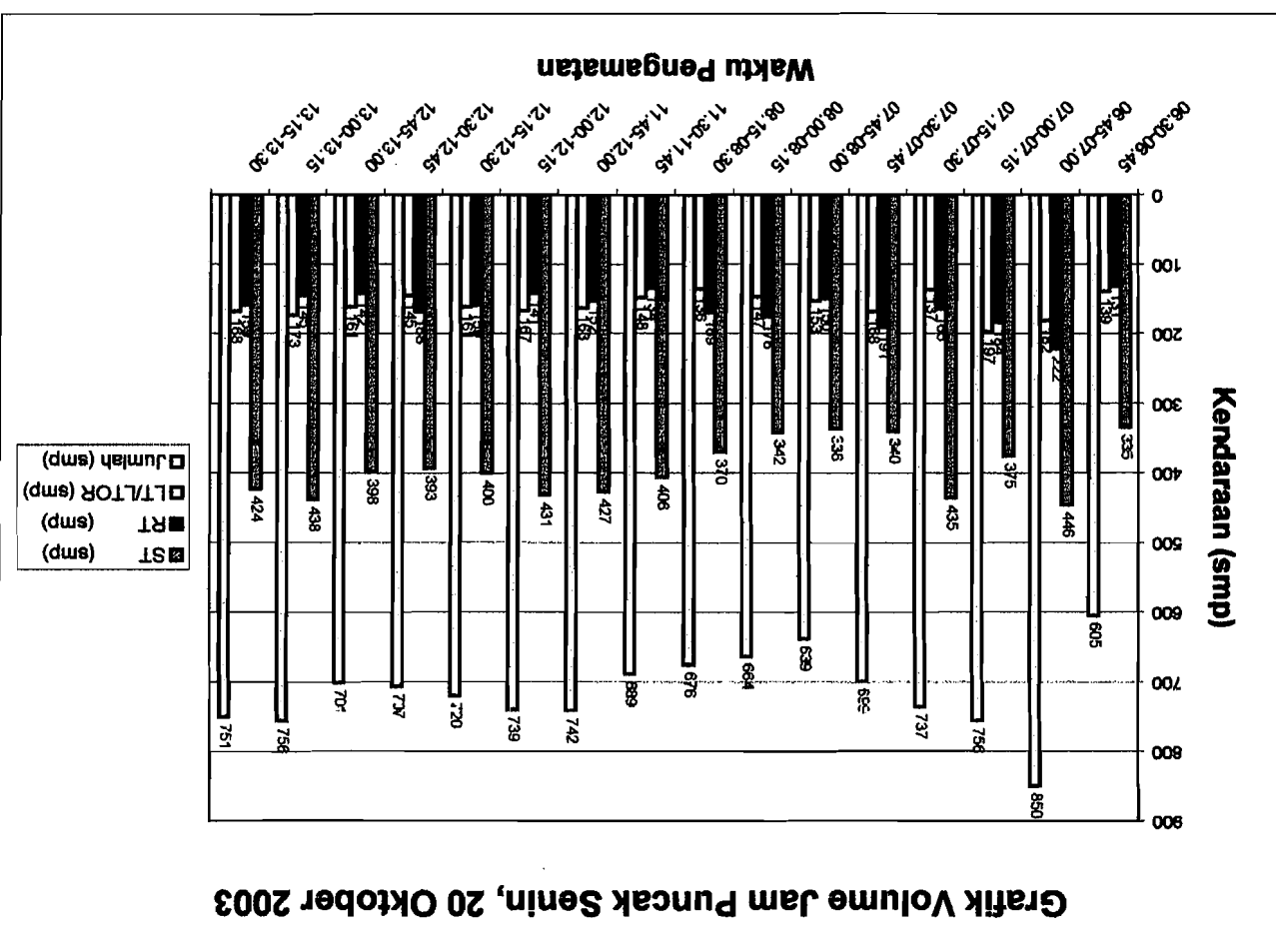


Lampiran 4  
Tabel Volume Jam Puncak Simpang Empat UGM Minggu, 19 Oktober 2003

| <b>Waktu Pengamatan</b> | <b>ST (smp)</b> | <b>RT (smp)</b> | <b>LT/LTOR (smp)</b> | <b>Jumlah (smp)</b> | <b>Volume (smp/iam)</b> |
|-------------------------|-----------------|-----------------|----------------------|---------------------|-------------------------|
| 06.30-06.45             | 172.6           | 66              | 68.6                 | 307.2               | 1228.8                  |
| <b>06.45-07.00</b>      | <b>236.7</b>    | <b>83.8</b>     | <b>108.8</b>         | <b>429.3</b>        | <b>1717.2</b>           |
| <b>07.00-07.15</b>      | <b>227.5</b>    | <b>101.1</b>    | <b>99.9</b>          | <b>428.5</b>        | <b>1714</b>             |
| <b>07.15-07.30</b>      | <b>233.3</b>    | <b>113.9</b>    | <b>99.8</b>          | <b>447</b>          | <b>1788</b>             |
| <b>07.30-07.45</b>      | <b>189</b>      | <b>87.1</b>     | <b>106.5</b>         | <b>382.6</b>        | <b>1530.4</b>           |
| 07.45-08.00             | 232.5           | 101.4           | 82.2                 | 416.1               | 1664.4                  |
| 08.00-08.15             | 285.2           | 104             | 97                   | 486.2               | 1944.8                  |
| 08.15-08.30             | 236.6           | 72.5            | 86.1                 | 395.2               | 1580.8                  |
| 11.30-11.45             | 216.3           | 89.9            | 107.8                | 414                 | 1656                    |
| 11.45-12.00             | 259.3           | 85.4            | 98.4                 | 443.1               | 1772.4                  |
| 12.00-12.15             | 279.1           | 97.4            | 102.5                | 479                 | 1916                    |
| 12.15-12.30             | 292.3           | 112.6           | 93.1                 | 498                 | 1992                    |
| <b>12.30-12.45</b>      | <b>351.3</b>    | <b>98.3</b>     | <b>108.3</b>         | <b>557.9</b>        | <b>2231.6</b>           |
| <b>12.45-13.00</b>      | <b>301</b>      | <b>86.2</b>     | <b>125.9</b>         | <b>513.1</b>        | <b>2052.4</b>           |
| <b>13.00-13.15</b>      | <b>300.3</b>    | <b>92.6</b>     | <b>106.9</b>         | <b>499.8</b>        | <b>1999.2</b>           |
| <b>13.15-13.30</b>      | <b>337.1</b>    | <b>87.6</b>     | <b>89</b>            | <b>513.7</b>        | <b>2054.8</b>           |

Tabel Volume Jam Puncak Simpang Empat UGM Senin, 20 Oktober 2003

| <b>Waktu Pengamatan</b> | <b>ST (smp)</b> | <b>RT (smp)</b> | <b>LT/LTOR (smp)</b> | <b>Jumlah (smp)</b> | <b>Volume (smp/iam)</b> |
|-------------------------|-----------------|-----------------|----------------------|---------------------|-------------------------|
| 06.30-06.45             | 335             | 131.1           | 139.1                | 605.2               | 2420.8                  |
| <b>06.45-07.00</b>      | <b>446.3</b>    | <b>222.2</b>    | <b>181.5</b>         | <b>850</b>          | <b>3400</b>             |
| <b>07.00-07.15</b>      | <b>375.2</b>    | <b>183.5</b>    | <b>197.4</b>         | <b>756.1</b>        | <b>3024.4</b>           |
| <b>07.15-07.30</b>      | <b>435.4</b>    | <b>164.6</b>    | <b>136.6</b>         | <b>736.6</b>        | <b>2946.4</b>           |
| <b>07.30-07.45</b>      | <b>340</b>      | <b>191.2</b>    | <b>167.8</b>         | <b>699</b>          | <b>2796</b>             |
| 07.45-08.00             | 336.4           | 149.5           | 152.6                | 638.5               | 2554                    |
| 08.00-08.15             | 341.5           | 175.5           | 146.7                | 663.7               | 2654.8                  |
| 08.15-08.30             | 370.1           | 169.4           | 136.1                | 675.6               | 2702.4                  |
| 11.30-11.45             | 406.3           | 134.3           | 148.3                | 688.9               | 2755.6                  |
| 11.45-12.00             | 426.8           | 152.1           | 163                  | 741.9               | 2967.6                  |
| 12.00-12.15             | 431.4           | 141.1           | 166.9                | 739.4               | 2957.6                  |
| 12.15-12.30             | 400.1           | 159.2           | 161                  | 720.3               | 2881.2                  |
| <b>12.30-12.45</b>      | <b>393.4</b>    | <b>168.2</b>    | <b>145.4</b>         | <b>707</b>          | <b>2828</b>             |
| <b>12.45-13.00</b>      | <b>398.2</b>    | <b>141.8</b>    | <b>161.4</b>         | <b>701.4</b>        | <b>2805.6</b>           |
| <b>13.00-13.15</b>      | <b>437.8</b>    | <b>145.2</b>    | <b>173.2</b>         | <b>756.2</b>        | <b>3024.8</b>           |
| <b>13.15-13.30</b>      | <b>423.5</b>    | <b>158.9</b>    | <b>168.3</b>         | <b>750.7</b>        | <b>3002.8</b>           |



Tabel Data Traffic Counting Jam Puncak

| JAM PUNCAK PAGI MINGGU, 19 OKTOBER 2003 |                  |           |     |     |    |       |           |    |     |    |       |                |     |     |    |       |
|---|------------------|-----------|-----|-----|----|-------|-----------|----|-----|----|-------|----------------|-----|-----|----|-------|
| Lengan                                  | Waktu Pengamatan | ST (kend) |     |     |    | TOTAL | RT (kend) |    |     |    | TOTAL | LT/LTOR (kend) |     |     |    | TOTAL |
|   |                  | HV        | LV  | MC  | UM |       | HV        | LV | MC  | UM |       | HV             | LV  | MC  | UM |       |
| UTARA                                   | 06.45-07.00      | 0         | 82  | 152 | 3  | 237   | 14        | 9  | 7   | 0  | 30    | 0              | 30  | 153 | 4  | 187   |
|   | 07.00-07.15      | 3         | 60  | 175 | 2  | 240   | 11        | 12 | 21  | 0  | 44    | 0              | 23  | 104 | 5  | 132   |
|   | 07.15-07.30      | 0         | 51  | 173 | 3  | 227   | 10        | 25 | 17  | 0  | 52    | 0              | 35  | 103 | 3  | 141   |
|   | 07.30-07.45      | 2         | 40  | 159 | 1  | 202   | 7         | 10 | 21  | 0  | 38    | 0              | 24  | 146 | 7  | 177   |
|   | Jumlah           | 5         | 233 | 659 | 9  | 906   | 42        | 56 | 66  | 0  | 164   | 0              | 112 | 506 | 19 | 637   |
| TIMUR                                   | 06.45-07.00      | 25        | 5   | 31  | 0  | 61    | 9         | 17 | 46  | 3  | 75    | 8              | 9   | 23  | 2  | 42    |
|   | 07.00-07.15      | 21        | 6   | 21  | 0  | 48    | 10        | 23 | 33  | 2  | 68    | 3              | 9   | 47  | 1  | 60    |
|   | 07.15-07.30      | 20        | 6   | 38  | 0  | 64    | 14        | 25 | 53  | 2  | 94    | 2              | 5   | 54  | 2  | 63    |
|   | 07.30-07.45      | 25        | 1   | 38  | 2  | 66    | 8         | 22 | 55  | 2  | 87    | 3              | 15  | 34  | 2  | 54    |
|   | Jumlah           | 91        | 18  | 128 | 2  | 239   | 41        | 87 | 187 | 9  | 324   | 16             | 38  | 158 | 7  | 219   |
| SELATAN                                 | 06.45-07.00      | 0         | 48  | 89  | 7  | 144   | 0         | 3  | 15  | 2  | 20    | 0              | 3   | 13  | 1  | 17    |
|   | 07.00-07.15      | 2         | 45  | 150 | 7  | 204   | 0         | 12 | 26  | 3  | 41    | 0              | 8   | 15  | 3  | 26    |
|   | 07.15-07.30      | 3         | 61  | 144 | 4  | 212   | 0         | 5  | 23  | 2  | 30    | 0              | 4   | 12  | 1  | 17    |
|   | 07.30-07.45      | 0         | 35  | 129 | 0  | 164   | 0         | 7  | 20  | 3  | 30    | 0              | 0   | 10  | 2  | 12    |
|   | Jumlah           | 5         | 189 | 512 | 18 | 724   | 0         | 27 | 84  | 10 | 121   | 0              | 15  | 50  | 7  | 72    |
| BARAT                                   | 06.45-07.00      | 0         | 4   | 29  | 0  | 33    | 0         | 2  | 24  | 4  | 30    | 2              | 9   | 15  | 1  | 27    |
|   | 07.00-07.15      | 0         | 3   | 30  | 0  | 33    | 0         | 4  | 9   | 5  | 18    | 0              | 12  | 29  | 1  | 42    |
|   | 07.15-07.30      | 0         | 3   | 37  | 1  | 41    | 0         | 4  | 13  | 1  | 18    | 0              | 11  | 22  | 2  | 35    |
|   | 07.30-07.45      | 0         | 1   | 46  | 2  | 49    | 0         | 3  | 12  | 3  | 18    | 3              | 12  | 16  | 2  | 33    |
|   | Jumlah           | 0         | 11  | 142 | 3  | 156   | 0         | 13 | 58  | 13 | 84    | 5              | 44  | 82  | 6  | 137   |

Tabel Data Traffic Counting Jam Puncak

| JAM PUNCAK SIANG MINGGU, 19 OKTOBER 2003 |                  |           |     |     |    |       |           |     |     |    |       |                |     |     |    |       |
|--|------------------|-----------|-----|-----|----|-------|-----------|-----|-----|----|-------|----------------|-----|-----|----|-------|
| Lengan                                   | Waktu Pengamatan | ST (kend) |     |     |    | TOTAL | RT (kend) |     |     |    | TOTAL | LT/LTOR (kend) |     |     |    | TOTAL |
|  |                  | HV        | LV  | MC  | UM |       | HV        | LV  | MC  | UM |       | HV             | LV  | MC  | UM |       |
| UTARA                                    | 12.30-12.45      | 2         | 98  | 154 | 0  | 254   | 12        | 8   | 19  | 0  | 39    | 0              | 42  | 91  | 1  | 134   |
|  | 12.45-13.00      | 0         | 60  | 204 | 0  | 264   | 5         | 6   | 28  | 0  | 39    | 0              | 46  | 104 | 1  | 151   |
|  | 13.00-13.15      | 3         | 73  | 265 | 2  | 343   | 7         | 6   | 29  | 1  | 43    | 0              | 48  | 113 | 6  | 167   |
|  | 13.15-13.30      | 0         | 75  | 243 | 1  | 319   | 7         | 6   | 24  | 0  | 37    | 0              | 31  | 91  | 2  | 124   |
|  | Jumlah           | 5         | 306 | 866 | 3  | 1180  | 31        | 26  | 100 | 1  | 158   | 0              | 167 | 399 | 10 | 576   |
| TIMUR                                    | 12.30-12.45      | 16        | 4   | 41  | 0  | 61    | 8         | 34  | 40  | 0  | 82    | 4              | 5   | 67  | 1  | 77    |
|  | 12.45-13.00      | 16        | 2   | 27  | 3  | 48    | 9         | 29  | 27  | 2  | 67    | 8              | 14  | 64  | 1  | 87    |
|  | 13.00-13.15      | 18        | 1   | 32  | 3  | 54    | 11        | 22  | 42  | 2  | 77    | 2              | 5   | 49  | 1  | 57    |
|  | 13.15-13.30      | 17        | 5   | 34  | 1  | 57    | 8         | 31  | 31  | 0  | 70    | 1              | 4   | 48  | 0  | 53    |
|  | Jumlah           | 67        | 12  | 134 | 7  | 220   | 36        | 116 | 140 | 4  | 296   | 15             | 28  | 228 | 3  | 274   |
| SELATAN                                  | 12.30-12.45      | 1         | 121 | 253 | 2  | 377   | 0         | 9   | 19  | 0  | 28    | 0              | 1   | 15  | 3  | 19    |
|  | 12.45-13.00      | 1         | 115 | 194 | 3  | 313   | 0         | 10  | 20  | 2  | 32    | 0              | 3   | 13  | 3  | 19    |
|  | 13.00-13.15      | 0         | 92  | 175 | 6  | 273   | 0         | 14  | 31  | 0  | 45    | 0              | 2   | 7   | 1  | 10    |
|  | 13.15-13.30      | 1         | 119 | 222 | 6  | 348   | 0         | 8   | 20  | 1  | 29    | 0              | 1   | 16  | 1  | 18    |
|  | Jumlah           | 3         | 447 | 844 | 17 | 1311  | 0         | 41  | 90  | 3  | 134   | 0              | 7   | 51  | 8  | 66    |
| BARAT                                    | 12.30-12.45      | 1         | 5   | 40  | 0  | 46    | 0         | 2   | 11  | 3  | 16    | 0              | 12  | 30  | 0  | 42    |
|  | 12.45-13.00      | 1         | 4   | 37  | 5  | 47    | 0         | 2   | 15  | 2  | 19    | 0              | 7   | 34  | 0  | 41    |
|  | 13.00-13.15      | 0         | 1   | 28  | 1  | 30    | 0         | 1   | 19  | 1  | 21    | 0              | 7   | 20  | 1  | 28    |
|  | 13.15-13.30      | 0         | 6   | 22  | 1  | 29    | 0         | 4   | 18  | 0  | 22    | 0              | 12  | 31  | 2  | 45    |
|  | Jumlah           | 2         | 16  | 127 | 7  | 152   | 0         | 9   | 63  | 6  | 78    | 0              | 38  | 115 | 3  | 156   |

Tabel Data Traffic Counting Jam Puncak

| JAM PUNCAK PAGI SENIN, 20 OKTOBER 2003 |                  |           |     |      |    |       |           |     |     |    |       |                |     |      |    |       |
|--|------------------|-----------|-----|------|----|-------|-----------|-----|-----|----|-------|----------------|-----|------|----|-------|
| Lengan                                 | Waktu Pengamatan | ST (kend) |     |      |    | TOTAL | RT (kend) |     |     |    | TOTAL | LT/LTOR (kend) |     |      |    | TOTAL |
|  |                  | HV        | LV  | MC   | UM |       | HV        | LV  | MC  | UM |       | HV             | LV  | MC   | UM |       |
| UTARA                                  | 06.45-07.00      | 3         | 93  | 493  | 14 | 603   | 22        | 60  | 199 | 9  | 290   | 0              | 43  | 352  | 8  | 403   |
|  | 07.00-07.15      | 2         | 71  | 426  | 7  | 506   | 19        | 41  | 88  | 5  | 153   | 0              | 54  | 381  | 5  | 440   |
|  | 07.15-07.30      | 0         | 100 | 445  | 18 | 563   | 27        | 34  | 121 | 6  | 188   | 0              | 36  | 235  | 2  | 273   |
|  | 07.30-07.45      | 3         | 73  | 293  | 9  | 378   | 25        | 43  | 129 | 9  | 206   | 0              | 62  | 211  | 10 | 283   |
|  | Jumlah           | 8         | 337 | 1657 | 48 | 2050  | 93        | 178 | 537 | 29 | 837   | 0              | 195 | 1179 | 25 | 1399  |
| TIMUR                                  | 06.45-07.00      | 38        | 10  | 48   | 0  | 96    | 21        | 10  | 78  | 4  | 113   | 0              | 9   | 63   | 3  | 75    |
|  | 07.00-07.15      | 29        | 11  | 51   | 5  | 96    | 19        | 25  | 83  | 5  | 132   | 1              | 3   | 61   | 2  | 67    |
|  | 07.15-07.30      | 46        | 12  | 50   | 1  | 109   | 13        | 14  | 55  | 1  | 83    | 0              | 4   | 40   | 3  | 47    |
|  | 07.30-07.45      | 31        | 9   | 39   | 2  | 81    | 19        | 18  | 61  | 6  | 104   | 0              | 8   | 35   | 0  | 43    |
|  | Jumlah           | 144       | 42  | 188  | 8  | 382   | 72        | 67  | 277 | 16 | 432   | 1              | 24  | 199  | 8  | 232   |
| SELATAN                                | 06.45-07.00      | 0         | 81  | 286  | 11 | 378   | 0         | 9   | 30  | 1  | 40    | 0              | 13  | 21   | 3  | 37    |
|  | 07.00-07.15      | 0         | 75  | 191  | 11 | 277   | 0         | 6   | 30  | 2  | 38    | 0              | 7   | 24   | 0  | 31    |
|  | 07.15-07.30      | 2         | 63  | 280  | 18 | 363   | 0         | 8   | 21  | 2  | 31    | 0              | 8   | 28   | 1  | 37    |
|  | 07.30-07.45      | 0         | 69  | 214  | 22 | 305   | 0         | 8   | 23  | 3  | 34    | 0              | 4   | 16   | 4  | 24    |
|  | Jumlah           | 2         | 288 | 971  | 62 | 1323  | 0         | 31  | 104 | 8  | 143   | 0              | 32  | 89   | 8  | 129   |
| BARAT                                  | 06.45-07.00      | 0         | 8   | 83   | 13 | 104   | 0         | 6   | 47  | 7  | 60    | 0              | 20  | 9    | 1  | 30    |
|  | 07.00-07.15      | 0         | 7   | 99   | 12 | 118   | 0         | 1   | 67  | 3  | 71    | 0              | 29  | 32   | 0  | 61    |
|  | 07.15-07.30      | 0         | 2   | 90   | 9  | 101   | 0         | 1   | 46  | 5  | 52    | 0              | 22  | 15   | 0  | 37    |
|  | 07.30-07.45      | 0         | 4   | 58   | 7  | 69    | 0         | 3   | 42  | 4  | 49    | 0              | 28  | 32   | 0  | 60    |
|  | Jumlah           | 0         | 21  | 330  | 41 | 392   | 0         | 11  | 202 | 19 | 232   | 0              | 99  | 88   | 1  | 188   |

Tabel Data Traffic Counting Jam Puncak

| JAM PUNCAK SIANG SENIN, 20 OKTOBER 2003 |                  |           |     |      |    |       |           |     |     |    |       |                |     |     |    |       |
|---|------------------|-----------|-----|------|----|-------|-----------|-----|-----|----|-------|----------------|-----|-----|----|-------|
| Lengan                                  | Waktu Pengamatan | ST (kend) |     |      |    | TOTAL | RT (kend) |     |     |    | TOTAL | LT/LTOR (kend) |     |     |    | TOTAL |
|   |                  | HV        | LV  | MC   | UM |       | HV        | LV  | MC  | UM |       | HV             | LV  | MC  | UM |       |
| UTARA                                   | 12.30-12.45      | 0         | 67  | 235  | 5  | 307   | 12        | 19  | 53  | 4  | 88    | 0              | 44  | 186 | 2  | 232   |
|   | 12.45-13.00      | 0         | 73  | 289  | 1  | 363   | 13        | 15  | 62  | 4  | 94    | 0              | 44  | 188 | 1  | 233   |
|   | 13.00-13.15      | 0         | 89  | 311  | 3  | 403   | 11        | 15  | 55  | 5  | 86    | 0              | 38  | 170 | 4  | 212   |
|   | 13.15-13.30      | 0         | 86  | 336  | 0  | 422   | 9         | 21  | 55  | 1  | 86    | 0              | 40  | 169 | 1  | 210   |
|   | Jumlah           | 0         | 315 | 1171 | 9  | 1495  | 45        | 70  | 225 | 14 | 354   | 0              | 166 | 713 | 8  | 887   |
| TIMUR                                   | 12.30-12.45      | 27        | 6   | 41   | 2  | 76    | 15        | 42  | 85  | 1  | 143   | 2              | 5   | 47  | 2  | 56    |
|   | 12.45-13.00      | 20        | 5   | 52   | 2  | 79    | 16        | 21  | 70  | 6  | 113   | 2              | 2   | 90  | 0  | 94    |
|   | 13.00-13.15      | 28        | 6   | 59   | 3  | 96    | 12        | 23  | 94  | 7  | 136   | 1              | 2   | 80  | 4  | 87    |
|   | 13.15-13.30      | 28        | 9   | 48   | 6  | 91    | 13        | 29  | 88  | 3  | 133   | 3              | 1   | 79  | 6  | 89    |
|   | Jumlah           | 103       | 26  | 200  | 13 | 342   | 56        | 115 | 337 | 17 | 525   | 8              | 10  | 296 | 12 | 326   |
| SELATAN                                 | 12.30-12.45      | 0         | 121 | 380  | 11 | 512   | 0         | 9   | 40  | 9  | 58    | 0              | 6   | 32  | 0  | 38    |
|   | 12.45-13.00      | 0         | 109 | 369  | 11 | 489   | 0         | 9   | 37  | 2  | 48    | 1              | 2   | 29  | 6  | 38    |
|   | 13.00-13.15      | 0         | 114 | 355  | 7  | 476   | 0         | 9   | 46  | 6  | 61    | 0              | 2   | 42  | 2  | 46    |
|   | 13.15-13.30      | 1         | 107 | 324  | 3  | 435   | 0         | 11  | 56  | 9  | 76    | 0              | 9   | 27  | 9  | 45    |
|   | Jumlah           | 1         | 451 | 1428 | 32 | 1912  | 0         | 38  | 179 | 26 | 243   | 1              | 19  | 130 | 17 | 167   |
| BARAT                                   | 12.30-12.45      | 0         | 10  | 63   | 3  | 76    | 0         | 12  | 40  | 1  | 53    | 0              | 26  | 34  | 0  | 60    |
|   | 12.45-13.00      | 0         | 14  | 111  | 0  | 125   | 0         | 10  | 39  | 3  | 52    | 0              | 34  | 48  | 2  | 84    |
|   | 13.00-13.15      | 0         | 12  | 137  | 3  | 152   | 0         | 11  | 44  | 1  | 56    | 0              | 58  | 40  | 1  | 99    |
|   | 13.15-13.30      | 0         | 14  | 111  | 3  | 128   | 0         | 14  | 35  | 4  | 53    | 0              | 42  | 47  | 0  | 89    |
|   | Jumlah           | 0         | 50  | 422  | 9  | 481   | 0         | 47  | 158 | 9  | 214   | 0              | 160 | 169 | 3  | 332   |

Tabel. Data kependudukan kotamadya Yogyakarta tahun 2002

| Kecamatan    | Banyaknya |              | Penduduk  |           |         | Rasio jenis kelamin |
|--------------|-----------|--------------|-----------|-----------|---------|---------------------|
|              | Desa      | Rumah tangga | Laki-laki | Perempuan | Jumlah  |                     |
| Mantrijeron  | 3         | 7 803        | 20 034    | 19 659    | 39 693  | 101,91              |
| Kraton       | 3         | 7 381        | 16 348    | 15 836    | 32 184  | 103,23              |
| Mergangsan   | 3         | 7 614        | 22 214    | 19 979    | 42 193  | 111,19              |
| Umbulharjo   | 7         | 15 161       | 35 540    | 33 753    | 69 293  | 105,29              |
| Kotagede     | 3         | 5 878        | 14 584    | 14 396    | 28 980  | 101,31              |
| Gondokusuman | 5         | 13 003       | 39 255    | 34 475    | 73 730  | 113,87              |
| Danurejan    | 3         | 6 662        | 16 355    | 14 485    | 30 840  | 112,91              |
| Pakualaman   | 2         | 2 789        | 7 204     | 7 558     | 14 762  | 95,32               |
| Gondomanan   | 2         | 4 267        | 10 908    | 9 717     | 20 625  | 112,26              |
| Ngampilan    | 2         | 4 881        | 11 578    | 11 611    | 23 189  | 99,72               |
| Wirobrajan   | 3         | 6 746        | 15 351    | 15 182    | 30 533  | 101,11              |
| Gedongtengen | 2         | 5 500        | 13 524    | 13 374    | 26 898  | 101,12              |
| Jetis        | 3         | 6 613        | 20 273    | 17 995    | 38 268  | 112,66              |
| Tegalrejo    | 4         | 7 969        | 20 267    | 19 459    | 39 726  | 104,15              |
| Yogyakarta   | 45        | 102 267      | 263 435   | 247 479   | 510.914 | 106,45              |

Sumber : Biro Statistik Propinsi D.I. Yogyakarta, 2002

Tabel Penentuan frekwensi hambatan samping lengan Utara pagi

| Tipe kejadian hambatan samping                   | Simbol | Faktor bobot | Frekwensi kejadian/jam, 200 m | Frekwensi berbobot |
|--|--------|--------------|-------------------------------|--------------------|
| Pejalan kaki                                     | PED    | 0.5          | 168                           | 84                 |
| Parkir, kendaraan berhenti                       | PSV    | 1            | 123                           | 123                |
| Kendaraan masuk + keluar                         | EEV    | 0.7          | 187                           | 130.9              |
| Kendaran lambat (sepeda, andong, becak, gerobak) | SMV    | 0.4          | 68                            | 27.2               |
| <b>Total</b>                                     |        |              |                               | <b>365.1</b>       |

Tabel Penentuan frekwensi hambatan samping lengan Timur pagi

| Tipe kejadian hambatan samping                   | Simbol | Faktor bobot | Frekwensi kejadian/jam, 200 m | Frekwensi berbobot |
|--|--------|--------------|-------------------------------|--------------------|
| Pejalan kaki                                     | PED    | 0.5          | 188                           | 94                 |
| Parkir, kendaraan berhenti                       | PSV    | 1            | 146                           | 146                |
| Kendaraan masuk + keluar                         | EEV    | 0.7          | 212                           | 148.4              |
| Kendaran lambat (sepeda, andong, becak, gerobak) | SMV    | 0.4          | 63                            | 25.2               |
| <b>Total</b>                                     |        |              |                               | <b>413.6</b>       |

Tabel Penentuan frekwensi hambatan samping lengan Selatan pagi

| Tipe kejadian hambatan samping                   | Simbol | Faktor bobot | Frekwensi kejadian/jam, 200 m | Frekwensi berbobot |
|--|--------|--------------|-------------------------------|--------------------|
| Pejalan kaki                                     | PED    | 0.5          | 189                           | 94.5               |
| Parkir, kendaraan berhenti                       | PSV    | 1            | 66                            | 66                 |
| Kendaraan masuk + keluar                         | EEV    | 0.7          | 85                            | 59.5               |
| Kendaran lambat (sepeda, andong, becak, gerobak) | SMV    | 0.4          | 52                            | 20.8               |
| <b>Total</b>                                     |        |              |                               | <b>240.8</b>       |

Tabel Penentuan frekwensi hambatan samping lengan Barat pagi

| Tipe kejadian hambatan samping                   | Simbol | Faktor bobot | Frekwensi kejadian/jam, 200 m | Frekwensi berbobot |
|--|--------|--------------|-------------------------------|--------------------|
| Pejalan kaki                                     | PED    | 0.5          | 123                           | 61.5               |
| Parkir, kendaraan berhenti                       | PSV    | 1            | 42                            | 42                 |
| Kendaraan masuk + keluar                         | EEV    | 0.7          | 35                            | 24.5               |
| Kendaran lambat (sepeda, andong, becak, gerobak) | SMV    | 0.4          | 103                           | 41.2               |
| <b>Total</b>                                     |        |              |                               | <b>169.2</b>       |

Tabel kelas hambatan samping pagi

| Lengan  | Frekwensi berbobot | kelas hambatan samping |
|---------|--------------------|------------------------|
| Utara   | 365.1              | sedang                 |
| Timur   | 413.6              | sedang                 |
| Selatan | 240.8              | rendah                 |
| Barat   | 169.2              | rendah                 |

Tabel Penentuan frekwensi hambatan samping lengan Utara siang

| Tipe kejadian hambatan samping                    | Simbol | Faktor bobot | Frekwensi kejadian/jam, 200 m | Frekwensi berbobot |
|---|--------|--------------|-------------------------------|--------------------|
| Pejalan kaki                                      | PED    | 0.5          | 189                           | 94.5               |
| Parkir, kendaraan berhenti                        | PSV    | 1            | 167                           | 167                |
| Kendaraan masuk + keluar                          | EEV    | 0.7          | 235                           | 164.5              |
| Kendaraan lambat (sepeda, andong, becak, gerobak) | SMV    | 0.4          | 95                            | 38                 |
| <b>Total</b>                                      |        |              |                               | <b>464</b>         |

Tabel Penentuan frekwensi hambatan samping lengan Timur siang

| Tipe kejadian hambatan samping                    | Simbol | Faktor bobot | Frekwensi kejadian/jam, 200 m | Frekwensi berbobot |
|---|--------|--------------|-------------------------------|--------------------|
| Pejalan kaki                                      | PED    | 0.5          | 202                           | 101                |
| Parkir, kendaraan berhenti                        | PSV    | 1            | 184                           | 184                |
| Kendaraan masuk + keluar                          | EEV    | 0.7          | 189                           | 132.3              |
| Kendaraan lambat (sepeda, andong, becak, gerobak) | SMV    | 0.4          | 56                            | 22.4               |
| <b>Total</b>                                      |        |              |                               | <b>439.7</b>       |

Tabel Penentuan frekwensi hambatan samping lengan Selatan siang

| Tipe kejadian hambatan samping                    | Simbol | Faktor bobot | Frekwensi kejadian/jam, 200 m | Frekwensi berbobot |
|---|--------|--------------|-------------------------------|--------------------|
| Pejalan kaki                                      | PED    | 0.5          | 87                            | 43.5               |
| Parkir, kendaraan berhenti                        | PSV    | 1            | 46                            | 46                 |
| Kendaraan masuk + keluar                          | EEV    | 0.7          | 75                            | 52.5               |
| Kendaraan lambat (sepeda, andong, becak, gerobak) | SMV    | 0.4          | 42                            | 16.8               |
| <b>Total</b>                                      |        |              |                               | <b>158.8</b>       |

Tabel Penentuan frekwensi hambatan samping lengan Barat siang

| Tipe kejadian hambatan samping                    | Simbol | Faktor bobot | Frekwensi kejadian/jam, 200 m | Frekwensi berbobot |
|---|--------|--------------|-------------------------------|--------------------|
| Pejalan kaki                                      | PED    | 0.5          | 86                            | 43                 |
| Parkir, kendaraan berhenti                        | PSV    | 1            | 35                            | 35                 |
| Kendaraan masuk + keluar                          | EEV    | 0.7          | 18                            | 12.6               |
| Kendaraan lambat (sepeda, andong, becak, gerobak) | SMV    | 0.4          | 46                            | 18.4               |
| <b>Total</b>                                      |        |              |                               | <b>109</b>         |

Tabel kelas hambatan samping siang

| Lengan  | Frekwensi berbobot | kelas hambatan samping |
|---------|--------------------|------------------------|
| Utara   | 464                | sedang                 |
| Timur   | 439.7              | sedang                 |
| Selatan | 158.8              | rendah                 |
| Barat   | 109                | rendah                 |

|  |             |           |                             |          |                           |             |                |                 |                |        |         |        |       |        |         |
|--|-------------|-----------|-----------------------------|----------|---------------------------|-------------|----------------|-----------------|----------------|--------|---------|--------|-------|--------|---------|
| KAJI, SIGNALISED INTERSECTIONS   |             |           | City : YOGYAKARTA           |          | City size : 0.51 Millions |             | Date :         | 19 OKTOBER 2003 |                |        |         |        |       |        |         |
| Form SIG-1: GEOMETRY,  |             |           | SITE CONDITIONS             |          |                           | Handled by: |                | RAFLES & AHMAD  |                |        |         |        |       |        |         |
| Purpose : Operation  |             |           | Name : SIMPANG EMPAT MM UGM |          |                           | Case :      |                | JAM PUNCAK PAGI |                |        |         |        |       |        |         |
| (intersection name, identity or name of streets)   |             |           | Period :                    |          |                           | 06.45-07.45 |                |                 |                |        |         |        |       |        |         |
| No. of phases: 4, in EXISTING SIGNAL SETTINGS   Cycle time, c= 162.0, Total lost time, LTI= 26.0 |             |           |                             |          |                           |             |                |                 |                |        |         |        |       |        |         |
| APPROACH IDENTITIES  |             |           | PHASE 1:                    |          | PHASE 2:                  |             | PHASE 3:       |                 | PHASE 4:       |        |         |        |       |        |         |
|  |             |           | Approach                    |          | g:52.0, IG:6.5            |             | g:26.0, IG:6.5 |                 | g:32.0, IG:6.5 |        |         |        |       |        |         |
|  |             |           | LT                          |          | ST                        |             | RT             |                 | LT             |        |         |        |       |        |         |
|  |             |           | N2                          |          | U                         |             | LTOR           |                 | ST             |        |         |        |       |        |         |
|  |             |           | S2                          |          | S                         |             | GO             |                 | RT             |        |         |        |       |        |         |
|  |             |           | E2                          |          | T                         |             | LTOR           |                 |                |        |         |        |       |        |         |
|  |             |           | W2                          |          | B                         |             | GO             |                 |                |        |         |        |       |        |         |
| B WEST   |             |           | EAST                        |          | T                         |             | GO             |                 |                |        |         |        |       |        |         |
| SOUTH  |             |           |                             |          |                           |             |                |                 |                |        |         |        |       |        |         |
| S  |             |           |                             |          |                           |             |                |                 |                |        |         |        |       |        |         |
| Enter an identity for  |             |           |                             |          |                           |             |                |                 |                |        |         |        |       |        |         |
| each arm to be defined   |             |           |                             |          |                           |             |                |                 |                |        |         |        |       |        |         |
| GEOMETRY, Examples: Definitions of approach, entry and exit width                                |             |           |                             |          |                           |             |                |                 |                |        |         |        |       |        |         |
| SITE CONDITIONS  |             |           |                             |          |                           |             |                |                 |                |        |         |        |       |        |         |
| Wx = W,exit  |             |           |                             |          |                           |             |                |                 |                |        |         |        |       |        |         |
| W1 = W,LTOR-lane   |             |           |                             |          |                           |             |                |                 |                |        |         |        |       |        |         |
| We = W,entry   |             |           |                             |          |                           |             |                |                 |                |        |         |        |       |        |         |
| Wa = W,approach  |             |           |                             |          |                           |             |                |                 |                |        |         |        |       |        |         |
| LTOR = Left Turn   |             |           |                             |          |                           |             |                |                 |                |        |         |        |       |        |         |
| On Red   |             |           |                             |          |                           |             |                |                 |                |        |         |        |       |        |         |
| Wx = W,exit  |             |           |                             |          |                           |             |                |                 |                |        |         |        |       |        |         |
| W1 = W,LTOR-lane   |             |           |                             |          |                           |             |                |                 |                |        |         |        |       |        |         |
| We = W,entry   |             |           |                             |          |                           |             |                |                 |                |        |         |        |       |        |         |
| Wa = W,approach  |             |           |                             |          |                           |             |                |                 |                |        |         |        |       |        |         |
| LTOR allowed   |             |           |                             |          |                           |             |                |                 |                |        |         |        |       |        |         |
| and lane for LTOR  |             |           |                             |          |                           |             |                |                 |                |        |         |        |       |        |         |
| LTOR allowed   |             |           |                             |          |                           |             |                |                 |                |        |         |        |       |        |         |
| and traffic isle   |             |           |                             |          |                           |             |                |                 |                |        |         |        |       |        |         |
| LT only on green   |             |           |                             |          |                           |             |                |                 |                |        |         |        |       |        |         |
| (or LTOR without LTOR-lane)  |             |           |                             |          |                           |             |                |                 |                |        |         |        |       |        |         |
| Approach   | Road        | Side      | Median                      | Gradient | Left-turn                 | Distance    | W              | I               | D              | T      | H       | S      | (m)   | Separ- | One-way |
| code   | environment | friction  | Y/N                         | + or -   | on red                    | to parked   | Approach       | Entry           | LTOR-lane      | Exit   | rate    |        |       |        |         |
| (1)  | (2)         | Hi/Med/Lo |                             | in %     | Y/N                       | veh (m)     | W,appr         | W,entry         | W,LTOR         | W,exit | RT-lane | street | (Y/N) | (Y/N)  |         |
| N2   | U           | COM       | Medium                      | No       | 0.00                      | Yes         | NA             | 5.50            | 2.50           | 3.00   | 6.10    | No     | No    |        |         |
| S2   | S           | COM       | Low                         | No       | 0.00                      | No          | NA             | 6.00            | 6.00           |        | 5.90    | No     | No    |        |         |
| E2   | T           | COM       | Medium                      | Yes      | 0.00                      | No          | NA             | 6.20            | 6.20           |        | 4.20    | No     |       |        |         |
| W2   | B           | COM       | Low                         | Yes      | 0.00                      | No          | NA             | 6.20            | 6.20           |        | 6.20    | No     |       |        |         |
| Program version 1.10 Date of run: 031228/20:23   |             |           |                             |          |                           |             |                |                 |                |        |         |        |       |        |         |



|   |  |                                    |  |                            |       |        |
|---|--|------------------------------------|--|----------------------------|-------|--------|
| KAJI- SIGNALISED INTERSECTIONS  |  | City : YOGYAKARTA                  |  | Date : 19 OKTOBER 2003     |       |        |
| Form SIG-3: CLEARANCE TIME, LOST TIME   |  | Intersection: SIMPANG EMPAT MM UGM |  | Handled by: RAFLES & AHMAD |       |        |
| Purpose : Operation   |  |                                    |  | Case : JAM PUNCAK PAGI     |       |        |
|   |  |                                    |  | Period : 06.45-07.45       |       |        |
| +-----+<br>  EVAC. TRAFFIC   A D V A N C I N G T R A F F I C  <br>+-----+   |  |                                    |  |                            |       |        |
| Approach   Speed   Approach  <br>  Ve   +-----+   time  <br>  m/sec   Speed Va m/sec   10.0   (sec)  <br>+-----+  |  |                                    |  |                            |       |        |
| N2   U   10.00   Dist Evac+Vehlen-Adv(m)   + -   + -   + -   + -   + -   + -   + -   + -   + -   + -   + -  <br>    Time evac-adv (sec)   -   -   -   -   -   -   -   -   -   -   -   -   -   -   0.00  <br>+-----+ |  |                                    |  |                            |       |        |
| S2   S   10.00   Dist Evac+Vehlen-Adv(m)   + -   + -   + -   + -   + -   + -   + -   + -   + -   + -   + -  <br>    Time evac-adv (sec)   -   -   -   -   -   -   -   -   -   -   -   -   -   -   0.00  <br>+-----+ |  |                                    |  |                            |       |        |
| E2   T   10.00   Dist Evac+Vehlen-Adv(m)   + -   + -   + -   + -   + -   + -   + -   + -   + -   + -   + -  <br>    Time evac-adv (sec)   -   -   -   -   -   -   -   -   -   -   -   -   -   -   0.00  <br>+-----+ |  |                                    |  |                            |       |        |
| W2   B   10.00   Dist Evac+Vehlen-Adv(m)   + -   + -   + -   + -   + -   + -   + -   + -   + -   + -   + -  <br>    Time evac-adv (sec)   -   -   -   -   -   -   -   -   -   -   -   -   -   -   0.00  <br>+-----+ |  |                                    |  |                            |       |        |
| Dimensioning times between phases (sec)   |  |                                    |  |                            | Amber | Allred |
| Phase 1 ---> Phase 2  |  |                                    |  |                            | 2.5   | 4.0    |
| Phase 2 ---> Phase 3  |  |                                    |  |                            | 2.5   | 4.0    |
| Phase 3 ---> Phase 4  |  |                                    |  |                            | 2.5   | 4.0    |
| Phase 4 ---> Phase 1  |  |                                    |  |                            | 2.5   | 4.0    |
| Phase 0 ---> Phase 0  |  |                                    |  |                            | 0.0   | 0.0    |
| Phase 0 ---> Phase 0  |  |                                    |  |                            | 0.0   | 0.0    |
| Lost time (LTI) = Total allred + amber time (sec/cycle)   |  |                                    |  |                            | 26.00 |        |
| Program version 1.10   Date of run: 031228/20:23  |  |                                    |  |                            |       |        |

| K A J I - SIGNALISED INTERSECTIONS | City : YOGYAKARTA | Date : 19 OKTOBER 2003 |
 | Form SIG-4 : SIGNAL TIMING, | | Handled by: RAFLES & AHMAD |
 | CAPACITY | | Intersection : SIMPANG EMPAT MM UGM | Case : JAM PUNCAK PAGI |
 | Purpose : Operation | | | Period : 06.45-07.45 |
 | |
 | Traffic flows, pcu/h (Protected + Opposed) | EXISTING SIGNAL SETTINGS DISPLAY (no arrows for zero flows) |
 | |
 | |
 | Phase 1 | Phase 2 | Phase 3 | Phase 4 | Phase 5 | Phase 6 |
 | U | U | U | U | U | |
 | |
 | U | U | U | U | U | |
 | P:124 | P:213 | <-+> | LTOR | LTOR | LTOR |
 | O:137 | O:314 | v | | | |
 | P:371 | | | | | |
 | O:503 | | | | | |
 | |
 | P:67 | P:178 | | | | |
 | O:83 | O:215 | | | | |
 | B ---+ P:39 | P:162 ---+ T | B | T | B | T | B | T |
 | P:25 | O:68 | O:188 | P:90 | | | | | | |
 | O:36 | | O:122 | | | | | | |
 | |
 | P:298 | | | | | |
 | O:400 | | | | | |
 | P:25 | P:44 | | | | |
 | O:35 | O:61 | | | | |
 | S | | | | | |
 | |
 | S | S | S | S | S | |
 | |
 | Approach | Appr | Ratio of turn- | RT-flow | Effect. | Base | Saturation flow correction factors | Adjust. | Traffic | Flow | Phase | Green | Capa- | Degree |
 | code | phase | type | vehicles | pcu/h | width | satu- | All approach types | Only type P | sat. | flow | ratio | ratio | time | city | of |
 | | | | | (m) | ration | City | Side | Grad- | Park- | Right | Left | flow | | | | | | | |
 | | | if 2-1 | | p | p | p | Own | Opp. | '\*' | if | flow | size | frict. | ident | turns | turns | pcu/hg | pcu/hg | ST, | FRcr | | S\*g | ration |
 | | | | | LTOR | LT | RT | dir | dir | W.exit | So | Fcs | Fsf | Fg | Fp | Frt | Flt | S | Q | or | Q/S | /IFR | g | =C | Q/C |
 | (1) | (2) | green | (3) | (4) | (5) | (6) | (7) | (8) | (9) | (10) | (11) | (12) | (13) | (14) | (15) | (16) | (17) | (18) | (19) | (20) | (21) | (22) | (23) |
 | N2 | U | 1 | | P | 0.30 | 0.00 | 0.18 | 124 | 0 | 2.50 | 1500 | 0.94 | 0.932 | 1.00 | 1.00 | 1.05 | 1.00 | 1374 | 495 | SR | 0.360 | | 52.0 | 441 | 1.122 |
 | S2 | S | 3 | | P | 0.00 | 0.07 | 0.12 | 44 | 0 | 6.00 | 3600 | 0.94 | 0.931 | 1.00 | 1.00 | 1.03 | 0.99 | 3214 | 367 | LSR | 0.114 | | 32.0 | 635 | 0.578 |
 | E2 | T | 2 | | P | 0.00 | 0.21 | 0.41 | 178 | 0 | 6.20 | 3720 | 0.94 | 0.929 | 1.00 | 1.00 | 1.00 | 0.97 | 3139 | 430 | LSR | 0.137 | | 26.0 | 504 | 0.853 |
 | W2 | B | 4 | | P | 0.00 | 0.51 | 0.19 | 25 | 0 | 6.20 | 3720 | 0.94 | 0.921 | 1.00 | 1.00 | 1.00 | 0.92 | 2956 | 131 | LSR | 0.044 | | 26.0 | 474 | 0.276 |
 | |
 | Total lost time, LTI : 26.0 sec | Unadj. cycle time Cua : 162.0 sec | Correction factors are NOT shown if | IFR : 0.656 (= sum of FRcrit) |
 | | Adjusted cycle time, c: sec | adj. saturation flow is user input. | Efficiency: 0.816 (= IFR + LTI/c) |
 | |
 | Comments: Form SIG-1 settings used for calculations! |
 | Comments: |
 | Program version 1.10 | Date of run: 031228/20:23 |

| KAJI - SIGNALISED INTERSECTIONS | City : YOGYAKARTA | Date : 19 OKTOBER 2003 |  
 | | Intersection: | | Handled by: RAFLES & AHMAD |  
 | Form SIG-5: QUEUE LENGTH,  
STOP RATE, DELAY | Cycle time : 162.0 sec | Case : JAM PUNCAK PAGI |  
 | Purpose : Operation | Prob. for overloading: 5.00 % | Period : 06.45-07.45 |  
 +-----+-----+-----+-----+-----+-----+-----+-----+-----+-----+  
 | FLOW (pcu/h) | Capa- | Degree |Green|No of queuing vehicles(pcu)|Queue | Stop |No. of| Delay  
 | Approach| Q | city | of satu-|ratio+---+---+---+---+---+---+---+---+---+  
 | code | Qentry| Used | ration | | | Total | | NS | Avg.Delay | Avg.Delay|Tot Delay|  
 | | excl. | in | | gr= | NQ1 | NQ2 | NQ = | NQmax | Q1(m) | stops | NSV | Traffic | Geometric | D=DT+DG | D \* Q |  
 | LTOR | SIG-4 | DS=Q/C | g/c | | | NQ1+NQ2 | | /pcu | pcu/h | DT(sec/pcu) | DG(sec/pcu) | sec/pcu | sec |  
 | (1) | (2) | (3) | (4) | (5) | (6) | (7) | (8) | (9) | (10) | (11) | (12) | (13) | (14) | (15) | (16) |  
 +-----+-----+-----+-----+-----+-----+-----+-----+-----+-----+  
 | N2 U | 495 | 495 | 441 | 1.122 | 0.321 | 31.37 | 23.64 | 55.02 | 76 | 608 | 2.223 | 1100 | 314.50 | 4.00 | 318.5 | 157657 |  
 +-----+-----+-----+-----+-----+-----+-----+-----+-----+-----+  
 | S2 S | 367 | 367 | 635 | 0.578 | 0.198 | 0.18 | 14.96 | 15.15 | 21 | 70 | 0.825 | 303 | 59.93 | 3.50 | 63.43 | 23278 |  
 +-----+-----+-----+-----+-----+-----+-----+-----+-----+-----+  
 | E2 T | 430 | 430 | 504 | 0.853 | 0.160 | 2.27 | 18.82 | 21.09 | 29 | 94 | 0.981 | 422 | 82.33 | 4.00 | 86.33 | 37121 |  
 +-----+-----+-----+-----+-----+-----+-----+-----+-----+-----+  
 | W2 B | 131 | 131 | 474 | 0.276 | 0.160 | 0.00 | 5.18 | 5.18 | 7 | 23 | 0.791 | 104 | 59.74 | 4.04 | 63.78 | 8355 |  
 +-----+-----+-----+-----+-----+-----+-----+-----+-----+-----+  
 | | | | | | | | | | | | | | | | | | | |  
 +-----+-----+-----+-----+-----+-----+-----+-----+-----+-----+  
 | | | | | | | | | | | | | | | | | | | |  
 +-----+-----+-----+-----+-----+-----+-----+-----+-----+-----+  
 | | | | | | | | | | | | | | | | | | | |  
 +-----+-----+-----+-----+-----+-----+-----+-----+-----+-----+  
 | | | | | | | | | | | | | | | | | | | |  
 +-----+-----+-----+-----+-----+-----+-----+-----+-----+-----+  
 | | | | | | | | | | | | | | | | | | | |  
 +-----+-----+-----+-----+-----+-----+-----+-----+-----+-----+  
 | LTOR,all | 213 | 213 | | | | | | | | | | | | | 0.00 | 6.00 | 6.00 | 1278 |  
 +-----+-----+-----+-----+-----+-----+-----+-----+-----+-----+  
 | Flow adj(Qadj): 0 | | Total: 1929 | | Total delay(sec): 227689 |  
 +-----+-----+-----+-----+-----+-----+-----+-----+-----+-----+  
 | Tot flow : 1636(Qtot) | | Mean number of stops/pcu: 1.18 | Mean intersection delay(sec/pcu): 139.17 |  
 +-----+-----+-----+-----+-----+-----+-----+-----+-----+-----+  
 | Comments Results indicate US-HCM85 level-of-service F |  
 +-----+-----+-----+-----+-----+-----+-----+-----+-----+-----+  
 | Program version 1.10 | Date of run: 031228/20:23 |  
 +-----+-----+-----+-----+-----+-----+-----+-----+-----+-----+

|  |  |   |                                     |                                     |                                     |  |  |  |                          |                       |                       |         |    |
|--|--|---|-------------------------------------|-------------------------------------|-------------------------------------|--|--|--|--------------------------|-----------------------|-----------------------|---------|----|
| KAJI, SIGNALISED INTERSECTIONS   |  | City : YOGYAKARTA                                       | City size : 0.51 Millions           | Date : 19 OKTOBER 2003              |                                     |  |  |  |                          |                       |                       |         |    |
| Form SIG-1: GEOMETRY, SITE CONDITIONS  |  | Name : SIMPANG EMPAT MM UGM                             | Handled by: RAFLES & AHMAD          |                                     |                                     |  |  |  |                          |                       |                       |         |    |
| Purpose : Operation  | (intersection name, identity or name of streets) |   |                                     | Case : JAM PUNCAK SIANG             |                                     |  |  |  |                          |                       |                       |         |    |
|  |  |   |                                     | Period : 12.30-13.30                |                                     |  |  |  |                          |                       |                       |         |    |
| No. of phases: 4, in EXISTING SIGNAL SETTINGS   Cycle time, c= 157.0, Total lost time, LTI= 26.0 |  |   |                                     |                                     |                                     |  |  |  |                          |                       |                       |         |    |
| APPROACH IDENTITIES  |  | PHASE 1:<br>Approach g:50.0, IG:6.5                     | PHASE 2:<br>LT ST RT g:25.0, IG:6.5 | PHASE 3:<br>LT ST RT g:31.0, IG:6.5 | PHASE 4:<br>LT ST RT g:25.0, IG:6.5 | PHASE 5:<br>g: , IG: g: , IG:                                  | PHASE 6:<br>LT ST RT g: , IG: g: , IG: |  |                          |                       |                       |         |    |
| U  | N2   | U   | LTOR                                | GO                                  | GO                                  | LTOR   | LTOR                                   |  |                          |                       |                       |         |    |
|  | S2   | S   |                                     |                                     |                                     | GO   | GO                                     | GO   |                          |                       |                       |         |    |
| NORTH  | E2   | T   |                                     |                                     | GO                                  | GO   | GO                                     |  |                          |                       |                       |         |    |
|  | W2   | B   |                                     |                                     |                                     |  | GO                                     | GO   | GO                       |                       |                       |         |    |
| B WEST   | EAST   | T   |                                     |                                     |                                     |  |  |  |                          |                       |                       |         |    |
| SOUTH  |  |   |                                     |                                     |                                     |  |  |  |                          |                       |                       |         |    |
| S  |  |   |                                     |                                     |                                     |  |  |  |                          |                       |                       |         |    |
| Enter an identity for each arm to be defined   |  |   |                                     |                                     |                                     |  |  |  |                          |                       |                       |         |    |
| GEOMETRY, SITE CONDITIONS  |  | Examples: Definitions of approach, entry and exit width |                                     |                                     |                                     |  |  |  |                          |                       |                       |         |    |
|  |  |   |                                     |                                     |                                     |  |  |  |                          |                       |                       |         |    |
| Wx = W <sub>x</sub> , exit   | W1 = W <sub>1</sub> , LTOR-lane                  | We = W <sub>e</sub> , entry                             | Wa = W <sub>a</sub> , approach      | LTOR = Left Turn                    | On Red                              | W <sub>x</sub> W <sub>1</sub> We W <sub>e</sub> W <sub>a</sub> |  |  |                          |                       |                       |         |    |
| W <sub>x</sub>   | W <sub>1</sub>                                   | We  | Wa                                  | LTOR                                | On Red                              | W <sub>x</sub>   | W <sub>1</sub>                         | We   | Wa                       |                       |                       |         |    |
|  |  |   |                                     |                                     |                                     |  |  |  |                          |                       |                       |         |    |
| LTOR allowed and lane for LTOR   |  |   |                                     | LTOR allowed and traffic isle       |                                     |  |  | LT only on green (or LTOR without LTOR-lane) |                          |                       |                       |         |    |
| Approach   | Road environment                                 | Side friction   | Median                              | Gradient                            | Left-turn on red                    | Distance to parked   | Approach                               | Entry  | W <sub>1</sub> LTOR-lane | I D T H S (m)         | Separate street       |         |    |
| code   | Hi/Med/Lo  | Y/N   | Y/N                                 | + or -                              | in %                                | Y/N  | veh (m)                                | W <sub>1</sub> , appr                        | W <sub>1</sub> , entry   | W <sub>1</sub> , LTOR | W <sub>1</sub> , exit | RT-lane |    |
| (1)  | (2)  | (3)   | (4)                                 | (5)                                 | (6)                                 | (7)  | (8)                                    | (9)  | (10)                     | (11)                  | (Y/N)                 | (Y/N)   |    |
| N2   | U  | COM   | Medium                              | No                                  | 0.00                                | Yes  | NA                                     | 5.50   | 2.50                     | 3.00                  | 6.10                  | No      | No |
| S2   | S  | COM   | Low                                 | No                                  | 0.00                                | No   | NA                                     | 6.00   | 6.00                     |                       | 5.90                  | No      | No |
| E2   | T  | COM   | Medium                              | Yes                                 | 0.00                                | No   | NA                                     | 6.20   | 6.20                     |                       | 4.20                  | No      |    |
| W2   | B  | COM   | Low                                 | Yes                                 | 0.00                                | No   | NA                                     | 6.20   | 6.20                     |                       | 6.20                  | No      |    |
| Program version 1.10   Date of run: 031229/3:26  |  |   |                                     |                                     |                                     |  |  |  |                          |                       |                       |         |    |



|   |       |                            |                        |
|---|-------|----------------------------|------------------------|
| KAJI- SIGNALISED INTERSECTIONS                                  |       | City : YOGYAKARTA          | Date : 19 OKTOBER 2003 |
| Form SIG-3: CLEARANCE TIME, LOST TIME                           |       | Handled by: RAFLES & AHMAD |                        |
| Intersection: SIMPAK EMPAT MM UGM                               |       | Case : JAM PUNCAK SIANG    |                        |
| Purpose : Operation   |       | Period : 12.30-13.30       |                        |
| EVAC. TRAFFIC ADVANCING TRAFFIC                                 |       |                            |                        |
| Approach  | Speed | Approach                   | Allred                 |
| Ve  | m/sec | Speed Va m/sec             | time                   |
| N2 U  | 10.00 | Dist Evac+Vehlen-Adv(m)    | 0.00                   |
| Time evac-adv (sec)   |       |                            |                        |
| S2 S  | 10.00 | Dist Evac+Vehlen-Adv(m)    | 0.00                   |
| Time evac-adv (sec)   |       |                            |                        |
| E2 T  | 10.00 | Dist Evac+Vehlen-Adv(m)    | 0.00                   |
| Time evac-adv (sec)   |       |                            |                        |
| W2 B  | 10.00 | Dist Evac+Vehlen-Adv(m)    | 0.00                   |
| Time evac-adv (sec)   |       |                            |                        |
| Dimensioning times between phases (sec)   Amber   Allred        |       |                            |                        |
| Phase 1   | ----> | Phase 2                    | 2.5   4.0              |
| Phase 2   | ----> | Phase 3                    | 2.5   4.0              |
| Phase 3   | ----> | Phase 4                    | 2.5   4.0              |
| Phase 4   | ----> | Phase 1                    | 2.5   4.0              |
| Phase 0   | ----> | Phase 0                    | 0.0   0.0              |
| Phase 0   | ----> | Phase 0                    | 0.0   0.0              |
| Lost time (LTI) = Total allred + amber time (sec/cycle)   26.00 |       |                            |                        |
| Program version 1.10   Date of run: 031229/3:26                 |       |                            |                        |

K A J I - SIGNALISED INTERSECTIONS | City : YOGYAKARTA | Date : 19 OKTOBER 2003  
 Form SIG-4 : SIGNAL TIMING, | Handled by: RAFLES & AHMAD  
 CAPACITY | Intersection : SIMPANG EMPAT MM UGM | Case : JAM PUNCAK SIANG  
 Purpose : Operation | Period : 12.30-13.30

---

Traffic flows, pcu/h (Protected + Opposed) | EXISTING SIGNAL SETTINGS DISPLAY (no arrows for zero flows)

|  |          | Phase 1 | Phase 2 | Phase 3 | Phase 4 | Phase 5 | Phase 6 |
|--|----------|---------|---------|---------|---------|---------|---------|
|  |          | U       | U       | U       | U       | U       |         |
| U  |          |         |         |         |         |         |         |
| P:86   | P:247    |         | <-+>    |         | LTOR    |         | LTOR    |
| O:106  | -- O:327 |         | v       |         |         |         |         |
| P:486<br>O:659   |          |         |         |         |         |         |         |
| P:61   |          | P:191   |         |         |         |         |         |
| O:84   |          | O:219   |         |         |         |         |         |
| B --+ P:41   | P:126    | T       | B       | T       | B       | T       |         |
| P:22   | O:67     |         | O:153   | P:93    |         |         |         |
| O:34   |          |         | O:139   |         |         |         |         |
| P:620<br>O:789   |          |         |         |         |         |         |         |
| P:17   | -- P:59  |         |         |         |         |         |         |
| O:27   | O:77     | S       |         |         |         |         |         |
|  |          |         |         |         |         |         |         |
|  |          | S       | S       | S       | S       | S       |         |
| Approach Green in  Appr  Ratio of turn-   RT-flow  Effect.  Base   Saturation flow correction factors Adjust.  Traffic  Flow  Phase Green Capa- Degree |          |         |         |         |         |         |         |
| code  phase  type  ing vehicles   pcu/h   width   satu-  All approach types  Only type P  sat.   flow  ratio ratio time  city   of                     |          |         |         |         |         |         |         |
| no. Split  +---+---+---+---+---+ (m)  ration City  Side  Grad- Park- Right Left   flow    LT,  FR   PR=  (sec) pcu/h  satu-                            |          |         |         |         |         |         |         |
| if 2-   p   p   p   Own Opp.  '*' if  flow  size frict. ient   ing  turns turns pcu/hg pcu/h ST,   FRcrit     S*g  ration                              |          |         |         |         |         |         |         |
| phase   LTOR  LT   RT   dir dir   w,exit  So  Fcs   Fsf   Fg   Fp   Frt   Flt   S   Q   or   Q/S   /IFR  g   =C   Q/C                                  |          |         |         |         |         |         |         |
| (1)  (2) green  (3)   (4)   (5)   (6)   (7) (8)   (9)   (10)  (11)  (12)   (13)   (14)   (15) (16)   (17)  (18)  RT  (19)  (20)  (21)  (22)  (23)      |          |         |         |         |         |         |         |
| N2   U   1     P   0.30   0.00   0.11   86   0   2.50   1500 0.94  0.937  1.00  1.00  1.03 1.00   1357   572   SR 0.422    50.0   432   1.324          |          |         |         |         |         |         |         |
| S2   S   3     P   0.00   0.02   0.08   59   0   6.00   3600 0.94  0.941  1.00  1.00  1.02 1.00   3242   696   LSR 0.215    31.0   640   1.088         |          |         |         |         |         |         |         |
| E2   T   2     P   0.00   0.23   0.47   191   0   6.20   3720 0.94  0.932  1.00  1.00  1.00 0.96   3139   410   LSR 0.131    25.0   500   0.820        |          |         |         |         |         |         |         |
| W2   B   4     P   0.00   0.49   0.18   22   0   6.20   3720 0.94  0.929  1.00  1.00  1.00 0.92   2994   124   LSR 0.041    25.0   477   0.260         |          |         |         |         |         |         |         |
| Total lost time, LTI : 26.0 sec   Unadj. cycle time Cua : 157.0 sec   Correction factors are NOT shown if   IFR : 0.808 (= sum of FRcrit)              |          |         |         |         |         |         |         |
| Adjusted cycle time, c: sec   adj. saturation flow is user input.   Efficiency: 0.974 (= IFR + LTI/c)  |          |         |         |         |         |         |         |

| KAJI - SIGNALISED INTERSECTIONS               |  |               |               | YOGYAKARTA                         |                             |                   |              | Date : 19 OKTOBER 2003     |         |       |           |                           |           |  |        |
|---|--|---------------|---------------|------------------------------------|-----------------------------|-------------------|--------------|----------------------------|---------|-------|-----------|---------------------------|-----------|--|--------|
|   |  |               |               | Intersection: SIMPANG EMPAT MM UGM |                             |                   |              | Handled by: RAFLES & AHMAD |         |       |           |                           |           |  |        |
| Form SIG-5: QUEUE LENGTH,<br>STOP RATE, DELAY |  |               |               | Cycle time : 157.0 sec             |                             |                   |              | Case : JAM PUNCAK SIANG    |         |       |           |                           |           |  |        |
| Purpose : Operation                           |  |               |               | Prob. for overloading: 5.00 %      |                             |                   |              | Period : 12.30-13.30       |         |       |           |                           |           |  |        |
| Approach<br>code                              | Qentry<br>LTOR                               | Used<br>SIG-4 | Capa-<br>city | Degree<br>of satu-<br>ratio        | No of queuing vehicles(pcu) | Queue<br>Length   | Stop<br>Rate | No. of<br>stops            | Delay   |       |           |                           |           |  |        |
|   |  |               |               |                                    |                             |                   |              |                            | Total   | NS    | Avg.Delay | Avg.Delay                 | Tot Delay |  |        |
|   |  |               |               |                                    |                             |                   |              |                            | D=DT+DG | D * Q |           |                           |           |  |        |
| (1)   | (2)  | (3)           | (4)           | (5)                                | (6)                         | (7)               | (8)          | (9)                        | (10)    | (11)  | (12)      | (13)                      | (14)      | (15)                                     | (16)   |
| N2  | U  | 572           | 572           | 432                                | 1.324                       | 0.318 72.46 29.40 | 101.85       | 142                        | 1136    | 3.675 | 2102      | 666.85                    | 4.00      | 670.8                                    | 383728 |
| S2  | S  | 696           | 696           | 640                                | 1.088                       | 0.197 33.60 31.02 | 64.62        | 90                         | 300     | 1.916 | 1333      | 253.36                    | 4.00      | 257.3                                    | 179125 |
| E2  | T  | 410           | 410           | 500                                | 0.820                       | 0.159 1.71 17.29  | 19.00        | 26                         | 84      | 0.957 | 392       | 76.15                     | 4.01      | 80.16                                    | 32866  |
| W2  | B  | 124           | 124           | 477                                | 0.260                       | 0.159 0.00 4.74   | 4.74         | 7                          | 23      | 0.789 | 98        | 57.89                     | 4.00      | 61.89                                    | 7674   |
|   |  |               |               |                                    |                             |                   |              |                            |         |       |           |                           |           |  |        |
|   |  |               |               |                                    |                             |                   |              |                            |         |       |           |                           |           |  |        |
|   |  |               |               |                                    |                             |                   |              |                            |         |       |           |                           |           |  |        |
|   |  |               |               |                                    |                             |                   |              |                            |         |       |           |                           |           |  |        |
|   |  |               |               |                                    |                             |                   |              |                            |         |       |           |                           |           |  |        |
|   |  |               |               |                                    |                             |                   |              |                            |         |       |           |                           |           |  |        |
|   |  |               |               |                                    |                             |                   |              |                            |         |       |           |                           |           |  |        |
| LTOR,all                                      | 247  | 247           |               |                                    |                             |                   |              |                            |         |       |           | 0.00                      | 6.00      | 6.00                                     | 1482   |
| Flow adj(Qadj):                               | 0  |               |               |                                    |                             |                   |              |                            |         |       |           | Total: 3925               |           | Total delay(sec): 604875                 |        |
| Tot flow :                                    | 2049(Qtot)                                   |               |               |                                    |                             |                   |              |                            |         |       |           | Mean number of stops/pcu: | 1.92      | Mean intersection delay(sec/pcu): 295.20 |        |
| Comments                                      | Results indicate US-HCM85 level-of-service F |               |               |                                    |                             |                   |              |                            |         |       |           |                           |           |  |        |
| Program version 1.10                          | Date of run: 031229/3:26                     |               |               |                                    |                             |                   |              |                            |         |       |           |                           |           |  |        |

|  |                  |               |                 |   |  |  |  |   |        |        |         |                |    |
|--|------------------|---------------|-----------------|---|--|--|--|---|--------|--------|---------|----------------|----|
| KAJI, SIGNALISED INTERSECTIONS   |                  |               |                 | City : YOGYAKARTA   | City size : 0.51 Millions  | Date : 20 OKTOBER 2003   |  |   |        |        |         |                |    |
| Form SIG-1: GEOMETRY, SITE CONDITIONS  |                  |               |                 | Name : SIMPANG EMPAT MM UGM   | Handled by: RAFLES & AHMAD   |  |  |   |        |        |         |                |    |
| Purpose : Operation  |                  |               |                 | (intersection name, identity or name of streets)  | Case : JAM PUNCAK PAGI   |  |  |   |        |        |         |                |    |
|  |                  |               |                 |   | Period : 06.45-07.45   |  |  |   |        |        |         |                |    |
|  |                  |               |                 | No. of phases: 4, in EXISTING SIGNAL SETTINGS   Cycle time, c= 162.0, Total lost time, LTI= 26.0  |  |  |  |   |        |        |         |                |    |
| APPROACH IDENTITIES  |                  |               |                 | PHASE 1: Approach g:52.0, IG:6.5  LT ST RT   PHASE 6: g: , IG: ,  | PHASE 2: Approach g:26.0, IG:6.5  LT ST RT   LT ST RT   LT ST RT   LT ST RT   LT ST RT | PHASE 3: Approach g:32.0, IG:6.5  LT ST RT   LT ST RT   LT ST RT   LT ST RT   LT ST RT | PHASE 4: Approach g:26.0, IG:6.5  LT ST RT   LT ST RT   LT ST RT   LT ST RT   LT ST RT | PHASE 5: Approach g: , IG: ,   LT ST RT   LT ST RT   LT ST RT   LT ST RT   LT ST RT |        |        |         |                |    |
| U  |                  |               |                 | N2 U   LTOR GO GO   LTOR   LTOR   LTOR   LTOR   LTOR   LTOR   | S2 S   | E2 T   | W2 B   |   |        |        |         |                |    |
| NORTH  |                  |               |                 | GO GO GO  | GO GO GO   |  |  |   |        |        |         |                |    |
| B WEST   | EAST             | T             |                 |   |  |  |  |   |        |        |         |                |    |
| SOUTH  |                  |               |                 |   |  |  |  |   |        |        |         |                |    |
| S  |                  |               |                 |   |  |  |  |   |        |        |         |                |    |
| Enter an identity for each arm to be defined   |                  |               |                 |   |  |  |  |   |        |        |         |                |    |
| GEOMETRY, SITE CONDITIONS  |                  |               |                 | Examples: Definitions of approach, entry and exit width   |  |  |  |   |        |        |         |                |    |
| $\begin{array}{c} \diagup \\ \diagup \diagup \\ \diagup \diagup \diagup \\ \diagup \diagup \diagup \diagup \\ \diagup \diagup \diagup \diagup \diagup \end{array}$ +Wx                     |                  |               |                 | $\begin{array}{c} \diagdown \\ \diagdown \diagdown \\ \diagdown \diagdown \diagdown \\ \diagdown \diagdown \diagdown \diagdown \\ \diagdown \diagdown \diagdown \diagdown \diagdown \end{array}$ -Wx--+                                       |  |  |  |   |        |        |         |                |    |
| $\begin{array}{c} \diagup \\ \diagup \diagup \\ \diagup \diagup \diagup \\ \diagup \diagup \diagup \diagup \\ \diagup \diagup \diagup \diagup \diagup \end{array}$ -We-                    |                  |               |                 | $\begin{array}{c} \diagdown \\ \diagdown \diagdown \\ \diagdown \diagdown \diagdown \\ \diagdown \diagdown \diagdown \diagdown \\ \diagdown \diagdown \diagdown \diagdown \diagdown \end{array}$ -We-   |  |  |  |   |        |        |         |                |    |
| $\begin{array}{c} \diagup \\ \diagup \diagup \\ \diagup \diagup \diagup \\ \diagup \diagup \diagup \diagup \\ \diagup \diagup \diagup \diagup \diagup \end{array}$ -Wx+                    |                  |               |                 | $\begin{array}{c} \diagdown \\ \diagdown \diagdown \\ \diagdown \diagdown \diagdown \\ \diagdown \diagdown \diagdown \diagdown \\ \diagdown \diagdown \diagdown \diagdown \diagdown \end{array}$ -Wx-   |  |  |  |   |        |        |         |                |    |
| $\begin{array}{c} \diagup \\ \diagup \diagup \\ \diagup \diagup \diagup \\ \diagup \diagup \diagup \diagup \\ \diagup \diagup \diagup \diagup \diagup \end{array}$ W1 We                   |                  |               |                 | $\begin{array}{c} \diagdown \\ \diagdown \diagdown \\ \diagdown \diagdown \diagdown \\ \diagdown \diagdown \diagdown \diagdown \\ \diagdown \diagdown \diagdown \diagdown \diagdown \end{array}$ -We-   |  |  |  |   |        |        |         |                |    |
| $\begin{array}{c} \diagup \\ \diagup \diagup \\ \diagup \diagup \diagup \\ \diagup \diagup \diagup \diagup \\ \diagup \diagup \diagup \diagup \diagup \end{array}$ -Wx-                    |                  |               |                 | $\begin{array}{c} \diagdown \\ \diagdown \diagdown \\ \diagdown \diagdown \diagdown \\ \diagdown \diagdown \diagdown \diagdown \\ \diagdown \diagdown \diagdown \diagdown \diagdown \end{array}$ -Wx-   |  |  |  |   |        |        |         |                |    |
| $\begin{array}{c} \diagup \\ \diagup \diagup \\ \diagup \diagup \diagup \\ \diagup \diagup \diagup \diagup \\ \diagup \diagup \diagup \diagup \diagup \end{array}$ LTOR = Left Turn On Red |                  |               |                 | $\begin{array}{c} \diagdown \\ \diagdown \diagdown \\ \diagdown \diagdown \diagdown \\ \diagdown \diagdown \diagdown \diagdown \\ \diagdown \diagdown \diagdown \diagdown \diagdown \end{array}$ W,LTOR should be 0.0 when LTOR is prohibited |  |  |  |   |        |        |         |                |    |
| LTOR allowed and lane for LTOR   |                  |               |                 | LTOR allowed and traffic isle   |  |  |  |   |        |        |         |                |    |
| LT only on green (or LTOR without LTOR-lane)   |                  |               |                 |   |  |  |  |   |        |        |         |                |    |
| Approach   | Road environment | Side friction | Median gradient | Left-turn on red  | Distance to parked   | Approach   | W I D T H S (m)  | Separation  |        |        |         |                |    |
| code   | Hi/Med/Lo        | Y/N           | + or -          | in %  | Y/N  | veh (m)  | W,appr   | W,entry   | W,LTOR | W,exit | RT-lane | One-way street |    |
| (1)  | (2)              | (3)           | (4)             | (5)   | (6)  | (7)  | (8)  | (9)   | (10)   | (11)   | (Y/N)   | (Y/N)          |    |
| N2   | U                | COM           | Medium          | No  | 0.00   | Yes  | NA   | 5.50  | 2.50   | 3.00   | 6.10    | No             | No |
| S2   | S                | COM           | Low             | No  | 0.00   | No   | NA   | 6.00  | 6.00   |        | 5.90    | No             | No |
| E2   | T                | COM           | Medium          | Yes   | 0.00   | No   | NA   | 6.20  | 6.20   |        | 4.20    | No             |    |
| W2   | B                | COM           | Low             | Yes   | 0.00   | No   | NA   | 6.20  | 6.20   |        | 6.20    | No             |    |
| Program version 1.10   Date of run: 031224/22:59   |                  |               |                 |   |  |  |  |   |        |        |         |                |    |



|   |              |                      |                         |             |                  |          |          |      |     |     |       |        |        |
|---|--------------|----------------------|-------------------------|-------------|------------------|----------|----------|------|-----|-----|-------|--------|--------|
| KAJI- SIGNALISED INTERSECTIONS                          | City :       | YOGYAKARTA           |                         | Date :      | 19 OKTOBER 2003  |          |          |      |     |     |       |        |        |
| Form SIG-3: CLEARANCE TIME,                             | LOST TIME    | Intersection:        |                         | Handled by: | RAFLES & AHMAD   |          |          |      |     |     |       |        |        |
| Purpose : Operation                                     |              | SIMPANG EMPAT MM UGM |                         | Case :      | JAM PUNCAK SIANG |          |          |      |     |     |       |        |        |
|   |              |                      |                         | Period :    | 12.30-13.30      |          |          |      |     |     |       |        |        |
| EVAC. TRAFFIC ADVANCING TRAFFIC                         |              |                      |                         |             |                  |          |          |      |     |     |       |        |        |
| Approach  | Speed        | Approach             | U                       | S           | T                | B        |          |      |     |     |       |        | Allred |
| Ve  | m/sec        | Speed Va             | m/sec                   | 10.0        | 10.0             | 10.0     | 10.0     | 10.0 |     |     |       |        | time   |
| N2  | U            | 10.00                | Dist Evac+Vehlen-Adv(m) | 0+ 0- 0     | 0+ 0- 0          | 40+ 5-18 | 0+ 0- 0  | + -  | + - | + - | + -   | + -    |        |
|   |              |                      | Time evac-adv (sec)     | 0.0-0.0     | 0.0-0.0          | 4.5-1.8  | 0.0-0.0  | -    | -   | -   | -     | -      | 2.70   |
| S2  | S            | 10.00                | Dist Evac+Vehlen-Adv(m) | 0+ 0- 0     | 0+ 0- 0          | 0+ 0- 0  | 23+ 5-20 | + -  | + - | + - | + -   | + -    |        |
|   |              |                      | Time evac-adv (sec)     | 0.0-0.0     | 0.0-0.0          | 0.0-0.0  | 2.8-2.0  | -    | -   | -   | -     | -      | 0.80   |
| E2  | T            | 10.00                | Dist Evac+Vehlen-Adv(m) | 0+ 0- 0     | 23+ 5-20         | 0+ 0- 0  | 0+ 0- 0  | + -  | + - | + - | + -   | + -    |        |
|   |              |                      | Time evac-adv (sec)     | 0.0-0.0     | 2.8-2.0          | 0.0-0.0  | 0.0-0.0  | -    | -   | -   | -     | -      | 0.80   |
| W2  | B            | 10.00                | Dist Evac+Vehlen-Adv(m) | 23+ 5-32    | 0+ 0- 0          | 0+ 0- 0  | 0+ 0- 0  | + -  | + - | + - | + -   | + -    |        |
|   |              |                      | Time evac-adv (sec)     | 2.8-3.2     | 0.0-0.0          | 0.0-0.0  | 0.0-0.0  | -    | -   | -   | -     | -      | 0.00   |
| Dimensioning times between phases (sec)                 |              |                      |                         |             |                  |          |          |      |     |     | Amber | Allred |        |
| Phase 1   | --->         | Phase 2              |                         |             |                  |          |          |      |     |     |       | 3.0    | 2.7    |
| Phase 2   | --->         | Phase 3              |                         |             |                  |          |          |      |     |     |       | 3.0    | 0.8    |
| Phase 3   | --->         | Phase 4              |                         |             |                  |          |          |      |     |     |       | 3.0    | 0.8    |
| Phase 4   | --->         | Phase 1              |                         |             |                  |          |          |      |     |     |       | 3.0    | 0.0    |
| Phase 0   | --->         | Phase 0              |                         |             |                  |          |          |      |     |     |       | 0.0    | 0.0    |
| Phase 0   | --->         | Phase 0              |                         |             |                  |          |          |      |     |     |       | 0.0    | 0.0    |
| Lost time (LTI) = Total allred + amber time (sec/cycle) |              |                      |                         |             |                  |          |          |      |     |     | 16.30 |        |        |
| Program version 1.10                                    | Date of run: | 031229/3:30          |                         |             |                  |          |          |      |     |     |       |        |        |

| K A J I - SIGNALISED INTERSECTIONS | City : YOGYAKARTA | Date : 19 OKTOBER 2003 |
 | Form SIG-4 : SIGNAL TIMING, | | Handled by: RAFFLES & AHMAD |
 | CAPACITY | | Case : JAM PUNCAK SIANG |
 | Purpose : Operation | | Period : 12.30-13.30 |
 +-----+

| Traffic flows, pcu/h (Protected + Opposed) | CALCULATED SIGNAL SETTINGS DISPLAY (no arrows for zero flows) |
 +-----+

|                |              | Phase 1 |      | Phase 2 |   | Phase 3 |   | Phase 4 |   | Phase 5 |   | Phase 6 |   |
|----------------|--------------|---------|------|---------|---|---------|---|---------|---|---------|---|---------|---|
|                |              | U       | U    | U       | U | U       | U | U       | U | U       | U | U       | U |
| P:86           | P:247        |         |      |         |   |         |   |         |   |         |   |         |   |
| O:106          | -+ O:327     |         | <-+> |         |   |         |   |         |   |         |   |         |   |
| P:486          |              | V       |      |         |   |         |   |         |   |         |   |         |   |
| O:659          |              |         |      |         |   |         |   |         |   |         |   |         |   |
| P:61           |              |         |      |         |   |         |   |         |   |         |   |         |   |
| O:84           |              |         |      |         |   |         |   |         |   |         |   |         |   |
| B ---+ P:41    | P:126 ---+ T | B       | T    | B       | T | B       | T | B       | T |         |   |         |   |
| P:22 O:67      | O:153 P:93   |         |      |         |   |         |   |         |   |         |   |         |   |
| O:34           | O:139        |         |      |         |   |         |   |         |   |         |   |         |   |
| P:620          |              |         |      |         |   |         |   |         |   |         |   |         |   |
| O:789          |              |         |      |         |   |         |   |         |   |         |   |         |   |
| P:17 ---+ P:59 |              |         |      |         |   |         |   |         |   |         |   |         |   |
| O:27   O:77    |              |         |      |         |   |         |   |         |   |         |   |         |   |
| S              |              |         |      |         |   |         |   |         |   |         |   |         |   |
|                |              |         |      |         |   |         |   |         |   |         |   |         |   |
|                |              | S       |      | S       |   | S       |   | S       |   | S       |   |         |   |

| Approach|Green in |Appr| Ratio of turn- | RT-flow |Effect.| Ease | Saturated flow correction factors|Adjust.| Traffic |Flow |Phase|Green|Capa-|Degrees|
 | code |phase |type| ing vehicles | pcu/h | width | satu-| All approach types |Only type P| sat. | flow |ratio|ratio|time |city | of |
 | | | | | (m) | ration|City| Side |Grad-|Park-|Right|Left | flow | |LT,| FR | PR= |(sec)|pcu/h|satu-|
 | | | if 2-| |p | p | p | Own|Opp.| '\*' if| flow |size|frict.|ient | ing |turns|turns|pcu/h|ST,| |FRcr | | S\*g |ration|
 | | | phase| |LTOR| LT | RT | dir|dir | W,exit| So |Fcs | Fsf | Fg | Fp | Frt | Flt | S | Q | or | Q/S | /IFR| g | =C | Q/C |
 | (1) | (2) |green| (3) | (4) | (5) | (6) | (7)|(8) | (9) | (10) | (11) | (12) | (13) | (14) | (15) | (16) | (17) | (18) | (19) | (20) | (21) | (22) | (23) |
 +-----+

|      |  |
|------|--|
| I N2 | U   1   1.00   P   0.00   0.30   0.11   86   0   6.50   3900   0.94   0.937   1.00   1.00   1.03   0.95   3357   819   LSR   0.244   0.437   23.0   1016   0.806 |
| I S2 | S   3   1.00   P   0.00   0.02   0.08   59   0   7.00   4200   0.94   0.941   1.00   1.00   1.02   1.00   3782   696   LSR   0.184   0.330   17.0   846   0.823  |
| I E2 | T   2   1.00   P   0.00   0.23   0.47   191   0   8.20   4920   0.94   0.932   1.00   1.00   1.00   0.96   4152   410   LSR   0.099   0.177   10.0   546   0.751 |
| I W2 | B   4   1.00   P   0.00   0.49   0.18   22   0   8.20   4920   0.94   0.929   1.00   1.00   1.00   0.92   3960   124   LSR   0.031   0.056   10.0   521   0.238  |

| Total lost time, LTI : 16.3 sec | Unadj. cycle time Cua : 66.54 sec | Correction factors are NOT shown if | IFR : 0.558 (= sum of FRcrit) |
 | | Adjusted cycle time, c: 76 sec | adj. saturation flow is user input. | Efficiency: 0.773 (= IFR + LTI/c) |
 +-----+

| Comments: Green, phase 4 set to 10 sec (min value) |
 | Comments: Unusual cycle time. Normal value is 80-130 s |
 +-----+

| Program version 1.10 | Date of run: 031229/3:30 |
 +-----+



|   |             |   |           |                               |           |  |                 |            |      |      |    |    |
|---|-------------|---|-----------|-------------------------------|-----------|--|-----------------|------------|------|------|----|----|
| KAJI, SIGNALISED INTERSECTIONS  |             | City : YOGYAKARTA   |           | City size : 0.51 Millions     |           | Date : 20 OKTOBER 2003                       |                 |            |      |      |    |    |
| Form SIG-1: GEOMETRY,   |             |   |           |                               |           | Handled by: RAFLES & AHMAD                   |                 |            |      |      |    |    |
| SITE CONDITIONS   |             | Name : SIMPANG EMPAT MM UGM                                     |           | Case : JAM PUNCAK PAGI        |           |  |                 |            |      |      |    |    |
| Purpose : Operation   |             | (intersection name, identity or name of streets)                |           | Period : 06.45-07.45          |           |  |                 |            |      |      |    |    |
| No. of phases: 0, in EXISTING SIGNAL SETTINGS   Cycle time, c= , Total lost time, LTI=  |             |   |           |                               |           |  |                 |            |      |      |    |    |
| +-----+-----+-----+-----+-----+-----+-----+   |             |   |           |                               |           |  |                 |            |      |      |    |    |
| APPROACH IDENTITIES   |             | PHASE 1:  | PHASE 2:  | PHASE 3:                      | PHASE 4:  | PHASE 5:                                     | PHASE 6:        |            |      |      |    |    |
| Approach  |             | g: , IG:   g: , IG: | LT ST RT  | LT ST RT                      | LT ST RT  | LT ST RT                                     | LT ST RT        | LT ST RT   |      |      |    |    |
| U   |             | N2 U  |           |                               |           |  |                 |            |      |      |    |    |
| NORTH   |             | S2 S  |           |                               |           |  |                 |            |      |      |    |    |
| B WEST  |             | E2 T  |           |                               |           |  |                 |            |      |      |    |    |
| EAST  |             | W2 B  |           |                               |           |  |                 |            |      |      |    |    |
| T   |             |   |           |                               |           |  |                 |            |      |      |    |    |
| SOUTH   |             |   |           |                               |           |  |                 |            |      |      |    |    |
| S   |             |   |           |                               |           |  |                 |            |      |      |    |    |
| Enter an identity for each arm to be defined  |             |   |           |                               |           |  |                 |            |      |      |    |    |
| +-----+-----+-----+-----+-----+-----+-----+   |             |   |           |                               |           |  |                 |            |      |      |    |    |
| GEOMETRY, SITE CONDITIONS   |             | Examples: Definitions of approach, entry and exit width         |           |                               |           |  |                 |            |      |      |    |    |
| <p>Wx = W, exit<br/>Wl = W, LTOR-lane<br/>We = W, entry<br/>Wa = W, approach<br/>LTOR = Left Turn On Red</p> <p>W, LTOR should be 0.0 when LTOR is prohibited</p> |             |   |           |                               |           |  |                 |            |      |      |    |    |
| LTOR allowed and lane for LTOR  |             |   |           | LTOR allowed and traffic isle |           | LT only on green (or LTOR without LTOR-lane) |                 |            |      |      |    |    |
| +-----+-----+-----+-----+-----+-----+-----+   |             |   |           |                               |           |  |                 |            |      |      |    |    |
| Approach  | Road        | Side  | Median    | Gradient                      | Left-turn | Distance                                     | W I D T H S (m) | Separation |      |      |    |    |
| code  | environment | friction  | Hi/Med/Lo | Y/N                           | + or -    | on recd                                      | to parked       | Approach   |      |      |    |    |
| (1)   | (2)         | (3)   | (4)       | (5)                           | (6)       | (7)  | (8)             | (9)        |      |      |    |    |
| N2  | U           | COM   | Medium    | No                            | 0.00      | No   | NA              | 6.50       | 6.50 | 7.10 | No | No |
| S2  | S           | COM   | Low       | No                            | 0.00      | No   | NA              | 7.00       | 7.00 | 6.90 | No | No |
| E2  | T           | COM   | Medium    | Yes                           | 0.00      | No   | NA              | 8.20       | 8.20 | 6.20 | No |    |
| W2  | B           | COM   | Low       | Yes                           | 0.00      | No   | NA              | 8.20       | 8.20 | 8.20 | No |    |
| Program version 1.10   Date of run: 031225/6:53   |             |   |           |                               |           |  |                 |            |      |      |    |    |

|   |       |   |                         |                        |          |          |          |                          |  |
|---|-------|---|-------------------------|------------------------|----------|----------|----------|--------------------------|--|
| KAJI- SIGNALISED INTERSECTIONS                          |       | City : YOGYAKARTA                           |                         | Date : 20 OKTOBER 2003 |          |          |          |                          |  |
| Form SIG-3: CLEARANCE TIME, +                           |       | Handled by: RAFLES & AHMAD                  |                         |                        |          |          |          |                          |  |
| LOST TIME   Intersection:                               |       | Case : JAM PUNCAK PAGI                      |                         |                        |          |          |          |                          |  |
| Purpose : Operation                                     |       | SIMPANG EMPAT MM UGM   Period : 06.45-07.45 |                         |                        |          |          |          |                          |  |
| <b>  EVAC. TRAFFIC   ADVANCING TRAFFIC</b>              |       |   |                         |                        |          |          |          |                          |  |
| Approach  | Speed | Approach                                    | U                       | S                      | T        | B        | Allred   | time                     |  |
|   | Ve    |   |                         |                        |          |          |          |                          |  |
|   | m/sec | Speed Va                                    | m/sec                   | 10.0                   | 10.0     | 10.0     | 10.0     | (sec)                    |  |
| N2  | U     | 10.00                                       | Dist Evac+Vehlen-Adv(m) | 0+ 0- 0                | 0+ 0- 0  | 40+ 5-18 | 0+ 0- 0  | + - + - + - + - + -      |  |
|   |       |   | Time evac-adv (sec)     | 0.0-0.0                | 0.0-0.0  | 4.5-1.8  | 0.0-0.0  | -   -   -   -   -   2.70 |  |
| S2  | S     | 10.00                                       | Dist Evac+Vehlen-Adv(m) | 0+ 0- 0                | 0+ 0- 0  | 0+ 0- 0  | 23+ 5-20 | + - + - + - + - + -      |  |
|   |       |   | Time evac-adv (sec)     | 0.0-0.0                | 0.0-0.0  | 0.0-0.0  | 2.8-2.0  | -   -   -   -   -   0.80 |  |
| E2  | T     | 10.00                                       | Dist Evac+Vehlen-Adv(m) | 0+ 0- 0                | 23+ 5-20 | 0+ 0- 0  | 0+ 0- 0  | + - + - + - + - + -      |  |
|   |       |   | Time evac-adv (sec)     | 0.0-0.0                | 2.8-2.0  | 0.0-0.0  | 0.0-0.0  | -   -   -   -   -   0.80 |  |
| W2  | B     | 10.00                                       | Dist Evac+Vehlen-Adv(m) | 23+ 5-32               | 0+ 0- 0  | 0+ 0- 0  | 0+ 0- 0  | + - + - + - + - + -      |  |
|   |       |   | Time evac-adv (sec)     | 2.8-3.2                | 0.0-0.0  | 0.0-0.0  | 0.0-0.0  | -   -   -   -   -   0.00 |  |
| Dimensioning times between phases (sec)                 |       |   |                         |                        | Amber    | Allred   |          |                          |  |
|   |       |   |                         |                        |          |          |          |                          |  |
|   |       |   | Phase 1                 | --->                   | Phase 2  |          | 3.0      | 2.7                      |  |
|   |       |   | Phase 2                 | --->                   | Phase 3  |          | 3.0      | 0.8                      |  |
|   |       |   | Phase 3                 | --->                   | Phase 4  |          | 3.0      | 0.8                      |  |
|   |       |   | Phase 4                 | --->                   | Phase 1  |          | 3.0      | 0.0                      |  |
|   |       |   | Phase 0                 | --->                   | Phase 0  |          | 0.0      | 0.0                      |  |
|   |       |   | Phase 0                 | --->                   | Phase 0  |          | 0.0      | 0.0                      |  |
| Lost time (LTI) = Total allred + amber time (sec/cycle) |       |   |                         |                        | 16.30    |          |          |                          |  |
| Program version 1.10   Date of run: 031225/6:53         |       |   |                         |                        |          |          |          |                          |  |



|   |  |   |  |           |         |           |         |
|---|--|---|--|-----------|---------|-----------|---------|
| K A J I - SIGNALISED INTERSECTIONS<br>Form SIG-4 : SIGNAL TIMING,<br>CAPACITY<br>Purpose : Operation  |  | City : YOGYAKARTA<br>Intersection : SIMPANG EMPAT MM UGM      | Date : 20 OKTOBER 2003<br>Handled by: RAFLES & AHMAD<br>Case : JAM PUNCAK PAGI<br>Period : 06.45-07.45 |           |         |           |         |
| Traffic flows, pcu/h (Protected + Opposed)  |  | CALCULATED SIGNAL SETTINGS DISPLAY (no arrows for zero flows) |  |           |         |           |         |
|   |  | Phase 1   | Phase 2  | Phase 3   | Phase 4 | Phase 5   | Phase 6 |
|   |  | U   | U  | U         | U       | U         |         |
| P:406   P:431<br>O:514 --+ O:667<br>P:679<br>O1010  |  | <-+><br>v   |  |           |         |           |         |
| P:117                         P:216<br>O:134                         O:271<br>B --+-- P:87            P:267 --+--<br>P:51    O:153            O:304    P:65<br>O:92                         O:105   |  | T   | B  | T         | B       | T         |         |
|   |  |   |  | ^         |         | ^         |         |
| P:485<br>O:679<br>P:50    --+ P:52<br>O:68      O:73<br>S   |  |   |  | <-+><br>v |         | <-+><br>v |         |
|   |  | S   | S  | S         | S       | S         |         |
| Approach Green in  Appr  Ratio of turn-   RT-flow. Effect.  Base   Saturation flow correction factors Adjust.  Traffic  Flow  Phase Green Capa- Degree <br>code  phase  type  ing vehicles   pcu/h   width   satu-  All approach types  Only type P  sat.   flow  ratio ratio time  city   of  <br> no. Split    +-----+ +-----+ +-----+ (m)  ration City  Side  Grad- Park- Right Left   flow    LT,   FR   PR=  (sec) pcu/h  satu- <br>  if 2-   p   p   p   Own Opp.   '*' if   flow  size frict. ient   ing  turns turns pcu/h pcu/h ST,    FRcr     S*g  ratio <br>  phase    LTOR  LT   RT   dir dir   W,exit  So  Fcs   Fsf   Fg   Fp   Frt   Flt   S   Q   or   Q/S   /IFR  g   =C   Q/C  <br>(1)   (2) green  (3)   (4)   (5)   (6)   (7) (8)   (9)   (10)  {11}  (12)   (13)   (14)   (15) (16)   (17)   (18)  RT  (19)   (20)   (21)   (22)   (23) |  |   |  |           |         |           |         |
| N2    U  1   1.00  P   0.00  0.28  0.27  406  0  6.50   3900 0.94  0.929  1.00  1.00  1.07 0.95   3475   1516 LSR 0.436 0.551  69.0  1677  0.904 <br>S2    S  3   1.00  P   0.00  0.09  0.09  52  0  7.00   4200 0.94  0.926  1.00  1.00  1.02 0.99   3587   587 LSR 0.159 0.201  26.0  670  0.876 <br>E2    T  2   1.00  P   0.00  0.12  0.39  216  0  8.20   4920 0.94  0.925  1.00  1.00  1.00 0.98   4198   548 LSR 0.131 0.165  21.0  616  0.890 <br>W2    B  4   1.00  P   0.00  0.46  0.20  51  0  8.20   4920 0.34  0.911  1.00  1.00  1.00 0.93   3906   255 LSR 0.065 0.083  11.0  300  0.850   |  |   |  |           |         |           |         |
| Total lost time, LTI : 16.3 sec   Unadj. cycle time Cua : 141.1 sec   Correction factors are NOT shown if   IFR : 0.791 (= sum of FRcrit)<br>  Adjusted cycle time, c: 143 sec   adj. saturation flow is user input.   Efficiency: 0.905 (= IFR + LTI/c)  |  |   |  |           |         |           |         |
| Comments:<br>Comments: Unusual cycle time. Normal value is 80-130 s   |  |   |  |           |         |           |         |
| Program version 1.10   Date of run: 031225/6:53   |  |   |  |           |         |           |         |



| KAJI, SIGNALISED INTERSECTIONS   City : YOGYAKARTA   City size : 0.51 Millions   Date : 20 OKTOBER 2003  |                  |      |          |                  |           |          |          |           |          |      |       |       |     |            |   |     |            |     |     |     |     |     |     |     |     |     |      |      |       |       |  |  |
|--|------------------|------|----------|------------------|-----------|----------|----------|-----------|----------|------|-------|-------|-----|------------|---|-----|------------|-----|-----|-----|-----|-----|-----|-----|-----|-----|------|------|-------|-------|--|--|
| Form SIG-1: GEOMETRY, +-----+   Handled by: RAFFLES & AHMAD  |                  |      |          |                  |           |          |          |           |          |      |       |       |     |            |   |     |            |     |     |     |     |     |     |     |     |     |      |      |       |       |  |  |
| SITE CONDITIONS   Name : SIMPANG EMPAT MM UGM   Case : JAM PUNCAK SIANG  |                  |      |          |                  |           |          |          |           |          |      |       |       |     |            |   |     |            |     |     |     |     |     |     |     |     |     |      |      |       |       |  |  |
| Purpose : Operation   (intersection name, identity or name of streets)   Period : 12.30-13.30  |                  |      |          |                  |           |          |          |           |          |      |       |       |     |            |   |     |            |     |     |     |     |     |     |     |     |     |      |      |       |       |  |  |
| No. of phases: 0, in EXISTING SIGNAL SETTINGS Cycle time, c= , Total lost time, LTI=   |                  |      |          |                  |           |          |          |           |          |      |       |       |     |            |   |     |            |     |     |     |     |     |     |     |     |     |      |      |       |       |  |  |
| APPROACH IDENTITIES   PHASE 1:   PHASE 2:   PHASE 3:   PHASE 4:   PHASE 5:   PHASE 6:  |                  |      |          |                  |           |          |          |           |          |      |       |       |     |            |   |     |            |     |     |     |     |     |     |     |     |     |      |      |       |       |  |  |
| Approach   g: , IG:   |                  |      |          |                  |           |          |          |           |          |      |       |       |     |            |   |     |            |     |     |     |     |     |     |     |     |     |      |      |       |       |  |  |
| U   N2 U   LT ST RT   |                  |      |          |                  |           |          |          |           |          |      |       |       |     |            |   |     |            |     |     |     |     |     |     |     |     |     |      |      |       |       |  |  |
| NORTH   S2 S   LT ST RT   |                  |      |          |                  |           |          |          |           |          |      |       |       |     |            |   |     |            |     |     |     |     |     |     |     |     |     |      |      |       |       |  |  |
| B WEST   E2 T   LT ST RT  |                  |      |          |                  |           |          |          |           |          |      |       |       |     |            |   |     |            |     |     |     |     |     |     |     |     |     |      |      |       |       |  |  |
| EAST   W2 B   LT ST RT  |                  |      |          |                  |           |          |          |           |          |      |       |       |     |            |   |     |            |     |     |     |     |     |     |     |     |     |      |      |       |       |  |  |
| T   LT ST RT   |                  |      |          |                  |           |          |          |           |          |      |       |       |     |            |   |     |            |     |     |     |     |     |     |     |     |     |      |      |       |       |  |  |
| SOUTH  |                  |      |          |                  |           |          |          |           |          |      |       |       |     |            |   |     |            |     |     |     |     |     |     |     |     |     |      |      |       |       |  |  |
| S  |                  |      |          |                  |           |          |          |           |          |      |       |       |     |            |   |     |            |     |     |     |     |     |     |     |     |     |      |      |       |       |  |  |
| Enter an identity for each arm to be defined   |                  |      |          |                  |           |          |          |           |          |      |       |       |     |            |   |     |            |     |     |     |     |     |     |     |     |     |      |      |       |       |  |  |
| GEOMETRY, Examples: Definitions of approach, entry and exit width  |                  |      |          |                  |           |          |          |           |          |      |       |       |     |            |   |     |            |     |     |     |     |     |     |     |     |     |      |      |       |       |  |  |
| SITE CONDITIONS  |                  |      |          |                  |           |          |          |           |          |      |       |       |     |            |   |     |            |     |     |     |     |     |     |     |     |     |      |      |       |       |  |  |
|  |                  |      |          |                  |           |          |          |           |          |      |       |       |     |            |   |     |            |     |     |     |     |     |     |     |     |     |      |      |       |       |  |  |
| $W_x = W_{exit}$<br>$W_l = W_{LTOR-lane}$<br>$W_e = W_{entry}$<br>$W_a = W_{approach}$<br>$LTOR = \text{Left Turn On Red}$   |                  |      |          |                  |           |          |          |           |          |      |       |       |     |            |   |     |            |     |     |     |     |     |     |     |     |     |      |      |       |       |  |  |
| $W_x = W_{exit}$<br>$W_l = W_{LTOR-lane}$<br>$W_e = W_{entry}$<br>$W_a = W_{approach}$<br>$LTOR = \text{Left Turn On Red}$   |                  |      |          |                  |           |          |          |           |          |      |       |       |     |            |   |     |            |     |     |     |     |     |     |     |     |     |      |      |       |       |  |  |
|  |                  |      |          |                  |           |          |          |           |          |      |       |       |     |            |   |     |            |     |     |     |     |     |     |     |     |     |      |      |       |       |  |  |
| $LTOR \text{ allowed and lane for LTOR}$<br>$LTOR \text{ allowed and traffic isle}$<br>$LT \text{ only on green (or LTOR without LTOR-lane)}$  |                  |      |          |                  |           |          |          |           |          |      |       |       |     |            |   |     |            |     |     |     |     |     |     |     |     |     |      |      |       |       |  |  |
| <table border="1"> <thead> <tr> <th>Approach</th> <th>Road environment</th> <th>Side</th> <th>Median</th> <th>Gradient</th> <th>Left-turn</th> <th>Distance</th> <th>W</th> <th>I</th> <th>D</th> <th>T</th> <th>H</th> <th>S</th> <th>(m)</th> <th>Separation</th> </tr> </thead> <tbody> <tr> <td>(1)</td> <td>(2)</td> <td>(3)</td> <td>(4)</td> <td>(5)</td> <td>(6)</td> <td>(7)</td> <td>(8)</td> <td>(9)</td> <td>(10)</td> <td>(11)</td> <td>(Y/N)</td> <td>(Y/N)</td> <td></td> <td></td> </tr> </tbody> </table> |                  |      | Approach | Road environment | Side      | Median   | Gradient | Left-turn | Distance | W    | I     | D     | T   | H          | S | (m) | Separation | (1) | (2) | (3) | (4) | (5) | (6) | (7) | (8) | (9) | (10) | (11) | (Y/N) | (Y/N) |  |  |
| Approach   | Road environment | Side | Median   | Gradient         | Left-turn | Distance | W        | I         | D        | T    | H     | S     | (m) | Separation |   |     |            |     |     |     |     |     |     |     |     |     |      |      |       |       |  |  |
| (1)  | (2)              | (3)  | (4)      | (5)              | (6)       | (7)      | (8)      | (9)       | (10)     | (11) | (Y/N) | (Y/N) |     |            |   |     |            |     |     |     |     |     |     |     |     |     |      |      |       |       |  |  |
| N2   | U                | COM  | Medium   | No               | 0.00      | No       | NA       | 6.50      | 6.50     | 7.10 | No    | No    |     |            |   |     |            |     |     |     |     |     |     |     |     |     |      |      |       |       |  |  |
| S2   | S                | COM  | Low      | No               | 0.00      | No       | NA       | 7.00      | 7.00     | 6.90 | No    | No    |     |            |   |     |            |     |     |     |     |     |     |     |     |     |      |      |       |       |  |  |
| E2   | T                | COM  | Medium   | Yes              | 0.00      | No       | NA       | 8.20      | 8.20     | 6.20 | No    |       |     |            |   |     |            |     |     |     |     |     |     |     |     |     |      |      |       |       |  |  |
| W2   | B                | COM  | Low      | Yes              | 0.00      | No       | NA       | 8.20      | 8.20     | 8.20 | No    |       |     |            |   |     |            |     |     |     |     |     |     |     |     |     |      |      |       |       |  |  |
| Program version 1.10   Date of run: 031229/3:24  |                  |      |          |                  |           |          |          |           |          |      |       |       |     |            |   |     |            |     |     |     |     |     |     |     |     |     |      |      |       |       |  |  |



|   |              |                      |                         |  |                     |  |                  |     |              |        |
|---|--------------|----------------------|-------------------------|--|---------------------|--|------------------|-----|--------------|--------|
| KAJI- SIGNALISED INTERSECTIONS                          | City :       | YOGYAKARTA           |                         |  |                     | Date :   | 20 OKTOBER 2003  |     |              |        |
| Form SIG-3: CLEARANCE TIME,                             | LOST TIME    | Intersection:        |                         |  |                     | Handled by:  | RAFLES & AHMAD   |     |              |        |
| Purpose : Operation                                     |              | SIMPANG EMPAT MM UGM |                         |  |                     | Case :   | JAM PUNCAK SIANG |     |              |        |
|   |              |                      |                         |  |                     | Period :   | 12.30-13.30      |     |              |        |
| <b>EVAC. TRAFFIC   A D V A N C I N G T R A F F I C</b>  |              |                      |                         |  |                     |  |                  |     |              |        |
| Approach  | Speed        | Approach             | U                       | S  | T                   | B  |                  |     | Allred       |        |
| Ve  | m/sec        | Speed Va m/sec       | 10.0                    | 10.0   | 10.0                | 10.0   | 10.0             |     | time   (sec) |        |
| N2  | U            | 10.00                | Dist Evac+Vehlen-Adv(m) | 0+ 0- 0  0+ 0- 0  40+ 5-18  0+ 0- 0  + -   + -   + -   + -   + - | Time evac-adv (sec) | 0.0-0.0  0.0-0.0  4.5-1.8  0.0-0.0  -   -   -   -   -   2.70 |                  |     |              |        |
| S2  | S            | 10.00                | Dist Evac+Vehlen-Adv(m) | 0+ 0- 0  0+ 0- 0  0+ 0- 0  23+ 5-20  + -   + -   + -   + -   + - | Time evac-adv (sec) | 0.0-0.0  0.0-0.0  0.0-0.0  2.8-2.0  -   -   -   -   -   0.80 |                  |     |              |        |
| E2  | T            | 10.00                | Dist Evac+Vehlen-Adv(m) | 0+ 0- 0  23+ 5-20  0+ 0- 0  0+ 0- 0  + -   + -   + -   + -   + - | Time evac-adv (sec) | 0.0-0.0  2.8-2.0  0.0-0.0  0.0-0.0  -   -   -   -   -   0.80 |                  |     |              |        |
| W2  | B            | 10.00                | Dist Evac+Vehlen-Adv(m) | 23+ 5-32  0+ 0- 0  0+ 0- 0  0+ 0- 0  + -   + -   + -   + -   + - | Time evac-adv (sec) | 2.8-3.2  0.0-0.0  0.0-0.0  0.0-0.0  -   -   -   -   -   0.00 |                  |     |              |        |
| Dimensioning times between phases (sec)                 |              |                      |                         |  |                     |  |                  |     | Amber        | Allred |
| Phase 1   | --->         | Phase 2              |                         |  |                     |  | 3.0              | 2.7 |              |        |
| Phase 2   | --->         | Phase 3              |                         |  |                     |  | 3.0              | 0.8 |              |        |
| Phase 3   | --->         | Phase 4              |                         |  |                     |  | 3.0              | 0.8 |              |        |
| Phase 4   | --->         | Phase 1              |                         |  |                     |  | 3.0              | 0.0 |              |        |
| Phase 0   | --->         | Phase 0              |                         |  |                     |  | 0.0              | 0.0 |              |        |
| Phase 0   | --->         | Phase 0              |                         |  |                     |  | 0.0              | 0.0 |              |        |
| Lost time (LTI) = Total allred + amber time (sec/cycle) |              |                      |                         |  |                     |  |                  |     | 16.30        |        |
| Program version 1.10                                    | Date of run: | 031229/3:24          |                         |  |                     |  |                  |     |              |        |

|   |   |                      |             |                  |         |         |
|---|---|----------------------|-------------|------------------|---------|---------|
| K A J I - SIGNALISED INTERSECTIONS  | City :  | YOGYAKARTA           | Date :      | 20 OKTOBER 2003  |         |         |
| Form SIG-4 : SIGNAL TIMING,   |   |                      | Handled by: | RAFLES & AHMAD   |         |         |
| CAPACITY  | Intersection :  | SIMPANG EMPAT MM UGM | Case :      | JAM PUNCAK SIANG |         |         |
| Purpose : Operation   |   |                      | Period :    | 12.30-13.30      |         |         |
| Traffic flows, pcu/h (Protected + Opposed)  | CALCULATED SIGNAL SETTINGS DISPLAY (no arrows for zero flows) |                      |             |                  |         |         |
|   | Phase 1   | Phase 2              | Phase 3     | Phase 4          | Phase 5 | Phase 6 |
|   | U   | U                    | U           | U                | U       |         |
| P:174   P:309<br>O:219 +- O:451<br>P:549<br>O:783   | <-+><br>v   |                      |             |                  |         |         |
| P:194                    P:255<br>C:228                    O:323<br>B:--- P:134    P:200 --- T      B      T      B      T      B      T<br>P:79    O:219    O:240 P:80<br>O:110                    O:139   |   |                      |             |                  |         |         |
| P:738<br>O1024<br>P:46 +- P:74<br>O:72    O:110<br>S  |   |                      |             |                  |         |         |
|   | S   | S                    | S           | S                | S       |         |
| Approach Green in  Appr  Ratio of turn-   RT-flow  Effect.   Base   Saturation flow correction factors Adjust.   Traffic  Flow  Phase Green Capa- Degree <br>code  phase  type  ing vehicles   pcu/h   width   satu-  All approach types  Only type P  sat.   flow  ratio ratio time  city   of  <br> no. Split  +-----+-----+-----+-----+ (m)  ration City  Side  Grad- Park- Right Left   flow    LT,  FR   PR=  (sec) pcu/h  satu- <br> if 2-   p   p   p   OwnOpp.  '*' if   flow  size frict. ient   ing  turns turns pcu/hg pcu/h ST,   FRcr     S*g  ration <br> phase    LTOR  LT   RT   dir dir   W,exit   So  Fcs   Fsf   Fg   Fp   Frt   Flt   S   Q   or   Q/S   /IFR  g   =C   Q/C  <br>(1)  (2) green  (3)   (4)   (5)   (6)   (7) (8)   (9)   (10)  (11)  (12)   (13)   (14)   (15)  (16)   (17)  (18)  RT  (19)  (20)  (21)  (22)   (23)  <br>IN2   U   1   1.00   P   0.00   0.30   0.17   174   0   6.50   3900 0.94  0.935   1.00   1.00   1.04 0.95   3405   1032 LSR 0.303 0.398  43.0   1162   0.888  <br>IS2   S   3   1.00   P   0.00   0.05   0.09   74   0   7.00   4200 0.94  0.934   1.00   1.00   1.02 0.99   3738   858 LSR 0.230 0.301  33.0   979   0.876  <br>IE2   T   2   1.00   P   0.00   0.15   0.48   255   0   8.20   4920 0.94  0.923   1.00   1.00   1.00 0.98   4166   535 LSR 0.128 0.168  19.0   628   0.852  <br>IW2   B   4   1.00   P   0.00   0.48   0.19   79   0   8.20   4920 0.94  0.940   1.00   1.00   1.00 0.92   4016   407 LSR 0.101 0.133  15.0   478   0.851  <br>Total lost time, LTI : 16.3 sec   Unadj. cycle time Cua : 123.9 sec   Correction factors are NOT shown if   IFR : 0.762 (= sum of FRcrit)<br>  Adjusted cycle time, c: 126 sec   adj. saturation flow is user input.   Efficiency: 0.892 (= IFR + LTI/c)<br>Comments:<br>Comments:<br>Program version 1.10   Date of run: 031229/3:24 |   |                      |             |                  |         |         |



Tabel Skenario III.

| Hari         | Lengan  | Arus jenuh (smp/jam) | Waktu siklus (detik) | Waktu hijau (detik) | Kapasitas (smp/jam) | Derajat jenuh | Panjang antrian (m) | Tundaan (det/smp) | Tundaan simpang | Tingkat pelayanan |
|--------------|---------|----------------------|----------------------|---------------------|---------------------|---------------|---------------------|-------------------|-----------------|-------------------|
| Minggu Pagi  | Utara   | 3401                 | 73                   | 21                  | 97                  | 0,724         | 58                  | 30,20             | 34,10           | D                 |
|              | Selatan | 3749                 |                      | 10                  | 514                 | 0,714         | 31                  | 39,18             |                 |                   |
|              | Timur   | 4152                 |                      | 11                  | 626                 | 0,687         | 29                  | 36,76             |                 |                   |
|              | Barat   | 3909                 |                      | 10                  | 535                 | 0,245         | 7                   | 32,17             |                 |                   |
| Minggu Siang | Utara   | 3357                 | 90                   | 27                  | 1007                | 0,813         | 89                  | 38,92             | 42,89           | E                 |
|              | Selatan | 3782                 |                      | 21                  | 882                 | 0,789         | 71                  | 41,65             |                 |                   |
|              | Timur   | 4152                 |                      | 11                  | 507                 | 0,809         | 39                  | 53,57             |                 |                   |
|              | Barat   | 3960                 |                      | 10                  | 440                 | 0,282         | 10                  | 40,71             |                 |                   |
| Senin Pagi   | Utara   | 3475                 | 176                  | 85                  | 1678                | 0,903         | 308                 | 54,20             | 76,10           | F                 |
|              | Selatan | 3687                 |                      | 31                  | 649                 | 0,904         | 126                 | 95,99             |                 |                   |
|              | Timur   | 4198                 |                      | 26                  | 620                 | 0,884         | 100                 | 95,20             |                 |                   |
|              | Barat   | 3906                 |                      | 13                  | 289                 | 0,882         | 51                  | 119,5             |                 |                   |
| Senin Siang  | Utara   | 3405                 | 155                  | 53                  | 1164                | 0,887         | 194                 | 62,11             | 73,32           | F                 |
|              | Selatan | 3738                 |                      | 40                  | 965                 | 0,889         | 154                 | 71,53             |                 |                   |
|              | Timur   | 4166                 |                      | 23                  | 618                 | 0,866         | 85                  | 83,42             |                 |                   |
|              | Barat   | 4016                 |                      | 18                  | 466                 | 0,873         | 68                  | 92,25             |                 |                   |

|  |  |                      |             |                 |             |                 |
|--|--|----------------------|-------------|-----------------|-------------|-----------------|
| KAJI, SIGNALISED INTERSECTIONS   | City :   | YOGYAKARTA           | City size : | 0.51 Millions   | Date :      | 19 OKTOBER 2003 |
| Form SIG-1: GEOMETRY,  |  |                      |             |                 | Handled by: | RAFLES & AHMAD  |
| SITE CONDITIONS  | Name :   | SIMPANG EMPAT MM UGM | Case :      | JAM PUNCAK FAGI |             |                 |
| Purpose : Operation  | (intersection name, identity or name of streets) |                      | Period :    | 06.45-07.45     |             |                 |
| No. of phases: 0, in EXISTING SIGNAL SETTINGS   Cycle time, c= , Total lost time, LTI= |  |                      |             |                 |             |                 |
| APPROACH IDENTITIES  |  |                      |             |                 |             |                 |
|  |  | PHASE 1:             | PHASE 2:    | PHASE 3:        | PHASE 4:    | PHASE 5:        |
|  |  | Approach             | g: , IG:    | g: , IG:        | g: , IG:    | g: , IG:        |
|  |  |                      | LT ST RT    | LT ST RT        | LT ST RT    | LT ST RT        |
|  |  | U                    | N2 U        |                 |             |                 |
|  |  |                      | S2 S        |                 |             |                 |
|  |  | NORTH                | E2 T        |                 |             |                 |
|  |  |                      | W2 B        |                 |             |                 |
| B WEST   | EAST   | T                    |             |                 |             |                 |
| SOUTH  |  |                      |             |                 |             |                 |
| S  |  |                      |             |                 |             |                 |
| Enter an identity for each arm to be defined   |  |                      |             |                 |             |                 |

|                            |  |                                  |   |                      |                      |                      |
|----------------------------|--|----------------------------------|---|----------------------|----------------------|----------------------|
| GEOMETRY, SITE CONDITIONS  | Examples: Definitions of approach, entry and exit width            |                                  |   |                      |                      |                      |
|                            | Wx = W,exit<br>W1 = W,LTOR-lane<br>We = W,entry<br>Wa = W,approach | Wx<br>W1 We<br>We<br>Wa          | Wx<br>W1<br>Wx<br>Wa                            | Wx<br>W1<br>Wx<br>Wa | Wx<br>W1<br>Wx<br>Wa | Wx<br>W1<br>Wx<br>Wa |
| LTOR = Left Turn<br>On Red | LTOR allowed<br>and lane for LTOR                                  | LTOR allowed<br>and traffic isle | LT only on green<br>(or LTOR without LTOR-lane) |                      |                      |                      |
|                            |  |                                  |   |                      |                      |                      |

| Approach  | Road environment | Side | Median friction | Gradient | Left-turn on red | Distance to parked | Approach | Entry | LTOR-lane | Exit | rate | One-way street |       |       |
|---|------------------|------|-----------------|----------|------------------|--------------------|----------|-------|-----------|------|------|----------------|-------|-------|
| code  | Hi/Med/Low       | (1)  | (2)             | (3)      | (4)              | (5)                | (6)      | (7)   | (8)       | (9)  | (10) | (11)           | (Y/N) | (Y/N) |
| N2  | U                | COM  | Medium          | No       | 0.00             | No                 | NA       | 6.50  | 6.50      |      | 7.10 | No             | No    |       |
| S2  | S                | COM  | Low             | No       | 0.00             | No                 | NA       | 7.00  | 7.00      |      | 6.90 | No             | No    |       |
| E2  | T                | COM  | Medium          | Yes      | 0.00             | No                 | NA       | 8.20  | 8.20      |      | 6.20 | No             |       |       |
| W2  | B                | COM  | Low             | Yes      | 0.00             | No                 | NA       | 8.20  | 8.20      |      | 8.20 | No             |       |       |
| Program version 1.10   Date of run: 031229/5:58 |                  |      |                 |          |                  |                    |          |       |           |      |      |                |       |       |



|   |              |                      |             |                 |
|---|--------------|----------------------|-------------|-----------------|
| KAJI- SIGNALISED INTERSECTIONS  | City :       | YOGYAKARTA           | Date :      | 19 OKTOBER 2003 |
| Form SIG-3: CLEARANCE TIME,   | LOST TIME    | Intersection:        | Handled by: | RAFLES & AHMAD  |
| Purpose : Operation   |              | SIMPANG EMPAT MM UGM | Case :      | JAM PUNCAK PAGI |
|   |              |                      | Period :    | 06.45-07.45     |
| <b>EVAC. TRAFFIC   ADVANCING TRAFFIC</b>  |              |                      |             |                 |
| Approach   Speed  | Approach   U | S   T                | B           | Allred          |
| Ve  |              |                      |             |                 |
| m/sec   Speed Va m/sec  | 10.0         | 10.0   10.0   10.0   | (sec)       |                 |
| W2   U   10.00   Dist Evac+Vehlen-Adv(m)   0+ 0- 0   0+ 0- 0   0 40+ 5-16   0+ 0- 0   + -   + -   + -   + - |              |                      |             |                 |
| Time evac-adv (sec)   0.0-0.0   0.0-0.0   4.5-1.6   0.0-0.0   -   -   -   -   -   2.70                      |              |                      |             |                 |
| S2   S   10.00   Dist Evac+Vehlen-Adv(m)   0+ 0- 0   0+ 0- 0   0+ 0- 0   23+ 5-20   + -   + -   + -   + -   |              |                      |             |                 |
| Time evac-adv (sec)   0.0-0.0   0.0-0.0   0.0-0.0   2.8-2.0   -   -   -   -   -   0.60                      |              |                      |             |                 |
| E2   T   10.00   Dist Evac+Vehlen-Adv(m)   0+ 0- 0   23+ 5-20   0+ 0- 0   0+ 0- 0   + -   + -   + -   + -   |              |                      |             |                 |
| Time evac-adv (sec)   0.0-0.0   2.8-2.0   0.0-0.0   0.0-0.0   -   -   -   -   -   0.60                      |              |                      |             |                 |
| W2   B   10.00   Dist Evac+Vehlen-Adv(m)   23+ 5-32   0+ 0- 0   0+ 0- 0   0+ 0- 0   + -   + -   + -   + -   |              |                      |             |                 |
| Time evac-adv (sec)   2.8-3.2   0.0-0.0   0.0-0.0   0.0-0.0   -   -   -   -   -   0.00                      |              |                      |             |                 |
| Dimensioning times between phases (sec)   Amber Allred  |              |                      |             |                 |
| Phase 1 ---> Phase 2  |              | 3.0                  | 3.0         |                 |
| Phase 2 ---> Phase 3  |              | 3.0                  | 2.0         |                 |
| Phase 3 ---> Phase 4  |              | 3.0                  | 2.0         |                 |
| Phase 4 ---> Phase 1  |              | 3.0                  | 2.0         |                 |
| Phase 0 ---> Phase 0  |              | 0.0                  | 0.0         |                 |
| Phase 0 ---> Phase 0  |              | 0.0                  | 0.0         |                 |
| Lost time (LTI) = Total allred + amber time (sec/cycle)   21.00   |              |                      |             |                 |
| Program version 1.10   Date of run: 031229/5:58   |              |                      |             |                 |

| KAJI - SIGNALISED INTERSECTIONS               |  |              |              | City :                 | YOGYAKARTA  |              |       |       | Date :                      | 19 OKTOBER 2003 |                 |              |             |             |         |           |           |
|---|--|--------------|--------------|------------------------|-------------|--------------|-------|-------|-----------------------------|-----------------|-----------------|--------------|-------------|-------------|---------|-----------|-----------|
|   |  |              |              | Intersection:          |             |              |       |       | SIMPANG EMPAT MM UGM        | Handled by:     | RAFLES & AHMAD  |              |             |             |         |           |           |
| Form SIG-5: QUEUE LENGTH,<br>STOP RATE, DELAY |  |              |              | Cycle time             | : 162.0 sec |              |       |       |                             | Case :          | JAM PUNCAK PAGI |              |             |             |         |           |           |
| Purpose : Operation                           |  |              |              | Prob. for overloading: | 5.00 %      |              |       |       |                             | Period :        | 06.45-07.45     |              |             |             |         |           |           |
| Approach                                      | Qentry                                       | Used         | city         | Degree of satu-        | ratio       | Flow (pcu/h) | Capa- | Green | No of queuing vehicles(pcu) | queue           | Stop            | No. of stops | Delay       |             |         |           |           |
|   |  |              |              |                        |             |              |       |       |                             |                 |                 |              | Total       | NQ          | NS      | Avg.Delay | Avg.Delay |
|   |  |              |              |                        |             |              |       |       | NQ = NQmax                  | Q1(m)           | stops           | NSV          | Traffic     | Geometric   | D=DT+DG | D * Q     |           |
|   |  |              |              |                        |             |              |       |       | NQ1+NQ2                     |                 | /pcu            | pcu/h        | DT(sec/pcu) | DG(sec/pcu) | sec/pcu | sec       |           |
| (1)   | (2)  | (3)          | (4)          | (5)                    | (6)         | (7)          | (8)   | (9)   | (10)                        | (11)            | (12)            | (13)         | (14)        | (15)        | (16)    |           |           |
| IN2   | U  | 708          | 708          | 1092                   | 0.648       | 10.321       | 0.42  | 27.32 | 27.74                       | 39              | 120             | 0.784        | 555         | 48.55       | 3.75    | 52.30     | 37029     |
| IS2   | S  | 367          | 367          | 741                    | 0.495       | 0.198        | 0.00  | 14.69 | 14.69                       | 20              | 57              | 0.801        | 294         | 57.82       | 3.43    | 61.24     | 22477     |
| IE2   | T  | 430          | 430          | 666                    | 0.646       | 0.160        | 0.41  | 18.12 | 18.53                       | 26              | 63              | 0.862        | 371         | 65.90       | 3.96    | 69.86     | 30041     |
| IW2   | B  | 131          | 131          | 627                    | 0.209       | 0.160        | 0.00  | 5.12  | 5.12                        | 7               | 17              | 0.782        | 102         | 59.07       | 4.05    | 63.11     | 8268      |
| LTOR,all                                      | 0  | 0            |              |                        |             |              |       |       |                             |                 |                 |              |             |             |         |           |           |
| Flow adj(Qadj):                               | 0  |              |              |                        |             |              |       |       |                             |                 |                 |              |             |             |         |           |           |
| Tot flow :                                    | 1636   | (Qtot)       |              |                        |             |              |       |       |                             |                 |                 |              |             |             |         |           |           |
| Comments                                      | Results indicate US-HCM85 level-of-service E |              |              |                        |             |              |       |       |                             |                 |                 |              |             |             |         |           |           |
| Program version                               | 1.10   | Date of run: | 031228/20:23 |                        |             |              |       |       |                             |                 |                 |              |             |             |         |           |           |

Total: 1322 | Total delay(sec): 97815 |

Mean number of stops/pcu: 0.81 | Mean intersection delay(sec/pcu): 59.79 |

|  |          |   |                        |  |         |   |                    |   |      |       |       |      |      |    |  |
|--|----------|---|------------------------|--|---------|---|--------------------|---|------|-------|-------|------|------|----|--|
| K A J I - SIGNALISED INTERSECTIONS   |          | City : YOGYAKARTA   | Date : 19 OKTOBER 2003 |  |         |   |                    |   |      |       |       |      |      |    |  |
| Form SIG-4 : SIGNAL TIMING,  |          | Handled by: RAFLES & AHMAD  |                        |  |         |   |                    |   |      |       |       |      |      |    |  |
| CAPACITY   |          | Intersection : SIMPANG EMPAT MM UGM   |                        |  |         |   |                    |   |      |       |       |      |      |    |  |
| Purpose : Operation  |          | Case : JAM PUNCAK SIANG   |                        |  |         |   |                    |   |      |       |       |      |      |    |  |
| Period : 12.30-13.30   |          |   |                        |  |         |   |                    |   |      |       |       |      |      |    |  |
| Traffic flows, pcu/h (Protected + Opposec)   EXISTING SIGNAL SETTINGS DISPLAY (no arrows for zero flows)   |          |   |                        |  |         |   |                    |   |      |       |       |      |      |    |  |
|  |          | Phase 1   | Phase 2                | Phase 3  | Phase 4 | Phase 5   | Phase 6            |   |      |       |       |      |      |    |  |
|  |          | U   | U                      | U  | U       | U   |                    |   |      |       |       |      |      |    |  |
| P:86   P:247   |          | <-+>  |                        |  |         |   |                    |   |      |       |       |      |      |    |  |
| O:106 +- O:327   |          | v   |                        |  |         |   |                    |   |      |       |       |      |      |    |  |
| P:486  |          |   |                        |  |         |   |                    |   |      |       |       |      |      |    |  |
| O:659  |          |   |                        |  |         |   |                    |   |      |       |       |      |      |    |  |
|  |          |   |                        |  |         |   |                    |   |      |       |       |      |      |    |  |
| P:61   |          | P:191   |                        |  |         |   |                    |   |      |       |       |      |      |    |  |
| O:84   |          | O:219   |                        |  |         |   |                    |   |      |       |       |      |      |    |  |
| B --+- P:41  | P:126    | --+- T  | B                      | T  | B       | T   |                    |   |      |       |       |      |      |    |  |
| P:22 O:67  | O:153    | P:93  |                        |  |         |   |                    |   |      |       |       |      |      |    |  |
| O:34   | O:139    |   |                        |  |         |   |                    |   |      |       |       |      |      |    |  |
|  |          |   |                        |  |         |   |                    |   |      |       |       |      |      |    |  |
| P:620  |          |   |                        |  |         |   |                    |   |      |       |       |      |      |    |  |
| O:789  |          |   |                        |  |         |   |                    |   |      |       |       |      |      |    |  |
| P:17   | --+ P:59 |   |                        |  |         |   |                    |   |      |       |       |      |      |    |  |
| O:27   | O:77     |   |                        |  |         |   |                    |   |      |       |       |      |      |    |  |
| S  |          |   |                        |  |         |   |                    |   |      |       |       |      |      |    |  |
|  |          |   |                        |  |         |   |                    |   |      |       |       |      |      |    |  |
|  |          | S   | S                      | S  | S       | S   |                    |   |      |       |       |      |      |    |  |
|  |          |   |                        |  |         |   |                    |   |      |       |       |      |      |    |  |
| Approach Green in  Appr  Ratio of turn-   RT-flow  Effect.  Base   Saturation flow correction factors Adjust.  Traffic  Flow  Phase Green Capa- Degree |          |   |                        |  |         |   |                    |   |      |       |       |      |      |    |  |
| code   | phase    | type  | ing vehicles           | pcu/h  | width   | satu-   | All approach types | Only type P1 sat.   | flow | ratio | ratio | time | city | of |  |
| no. Split  | +-----+  | +-----+   | +-----+                | +-----+  | +-----+ | +-----+   | (m)                | ration city  Side  Grad- Park- Right Left   flow    LT , FR   PR=  (sec) pcu/h  satu- |      |       |       |      |      |    |  |
| if 2-  | p        | p   | p                      | Cwm Opp.  '*' if   | flow    | size frict. ient   ing   turns turns pcu/hg pcu/h ST, | FRcr               | S*g  ration   |      |       |       |      |      |    |  |
| (1)  (2) green  (3)  (4)  (5)  (6)  (7) (8)  (9)  (10)  (11)  (12)  (13)  (14)  (15)  (16)  (17)  (18)  (19)  (20)  (21)  (22)  (23)                   | LTOR     | LT  | RT                     | dir dir   W,exit   So  Fcs   Fsf   Fg   Fp   Frt   Flt   S   Q   or   Q/S   /IFR  g   =C   Q/C |         |   |                    |   |      |       |       |      |      |    |  |
| N2   | U  1     | P   0.00  0.30  0.11  86  0  6.5C   3900 0.94  0.937  1.00  1.00  1.03 0.95   3357   819 LSR 0.244    50.0  1069  0.766 |                        |  |         |   |                    |   |      |       |       |      |      |    |  |
| S2   | S  3     | P   0.00  0.02  0.08  59  0  7.0C   4200 0.94  0.941  1.00  1.00  1.02 1.00   3782   696 LSR 0.184    31.0  747  0.932  |                        |  |         |   |                    |   |      |       |       |      |      |    |  |
| E2   | T  2     | P   0.00  0.23  0.47  191  0  8.20   4920 0.94  0.932  1.00  1.00  1.00 0.96   4152   410 LSR 0.099    25.0  661  0.620 |                        |  |         |   |                    |   |      |       |       |      |      |    |  |
| W2   | B  4     | P   0.00  0.49  0.18  22  0  3.20   4920 0.94  0.929  1.00  1.00  1.00 0.92   3960   124 LSR 0.031    25.0  631  0.197  |                        |  |         |   |                    |   |      |       |       |      |      |    |  |
| Total lost time, LTI : 26.0 sec   Unadj. cycle time Cua : 157.0 sec   Correction factors are NOT shown if   IFR : 0.558 (= sum of FRcrit)              |          |   |                        |  |         |   |                    |   |      |       |       |      |      |    |  |
| Adjusted cycle time, c: sec   adj. saturation flow is user input.   Efficiency: 0.724 (= IFR + LTI/c)  |          |   |                        |  |         |   |                    |   |      |       |       |      |      |    |  |
| Comments:  |          |   |                        | Form SIG-1 settings used for calculations!   |         |   |                    |   |      |       |       |      |      |    |  |
| Comments:  |          |   |                        |  |         |   |                    |   |      |       |       |      |      |    |  |
| Program version 1.10   Date of run: 040103/10:42   |          |   |                        |  |         |   |                    |   |      |       |       |      |      |    |  |



| K A J I - SIGNALISED INTERSECTIONS | City : YOGYAKARTA | Date : 20 OKTOBER 2003 |  
 | Form SIG-4 : SIGNAL TIMING, +-----+ Handled by: RAFLES & AHMAD |  
 | CAPACITY | Intersection : SIMPANG EMPAT MM UGM | Case : JAM PUNCAK PAGI |  
 | Purpose : Operation | | Period : 06.45-07.45 |  
 +-----+

| Traffic flows, pcu/h (Protected + Opposed) | EXISTING SIGNAL SETTINGS DISPLAY (no arrows for zero flows) |  
 +-----+

|                                      | Phase 1 | Phase 2 | Phase 3 | Phase 4 | Phase 5 | Phase 6 |
|--------------------------------------|---------|---------|---------|---------|---------|---------|
|                                      | U       | U       | U       | U       | U       |         |
| P:406   P:431                        | <-+>    |         |         |         |         |         |
| O:514 +- O:667                       |         | V       |         |         |         |         |
| P:679                                |         |         |         |         |         |         |
| O1010                                |         |         |         |         |         |         |
| <br>P:117                    P:216   |         |         |         |         |         |         |
| O:134                    O:271       |         |         |         |         |         |         |
| B --+-- P:87            P:267 -+-- T | B       | T       | B       | T       | B       | T       |
| P:51 O:153            O:304 P:65     |         |         | ^       |         | ^       |         |
| O:92                    O:105        |         |         | <-+>    |         | -+>     |         |
| <br>P:485                            |         |         |         |         |         |         |
| O:679                                |         |         |         |         |         |         |
| P:50 --+ P:52                        |         |         |         |         |         |         |
| O:68   O:73                          |         |         |         |         |         |         |
| S                                    |         |         |         |         |         |         |
| <br>S                                | S       | S       | S       | S       | S       |         |

+-----+-----+-----+-----+-----+-----+-----+-----+-----+-----+-----+-----+  
 | Approach|Green in |Appr| Ratio of turn- | RT-flow |Effect.| Base | Saturation flow correction factors|Adjust.| Traffic |Flow |Phase|Green|Capa-|Degreee  
 | code |phase |type| ing vehicles | pcu/h | width | satu-| All approach types |Only type P| sat. | flow |ratio|ratio|time |city | of |  
 | |no.|Split| +---+---+---+---+---+---+---+ (m) |ration|City| Side |Grad-|Park-|Right|Left | flow | |LT,| FR | PR= |(sec)|pcu/h| satu-|  
 | |if 2-| |p | p | p | Own|Opp.| '\*' if| flow |size|frict.|ient | ing |turns|turns|pcu/hg |pcu/h|ST,| |FRcr | | S\*g |ration|  
 | |phase| | LTOR| LT | RT | dir|dir | w,exit| So |Fcs | Fsf | Fg | Fp | Frt | Flt | S | Q | or | Q/S | /IFR| g | =C | Q/C |  
 | (1) |(2)|green| (3) | (4) | (5) | (6) | (7)|(8) | (9) | (10) |(11)| (12) | (13)| (14)| (15)|(16) | (17) |(18) |RT |(19) |(20) |(21) |(22) |(23) |  
 +-----+-----+-----+-----+-----+-----+-----+-----+-----+-----+-----+-----+  
 IN2    U | 1 |    | P | 0.00 | 0.28 | 0.27 | 406 | 0 | 6.50 | 3900 | 0.94 | 0.929 | 1.00 | 1.00 | 1.07 | 0.95 | 3475 | 1516 | LSR | 0.436 | 52.0 | 1115 | 1.360 |  
 IS2    S | 3 |    | P | 0.00 | 0.09 | 0.09 | 52 | 0 | 7.00 | 4200 | 0.94 | 0.926 | 1.00 | 1.00 | 1.02 | 0.99 | 3687 | 587 | LSR | 0.159 | 32.0 | 728 | 0.806 |  
 IE2    T | 2 |    | P | 0.00 | 0.12 | 0.39 | 216 | 0 | 8.20 | 4920 | 0.94 | 0.925 | 1.00 | 1.00 | 1.00 | 0.98 | 4198 | 548 | LSR | 0.131 | 26.0 | 674 | 0.813 |  
 IW2    B | 4 |    | P | 0.00 | 0.46 | 0.20 | 51 | 0 | 8.20 | 4920 | 0.94 | 0.911 | 1.00 | 1.00 | 1.00 | 0.93 | 3906 | 255 | LSR | 0.065 | 26.0 | 627 | 0.407 |  
 +-----+-----+-----+-----+-----+-----+-----+-----+-----+-----+-----+-----+  
 | Total lost time, LTI : 26.0 sec | Unadj. cycle time Cua : 162.0 sec | Correction factors are NOT shown if | IFR : 0.791 (= sum of FRcrit)  
 | Adjusted cycle time, c: sec | adj. saturation flow is user input. | Efficiency: 0.952 (= IFR + LTI/c) |  
 +-----+-----+-----+-----+-----+-----+-----+-----+-----+-----+-----+  
 | Comments:  
 | Form SIG-1 settings used for calculations!  
 | Comments:  
 +-----+-----+-----+-----+-----+-----+-----+-----+-----+-----+-----+  
 | Program version 1.10 | Date of run: 031224/22:59 |  
 +-----+-----+-----+-----+-----+-----+-----+-----+-----+-----+-----+





